

*Analisis Vector Auto Regresion (VAR) untuk Melihat Hubungan
Kausalitas Antara Variabel - Variabel Ekonomi di Sulawesi Selatan*



Skripsi

Diajukan untuk Memenuhi salah Satu Syarat dalam Meraih Gelar Sarjana Sains
Jurusan Matematika pada Fakultas Sains dan Teknologi
Universitas Islam Negeri Alauddin Makassar

Oleh

IMAM IKHSAN

UNIVERSITAS ISLAM NEGERI
NIM. 60600108046

ALAUDDIN
M A K A S S A R

JURUSAN MATEMATIKA

FAKULTAS SAINS DAN TEKNOLOGI

UNIVERSITAS ISLAM NEGERI ALAUDDIN MAKASSAR

2014

Mutiara Hikmah

*Saya meminta kekuatan...
dan Allah memberikan saya kesulitan untuk membuat saya kuat.*

*Saya meminta kebijaksanaan...
dan Allah memberikan saya masalah untuk dipecahkan.*

*Saya meminta keberanian...
dan Allah memberikan saya hambatan untuk diatasi.*

*Saya meminta kasih sayang...
dan Allah memberikan saya orang-orang bermasalah untuk ditolong.*

***"Mungkin saya tidak mendapatkan apa yang saya inginkan
Tapi saya menerima semua yang saya butuhkan"***

***"Saya tidak akan mengatakan gagal 1000 kali, tapi saya akan mengatakan
bahwa saya telah menemukan 1000 cara yang dapat menyebabkan kegagalan"***
(Thomas A Edison)

**PEMENANG TIDAK MELAKUKAN HAL YANG BERBEDA TETAPI MEREKA
MELAKUKANNYA DENGAN CARA YANG BERBEDA**

"Victoria Concordia Crescit"
(kemenangan diraih dengan keharmonisan)

Rupersembahkan karya sederhana ini untuk:

Agahanda Muhammad Djafar dan Almarhumah Ibundaku Tahari yang
kucintai dan kusayangi sepanjang masa sebagai perwujudan baktiku

Bingkisan manis dan sayang buat adik-adikku
Dwi Rezeki Amaliah dan Sri Nurul Utami.

ABSTRAK

Nama : Iman Iksan
Nim : 60600108046
Judul : Analisis Vector Auto Regression (VAR) Untuk Melihat Hubungan Kausalitas Antara Variabel – Variabel Ekonomi di Sulawesi Selatan.

Penelitian ini merupakan penelitian terapan yang menekankan pada analisis hubungan kausalitas antara beberapa faktor-faktor ekonomi (tingkat suku bunga BI rate, nilai tukar kurs rupiah terhadap kurs dollar Amerika Serikat, jumlah uang beredar dan laju inflasi). Secara umum tujuan penelitian ini adalah untuk mengetahui dan menganalisis penggunaan analisis *Vector Autoregressive* (VAR) dalam menganalisis hubungan diantara tingkat suku bunga BI rate, nilai tukar kurs rupiah terhadap kurs dollar Amerika Serikat, jumlah uang beredar dan laju inflasi. Data yang digunakan dalam penelitian ini dari data runtun waktu (*time series*), yang diperoleh Badan Pusat Statistik (BPS) Provinsi Sulawesi Selatan dan data sekunder dari situs resmi Bank Indonesia (BI) di kota Makassar dari Juli 2005 – Juni 2009. Data dianalisis dengan menggunakan analisis *Vector Autoregressive* (VAR) dikombinasikan dengan model *Vector Error Correction* (VEC) karena adanya hubungan kointegrasi pada *series* yang tidak stasioner pada tingkat awal. Dari hasil analisis VECM diperoleh empat model (tiap variabel menjadi fungsi dari variabel lainnya) dan dua persamaan kointegrasi. Dari hasil analisis kausalitas *Granger* diperoleh satu hubungan *two-ways causality* antara tingkat suku bunga BI rate dan M1 (jumlah uang beredar), dan satu hubungan *one-way causality* BI rate terhadap laju inflasi. Analisis IRF menunjukkan respon yang beragam dari tiap variabel terhadap *shock* pada variabel lainnya dalam jangka pendek maupun jangka panjang. Analisis DFEV menunjukkan bahwa nilai tiap variabel lebih didominasi oleh kontribusi *shock* variabel tersebut diawal periode daripada *shock* pada variabel lainnya, namun dalam jangka panjang menunjukkan kontribusi yang beragam dari *shock* pada variabel lainnya.

Kata kunci: *Vector Autoregressive (VAR), Vector Error Correction Model (VECM), Granger Causality Test, Impulse Response Function (IRF), Decomposition of Forecasting Error Variance (DFEV).*

PERNYATAAN KEASLIAN

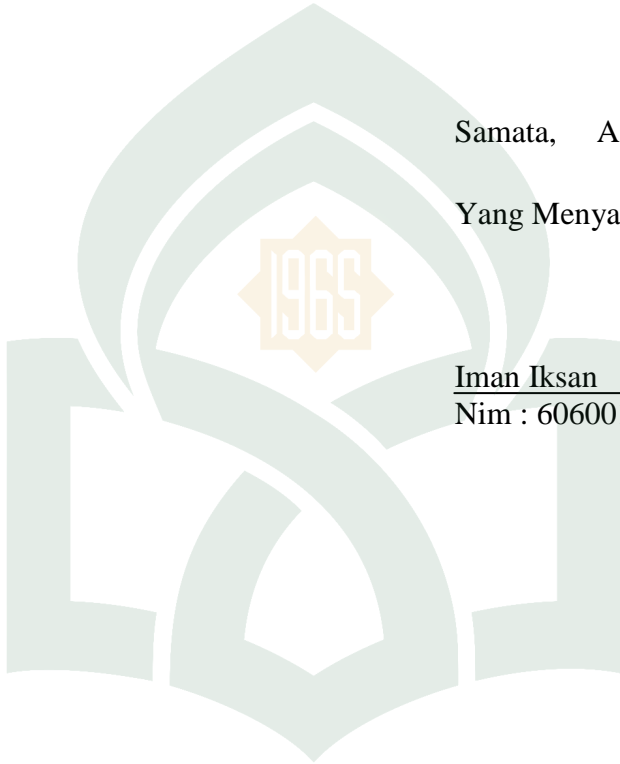
Dengan ini saya menyatakan bahwa skripsi ini benar-benar karya saya sendiri. Sepanjang pengetahuan saya tidak terdapat karya atau pendapat yang ditulis atau diterbitkan orang lain kecuali sebagai acuan atau kutipan dengan mengikuti tata penulisan karya ilmiah yang telah lazim.

Samata, Agustus 2014

Yang Menyatakan

Iman Iksan

Nim : 60600108046



UNIVERSITAS ISLAM NEGERI
ALAUDDIN
M A K A S S A R

KATA PENGANTAR



Alhamdulillah rabbil'alam, segala puji syukur ke hadirat Allah Swt atas limpahan rahmat, taufiq dan hidayah-Nya, hingga penulis mampu menyelesaikan penulisan skripsi yang berjudul **“ANALISIS VECTOR AUTO REGRESSION (VAR) UNTUK MELIHAT HUBUNGAN KAUSALITAS ANTAR VARIABEL EKONOMI DI SULAWESI SELATAN”** ini. Shalawat serta salam semoga senantiasa tercurahkan kepada junjungan Nabi besar Muhammad SAW sebagai *uswatun hasanah* dalam meraih kesuksesan di dunia dan akhirat.

Melalui tulisan ini pula, penulis menyampaikan ucapan terima kasih yang tulus, istimewa kepada kedua orang tua tercinta Ayahanda Muhammad Djafar dan Almarhumah Ibunda Tahari atas segala doa, kasih sayang, pengorbanan dan perjuangan yang telah diberikan selama ini. Kepada beliau penulis senantiasa memanjatkan doa semoga Allah SWT, mengasihi dan mengampuni dosanya. Amin.

Penulis menyadari bahwa banyak pihak yang telah berpartisipasi dan membantu dalam menyelesaikan penulisan skripsi ini. Oleh karena itu, iringan doa dan ucapan terima kasih yang sebesar-besarnya penulis sampaikan kepada:

1. Bapak Prof. Dr. H. Abdul Qadir Gassing, HT, M.S., selaku Rektor UIN Alauddin Makassar beserta seluruh jajarannya.
2. Bapak Dr. Muhammad Halifah Mustami, M.Pd., selaku Dekan Fakultas Sains dan Teknologi UIN Alauddin Makassar.

3. Ermawati, S.Si.,M.Si. dan Wahyuni Abidin, S.Pd., M.Pd selaku ketua dan sekretaris Jurusan Matematika.
4. Nursalam, S.Pd., M.Si. dan Ridzan Djafri, M.Si, selaku pembimbing I dan II yang telah memberi arahan dan koreksi dalam penyusunan skripsi dan membimbing penulis sampai taraf penyelesaian.
5. Seluruh dosen jurusan Matematika Fakultas Sains dan Teknologi Universitas Islam Negeri (UIN) Alauddin Makassar yang telah menyalurkan ilmunya kepada penulis selama berada di bangku kuliah.
6. Segenap karyawan dan karyawan Fakultas Sains dan Teknologi yang telah bersedia melayani penulis dari segi administrasi dengan baik selama penulis terdaftar sebagai mahasiswa Fakultas Sains dan Teknologi Universitas Islam Negeri (UIN) Alauddin Makassar.
7. Kedua orang tuaku ayahanda Muhammad Djafar dan almarhumah ibunda Tahari tercinta, yang teristimewa dan amat tulus kupersembahkan kepada keduanya atas pengorbanan mulia nan suci yang telah diberikan serta doa yang tiada putusnya beliau panjatkan kehadirat Allah SWT memohon keselamatan dan kesuksesan purta-putrinya. Semoga Allah berkenan memberinya taufik, merahmatinya, mengampuni dosa-dosanya dan membalas semua jasanya dengan balasan yang terbaik disisiNya.
8. Adik-adikku Dwi Rezky Amaliah dan Sri Nurul Utami yang selalu memberikan motivasi dan dukungan kepada penulis.

9. Saudara-saudara seperjuanganku di Matematika angkatan 2008 yang tidak bisa saya sebutkan satu persatu. Kebersamaan kita selama kurang lebih 4 tahun adalah kenangan indah yang tak terlupakan.
10. Saudara-saudaraku selama menjalani masa perkuliahan di UIN Alauddin Makassar dan Fakultas Sains dan teknologi pada khususnya yang telah menjadi sahabat terbaik selama ini dan telah banyak memberikan dukungan, motivasi dan doa bagi penulis.
11. Tanpa terkecuali yang telah memberikan bantuannya kepada penulis mulai dari penelitian sampai penyusunan skripsi.

Semoga Allah '*Azza wa jalla*' membalas semuanya dengan pahala yang berlipat ganda, Amin.

Akhirnya semoga skripsi ini dapat memberi manfaat bagi para pembaca dan menambah khasanah ilmu pengetahuan bagi civitas akademika Universitas Negeri Makassar. Semoga bantuan yang telah diberikan oleh semua pihak mendapat imbalan yang setimpal dari ALLAH SWT.

Makassar, Maret 2014

Penulis

Imam Ikhsan

DAFTAR ISI

HALAMAN JUDUL	i
PENGESAHAN SKRIPSI	ii
MUTIARA HIKMAH	iii
ABSTRAK	iv
PERNYATAAN KEASLIAN	v
KATA PENGANTAR	vi
DAFTAR ISI	vii
DAFTAR TABEL	x
DAFTAR GAMBAR	xi
DAFTAR LAMPIRAN	xii
DAFTAR SIMBOL	xiii
BAB I PENDAHULUAN	
A. Latar Belakang	1
B. Rumusan Masalah.....	8
C. Tujuan Penelitian.....	9
D. Manfaat Penelitian.....	9
E. Garis-garis Besar Isi Skripsi	10
BAB II TINJAUAN PUSTAKA	
A. Analisis VAR	11
B. Vector Error Correction Model	37

C. Inflasi	46
D. Produk Domestik Regional Bruto	54
E. Kurs Rupiah	54
F. BI rate.....	55
G. Jumlah Uang Yang Beredar (M1)	55
H. Kerangka Berpikir	56
I. Hipotesis Penelitian	59
BAB III METODE PENELITIAN	
A. Jenis Penelitian	60
B. Lokasi dan Waktu Penelitian.....	60
C. Objek Penelitian	60
D. Instrumen Penelitian.....	60
E. Teknik Pengumpulan Data.....	61
F. Defiinisi Operasional Variabel.....	62
G. Prosedur Penelitian.....	62
BAB IV HASIL DAN PEMBAHASAN	
A. Uji Akar Unit (<i>Unit Root Test</i>).....	67
1. Uji Akar Unit untuk Variabel BI rate	67
2. Uji Akar Unit untuk Variabel KURS	68
3. Uji Akar Unit untuk Variabel M1	68
4. Uji Akar Unit untuk Variabel INFLASI.....	69
B. Penentuan Ordo Model.....	70

C. Pengujian Kointegrasi.....	71
D. Estimasi VEC	73
E. Pengujian Kausalitas <i>Granger</i>	77
F. Pengujian Stabilitas VEC.....	78
G. Analisis <i>Impulse Response Function</i>	80
H. Analisis <i>Variance Decomposition</i>	87
BAB V KESIMPULAN DAN SARAN	
A. Kesimpulan.....	93
B. Saran	95
DAFTAR PUSTAKA	96
RIWAYAT HIDUP	99
LAMPIRAN	

DAFTAR TABEL

Tabel	Judul	Halaman
4.1	<i>Augmented Dickey-Fuller Unit Root Test</i> pada BIRATE.....	67
4.2	<i>Augmented Dickey-Fuller Unit Root Test</i> pada KURS.....	68
4.3	<i>Augmented Dickey-Fuller Unit Root Test</i> pada M1.....	68
4.4	<i>Augmented Dickey-Fuller Unit Root Test</i> pada INFLASI.....	69
4.5	<i>VEC Lag Order Selection Criteria</i>	70
4.6	<i>Johansen's Cointegration Test</i>	71
4.7	<i>Vector Error Correction Estimates</i>	73
4.8	<i>Granger Causality Test</i>	77
4.9	<i>VEC Stability Condition Check</i>	79
4.10	<i>Variance Decomposition of BIRATE</i>	88
4.11	<i>Variance Decomposition of KURS</i>	89
4.12	<i>Variance Decomposition of M1</i>	90
4.13	<i>Variance Decomposition of INFLASI</i>	91

ALAUDDIN
M A K A S S A R

DAFTAR GAMBAR

Gambar	Judul	Halaman
4.1	<i>AR Roots Graph</i>	80
4.2	<i>Impulse Respons Function of BIRATE</i>	81
4.3	<i>Impulse Respons Function of KURS</i>	83
4.4	<i>Impulse Respons Function of M1</i>	84
4.5	<i>Impulse Respons Function of INFLASI</i>	86



DAFTAR LAMPIRAN

Lampiran	Judul
1	Data
2	<i>Output</i> Hasil Analisis VEC dengan EViews 5.0



UNIVERSITAS ISLAM NEGERI
ALAUDDIN
M A K A S S A R

DAFTAR SIMBOL DAN SINGKATAN

Simbol	Arti
y_t	Vektor <i>series</i> y
x_t	Vektor <i>series</i> x
ε_{y_t}	<i>Shock</i> pada y_t
ε_{z_t}	<i>Shock</i> pada z_t
b_{10}	Koefisien intersep pada y_t
b_{20}	Koefisien intersep pada z_t
$-b_{12}$	Pengaruh serentak dari perubahan z_t pada y_t
$-b_{21}$	Pengaruh serentak dari perubahan y_t pada z_t
γ_{11}	Pengaruh dari sebuah perubahan pada y_{t-1} pada y_t
γ_{12}	Pengaruh dari sebuah perubahan pada z_{t-1} pada y_t
γ_{21}	Pengaruh dari sebuah perubahan pada y_{t-1} pada z_t
γ_{22}	Pengaruh dari sebuah perubahan pada z_{t-1} pada z_t
A_0	Vektor intersep
A_i	Matriks koefisien
a_{i0}	Elemen i dari vektor A_0
a_{ij}	Elemen pada baris ke- i dan kolom ke- j dari matriks A_i
e_{it}	Elemen ke- i dari vektor e_t
Σ	Matrik varians/ kovariansi dari <i>shock</i> e_{1t} dan e_{2t}

I	Matriks identitas
μ	Rataan x_t
\bar{y}	Rataan y_t
\bar{z}	Rataan z_t
p	Ordo pada VAR, dimana $p = 0,1,2,\dots$
$\phi_{11}(i)$	Respon i periode perubahan unit secara berturut-turut dalam $\varepsilon_{y,t-1}$
$\phi_{12}(i)$	Respon i periode perubahan unit secara berturut-turut dalam $\varepsilon_{z,t-1}$
r	Rank kointegrasi berukuran $(m \times 1)$, $m = 1,2,\dots$
α	Matriks koefisien berukuran $(m \times r)$, $m = 1,2,\dots$
β	Matriks vektor kointegrasi berukuran $(m \times r)$, $m = 1,2,\dots$
k	Banyaknya elemen integrasi pada <i>series</i>
α_{\perp}	Matriks $k \times (k-r)$ (<i>non-unique</i>)
$\hat{\lambda}_i$	Nilai eigen $\lambda_1 > \lambda_2 > \lambda_3 > \dots > \lambda_k$
$I(d)$	Terintegrasi dalam ordo d

BAB I PENDAHULUAN

A. Latar Belakang

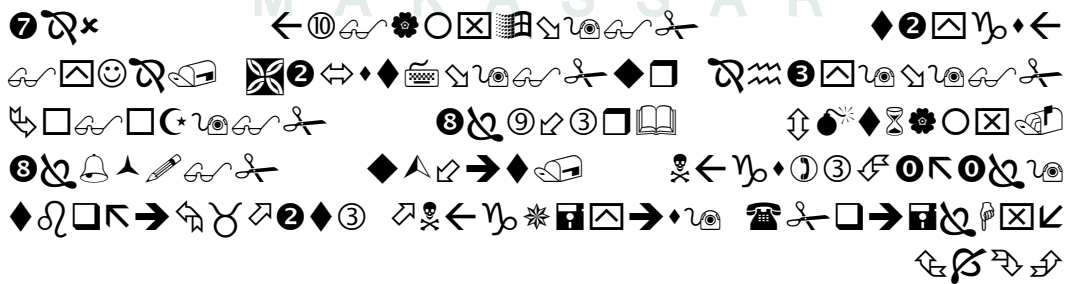
Dua belas tahun sudah Asia Tenggara khususnya Indonesia melewati sebuah peristiwa ekonomi yang telah membuka mata dan pikiran semua pihak betapa rapuhnya bangunan ekonomi yang dibangun. Setelah Asia, tidak lama berselang terjadilah guncangan (*shock*) ekonomi yang berawal dari sisi moneter. Dari sisi nilai tukar (*exchange rate*), pada tanggal 18 Januari 1998 rupiah mencapai puncak kejatuhannya dengan menembus angka Rp. 16.000,00 per 1 dollar AS. Dari sisi inflasi, angka inflasi mencapai 77,60% dan PDB -13,20%.

Inflasi merupakan suatu proses meningkatnya harga-harga secara umum dan terus-menerus berkaitan dengan mekanisme pasar yang dapat disebabkan oleh berbagai faktor, antara lain konsumsi masyarakat yang meningkat, berlebihnya likuiditas di pasar yang memicu konsumsi atau bahkan spekulasi, sampai termasuk juga akibat adanya ketidaklancaran distribusi barang. Dengan kata lain, inflasi juga merupakan proses menurunnya nilai mata uang secara kontinu. Inflasi adalah proses dari suatu peristiwa, bukan tinggi-rendahnya tingkat harga. Artinya, tingkat harga yang dianggap tinggi belum tentu menunjukkan inflasi. Inflasi adalah indikator untuk melihat tingkat perubahan, dan dianggap terjadi jika proses kenaikan harga berlangsung secara terus-menerus dan saling pengaruh-mempengaruhi. Istilah inflasi juga digunakan untuk mengartikan peningkatan persediaan uang yang kadangkala dilihat sebagai penyebab meningkatnya harga¹.

¹ Indonesia, Wikipedia. 2010. *Inflasi*. Indonesia. Wikipedia.

Inflasi memiliki dampak positif dan dampak negatif, tergantung parah atau tidaknya inflasi. Apabila inflasi itu ringan, justru mempunyai pengaruh yang positif dalam arti dapat mendorong perekonomian lebih baik, yaitu meningkatkan pendapatan nasional dan membuat orang bergairah untuk bekerja, menabung dan mengadakan investasi. Sebaliknya, dalam masa inflasi yang parah, yaitu pada saat terjadi inflasi tak terkendali (hiperinflasi), keadaan perekonomian menjadi kacau dan perekonomian dirasakan lesu. Orang menjadi tidak bersemangat kerja, menabung, atau mengadakan investasi dan produksi karena harga meningkat dengan cepat. Para penerima pendapatan tetap seperti pegawai negeri atau karyawan swasta serta kaum buruh juga akan kewalahan menanggung dan mengimbangi harga sehingga hidup mereka menjadi semakin merosot dan terpuruk dari waktu ke waktu.

Setiap orang beragama percaya sepenuhnya bahwa sumber dari segala ilmu adalah Tuhan, yang sering mereka sebutkan sebagai Sang Kebenaran Sejati. Sedangkan tujuan ilmu pengetahuan adalah untuk mengetahui dan kemudian menjelaskan suatu obyek seperti apa adanya, suatu kebenaran teori yang sekaligus juga menjadi kebenaran empirik, dan itu berarti untuk mengetahui kebenaran sejati. Allah berfirman dalam Al Qur'an Surah Ar-Ruum ayat 41 :



Terjemahnya :

“Telah nampak kerusakan di darat dan di laut disebabkan karena perbuatan tangan manusia, supaya Allah merasakan kepada mereka sebahagian dari (akibat) perbuatan mereka, agar mereka kembali (kejalan yang benar).” (Q.S. Ar-Ruum ayat 41)²

Secara umum, inflasi dapat mengakibatkan berkurangnya investasi di suatu negara, mendorong kenaikan suku bunga, mendorong penanaman modal yang bersifat spekulatif, kegagalan pelaksanaan pembangunan, ketidakstabilan ekonomi, defisit neraca pembayaran, dan merosotnya tingkat kehidupan dan kesejahteraan masyarakat.³

Keberadaan permasalahan inflasi dan tidak stabilnya sektor riil selalu menjadi perhatian utama dari pemerintah. Inflasi dianggap sebagai suatu permasalahan yang senantiasa akan terjadi. Hal ini dapat dilihat dari kebijakan moneter yang senantiasa menargetkan untuk menurunkan tingkat inflasi menjadi satu digit atau dikenal sebagai inflasi moderat.

Dengan paradigma berpikir seperti itu, otoritas moneter dalam upayanya menyelesaikan permasalahan inflasi cenderung berfokus pada bagaimana menurunkan tingkat inflasi yang tinggi, bukan berpikir bagaimana agar inflasi tidak terjadi. Bank Indonesia sebagai otoritas moneter memegang kendali yang sangat strategis dalam menciptakan kebijakan moneter yang stabil dalam perekonomian nasional, namun dalam perjalanannya kebijakan Bank Indonesia (BI) yang dibuat atau kebijakan yang diambil Bank Indonesia (BI)

² Departemen Agama Republik Indonesia –*Al-Quran dan terjemahnya* (jakarta : Magfirah Pustaka, 2002), h. 647.

³ Indonesia, Wikipedia. 2010. *Inflasi*. Indonesia. Wikipedia.

menjadi tidak efektif dan bahkan tidak efisien sebagaimana yang diinginkan oleh Bank Indonesia (BI) terhadap kebijakan tersebut untuk perekonomian.

Bank Indonesia harus dapat mengukur peredaran uang, antara lain dengan menentukan tingkat suku bunga SBI, selain itu pemerintah juga memegang peranan penting dalam mengendalikan laju inflasi, untuk itu salah satu kebijakannya adalah mengatur pengeluaran untuk pengeluaran rutinnya (*government expenditure*). Oleh karena itu untuk dapat mencapai dan menjaga tingkat inflasi yang rendah dan stabil diperlukan adanya kerjasama dan kemitraan dari seluruh pelaku ekonomi, mulai dari Bank Indonesia (BI), pemerintah maupun swasta.

Inflasi tidak boleh diabaikan begitu saja, karena dapat menimbulkan dampak yang sangat luas. Inflasi yang sangat tinggi sangat penting diperhatikan mengingat dampaknya bagi perekonomian suatu negara yang bisa menimbulkan ketidakstabilan pertumbuhan ekonomi yang lambat dan pengangguran yang meningkat. Dengan mempertimbangkan hal tersebut, upaya mengendalikan inflasi agar stabil sangat penting untuk dilakukan.

Inflasi sangat erat kaitannya terhadap masalah waktu. Tidak dapat dipungkiri bahwa waktu sangat besar peranannya terhadap meningkat atau menurunnya tingkat inflasi. Setiap tahun menjelang hari raya Idul Fitri dan menjelang hari raya Idul Adha, maka laju inflasi akan mengalami kenaikan, hal ini disebabkan karena meningkatnya kebutuhan masyarakat dalam rangka menyambut hari raya tersebut yang menyebabkan permintaan meningkat di pasar

yang akhirnya mendorong meningkatnya harga barang-barang di pasar, sehingga mengakibatkan meningkatnya inflasi.

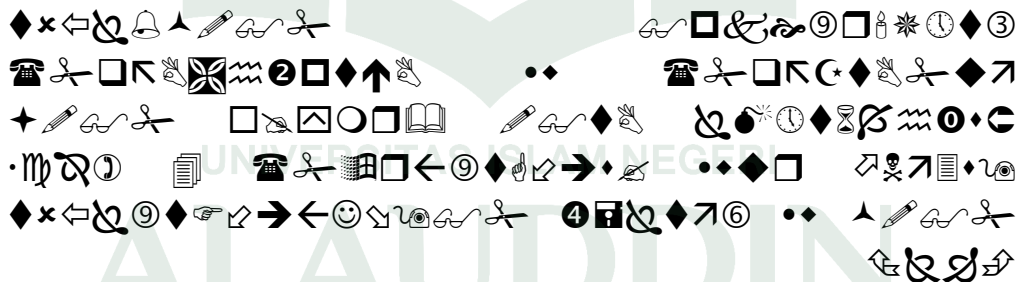
Hal lain yang berpengaruh terhadap inflasi adalah nilai tukar rupiah terhadap mata uang asing dan PDB. Pengaruh paling nyata adalah pada tahun 1998 silam, dimana pada saat itu rupiah anjlok hingga mencapai Rp. 16.000,00 per 1 US dollar, dimana inflasi saat itu mencapai -77,60 %. Masalah yang melatarbelakangi perbedaan besaran inflasi pada saat terjadinya krisis terletak pada masalah kurs. Depresiasi kurs mengakibatkan harga barang-barang impor menjadi meningkat. Peningkatan harga barang impor akan meningkatkan harga bahan baku impor sehingga akan meningkatkan biaya produksi. Efek akhirnya adalah meningkatnya tingkat harga secara umum atau inflasi.

Masih pada tahun yang sama, PDB anjlok hingga mencapai -13,20 %. Perekonomian Indonesia mengalami kemerosotan yang luar biasa, terparah dalam beberapa tahun terakhir. Bank Indonesia (BI) sebagai otoritas terkait tidak mampu berbuat apa-apa, dimana tugas utama Bank Indonesia (BI) adalah menjamin stabilitas harga (inflasi yang terkendali). Untuk mengendalikan harga-harga, Bank Indonesia (BI) dapat melaksanakan kebijakan moneter melalui berbagai instrumen, di antaranya melalui tingkat bunga. BI rates yang ditetapkan oleh Bank Indonesia tetap tidak dapat menghindarkan Indonesia dari tingkat inflasi yang sangat tinggi tersebut pada saat itu.

Dalam ilmu ekonomi ada dua hukum yang terkenal, yaitu hukum permintaan dan hukum penawaran. Hukum permintaan menyatakan bahwa jumlah barang yang diminta dalam suatu periode waktu tertentu berubah berlawanan

dengan harganya, jika hal lain diasumsikan konstan. Sehingga semakin tinggi harganya, semakin kecil jumlah barang yang diminta, sebaliknya semakin rendah harganya, semakin besar jumlah barang diminta. Hukum penawaran menyatakan bahwa jumlah yang ditawarkan biasanya secara langsung berhubungan dengan harganya, hal lain diasumsikan konstan. Inti dari kedua hukum dasar dalam ekonomi tersebut adalah bahwa interaksi antara komoditi dan konsumen akan membentuk harga. Kuantitas komoditi yang dipasarkan pada suatu titik waktu terkait (dependen) dengan titik waktu sebelumnya. Akibatnya, harga pada titik waktu pun dependen dengan harga pada periode sebelumnya. Inilah yang membuat data IHK memiliki dependensi waktu, sehingga biasanya dianalisis dengan menggunakan analisis deret waktu (time series).

Berdasarkan pemaparan di atas telah dijelaskan dalam Al-Qur'an tentang Hukum Ekonomi:



Terjemahnya :

“Hai orang-orang yang beriman, janganlah kamu haramkan apa-apa yang baik yang telah Allah halalkan bagi kamu, dan janganlah kamu melampaui batas. Sesungguhnya Allah tidak menyukai orang-orang yang melampaui batas.” (Al Maa-Idah :87)⁴

⁴ Departemen Agama Republik Indonesia –.Al-Quran dan terjemahnya (jakarta : Magfirah Pustaka, 2002), h. 177.

Atas dasar permasalahan di atas, maka penulis mengangkat judul “*Analisis Vector Auto Regression (Var) Untuk Melihat Hubungan Kausalitas Antar Variabel Ekonomi Di Sulawesi Selatan*” dengan harapan hasil penelitian ini dapat bermanfaat bagi pihak-pihak terkait.

Adapun data yang digunakan dalam penelitian ini merupakan data sekunder yang di peroleh dari Bank Indonesia (BI) dan BPS (Badan Pusat Statistik). Variabel-variabel yang di gunakan antara lain : data tingkat inflasi dan Produk Domestik Regional Bruto (PDRB) di provinsi Sulawesi Selatan, nilai tukar kurs dollar US terhadap kurs rupiah, dan BI rates.

Metode yang digunakan dalam penelitian ini adalah pemodelan *Vector Autoregression* (VAR) yaitu bentuk pemodelan yang digunakan untuk *multivariate time series*. Model VAR pertama kali dikembangkan oleh Cristoper A. Sims terutama sebagai solusi atas kritiknya terhadap model persamaan simultan yaitu :

1. Spesifikasi dari sistem persamaan simultan terlalu berdasarkan agregasi dari model keseimbangan parsial tanpa adanya fokus untuk menghasilkan hubungan yang hilang (*omitted interrelations*).
2. Struktur dinamis dari model seringkali dispesifikasikan dengan tujuan untuk memberikan restriksi yang perlu dalam mendapatkan identifikasi dari bentuk struktural.

Oleh karena itu dalam model VAR untuk mengatasi kritik di atas terutama dalam menentukan variabel mana yang harus bersifat eksogen dan endogen, pendekatan VAR berusaha membiarkan “*let the data speaks for them selves*” dengan membuat semua variabel bersifat endogen. Dengan demikian dalam

kerangka VAR, setiap variabel baik dalam level maupun *first difference*, diperlakukan secara simetris di dalam sistem persamaan yang mengandung *regressor set* yang sama.

B. Rumusan Masalah

Permasalahan yang akan diangkat dalam penelitian ini adalah :

1. Bagaimana hubungan kausalitas dan arah hubungan antara inflasi dan jumlah uang beredar (M1) dengan tetap memperhatikan pengaruh dari variabel lainnya?
2. Bagaimana hubungan kausalitas dan arah hubungan antara inflasi dan nilai tukar kurs dollar US terhadap kurs rupiah dengan tetap memperhatikan pengaruh dari variabel lainnya?
3. Bagaimana hubungan kausalitas dan arah hubungan antara inflasi dan BI rate dengan tetap memperhatikan pengaruh dari variabel lainnya?
4. Bagaimana hubungan kausalitas dan arah hubungan antara jumlah uang beredar (M1) dan nilai tukar kurs dollar US terhadap kurs rupiah dengan tetap memperhatikan pengaruh dari variabel lainnya?
5. Bagaimana hubungan kausalitas dan arah hubungan antara jumlah uang beredar (M1) dan BI rate dengan tetap memperhatikan pengaruh dari variabel lainnya?
6. Bagaimana hubungan kausalitas dan arah hubungan antara nilai tukar kurs dollar US terhadap kurs rupiah dan BI rate dengan tetap memperhatikan pengaruh dari variabel lainnya?

C. Tujuan Penelitian

Tujuan dari penelitian ini adalah :

1. Menganalisis hubungan kausalitas dan arah pengaruh antara inflasi dan jumlah uang beredar (M1).
2. Menganalisis hubungan kausalitas dan arah pengaruh antara inflasi dan nilai tukar kurs dollar US terhadap kurs rupiah.
3. Menganalisis hubungan kausalitas dan arah pengaruh antara inflasi dan BI rates.
4. Menganalisis hubungan kausalitas dan arah hubungan antara jumlah uang beredar (M1) dan nilai tukar kurs dollar US terhadap kurs rupiah.
5. Menganalisis hubungan kausalitas dan arah hubungan antara jumlah uang beredar (M1) dan BI rate.
6. Menganalisis hubungan kausalitas dan arah hubungan antara nilai tukar kurs dollar US terhadap kurs rupiah dan BI rate.

D. Manfaat Penelitian

Adapun manfaat dari penelitian ini adalah diharapkan hasil dari penelitian ini dapat memberikan informasi yang bermanfaat bagi pihak-pihak terkait sehingga dapat digunakan dalam mempertimbangkan pengambilan kebijakan ekonomi yang berhubungan dengan masalah yang diangkat dalam penelitian ini.

Selain itu, penelitian ini diharapkan dapat menjadi bahan referensi atau pembandingan bagi mahasiswa atau pihak yang melakukan penelitian sejenis.

E. Garis-garis besar isi skripsi

Skripsi ini terdiri dari lima Bab antara lain:

Bab I. Pendahuluan diawali dengan gambaran tentang latar belakang sehingga muncul permasalahan yang berkaitan dengan judul pembahasan, dan pengertian kata-kata yang terdapat dalam judul. Bab ini pula diuraikan tujuan dan kegunaan penelitian, serta garis-garis besar isi skripsi.

Bab II. terdapat tinjauan pustaka dimana menjadi dasar dalam menyelesaikan hasil penelitian.

Bab III. berisi Metode penelitian yang mana terdiri dari Jenis penelitian, Populasi dan sampel, Data dan sumber data, Defenisi variable, Metode pengumpulan data, Metode analisis data.

Bab IV. analisis dan pembahasan yang berisi deskripsi umum dan hasil penelitian.

Bab V. Berisi kesimpulan dari hasil keseluruhan penelitian yang telah dibahas dari bab-bab sebelumnya, keterbatasan penelitian dan saran - saran bagi penelitian selanjutnya.

BAB II

TINJAUAN PUSTAKA

A. Analisis VAR

Secara umum pemodelan data dengan metode analisis deret waktu (*time series*) terbagi atas dua klasifikasi, yaitu *univariate* dan *multivariate time series*. Model *univariate* antara lain *Exponential Smoothing*, *Auto Regressive Integrated Moving Average* (ARIMA) dan *Generalized Auto Regressive Conditional Heteroskedasticity* (GARCH). Sedangkan model *multivariate* yang sering dipakai adalah *Vector Auto Regressive* (VAR). Analisis *univariate time series* cocok digunakan untuk memodelkan data-data yang sulit diketahui secara pasti penyebab fluktuasinya. Analisis *univariate time series* memiliki kelebihan, yaitu dapat menggunakan data variabel yang akan dilihat perilakunya saja, tanpa perlu mencari data variabel lain yang mempengaruhinya.

1. Pengenalan Analisis VAR

Dalam penelitian ini akan dianalisis hubungan diantara beberapa data *time series*. Untuk menganalisis hubungan tersebut, maka akan digunakan analisis *multivariate time series Vector Auto Regressive* (VAR). Beberapa kelebihan model VAR antara lain:

1. Model VAR adalah model yang sederhana dan tidak perlu membedakan variabel endogen dan eksogen. Semua variabel pada model VAR dapat dianggap variabel endogen.
2. Cara estimasi model VAR sangat mudah yaitu dengan menggunakan OLS pada tiap-tiap persamaan secara terpisah.

3. Peramalan (*forecast*) menggunakan model VAR lebih baik dalam beberapa hal daripada peramalan yang menggunakan model dengan persamaan simultan yang lebih kompleks.
4. Selain itu, analisis VAR juga merupakan alat analisis yang sangat berguna, baik didalam memahami adanya hubungan timbal balik (*interrelationship*) antara variabel-variabel ekonomi, maupun didalam pembentukan model ekonomi berstruktur.

Adakalanya akan sulit menentukan bagaimana hubungan diantara variabel yang diamati, atau dengan kata lain ada saat dimana tidak diketahui apakah sebuah variabel adalah variabel eksogen atau bukan, apakah suatu variabel mempengaruhi variabel lainnya atau sebaliknya, atautkah variabel-variabel tersebut saling mempengaruhi satu sama lain. Dalam menghadapi masalah seperti ini maka dibutuhkan perluasan natural dari analisis fungsi transfer, dimana semua variabel diperlakukan secara simetris.⁵

Pendekatan ini dipopulerkan oleh Sims (1980), dimana ia mengasumsikan bahwa semua variabel makroekonomi berpotensi bertindak sebagai variabel endogen.

Dalam kasus dua variabel, misalkan alur waktu $\{y_t\}$ dipengaruhi oleh urutan realisasi $\{z_t\}$ saat ini dan masa lalu dan misalkan urutan alur waktu $\{z_t\}$ dipengaruhi oleh urutan realisasi $\{y_t\}$ saat ini dan masa lalu. Perhatikan sistem bivariat sederhana berikut ini:

⁵ Enders, Walter. 2003. *Applied Econometric Time Series*. United States of America. Wiley.

$$y_t = b_{10} - b_{12}z_t + \gamma_{11}y_{t-1} + \gamma_{12}z_{t-1} + \varepsilon_{yt} \quad (2.1)$$

$$z_t = b_{20} - b_{21}y_t + \gamma_{21}y_{t-1} + \gamma_{22}z_{t-1} + \varepsilon_{zt} \quad (2.2)$$

Diasumsikan bahwa (1) y_t dan z_t keduanya stasioner; (2) ε_{yt} dan ε_{zt} *white-noise* dengan standar deviasi berturut-turut σ_y dan σ_z ; dan (3) $\{\varepsilon_{yt}\}$ dan $\{\varepsilon_{zt}\}$ adalah gangguan *white-noise* yang tidak berkorelasi.

Dua persamaan di atas, (2.1) dan (2.2) adalah *vector auto regression* (VAR) ordo pertama, karena *lag* terpanjangnya adalah satu, dan VAR ordo pertama dua variabel tersebut dapat digunakan untuk menggambarkan sistem multivariat dengan ordo yang lebih tinggi. Adanya kemungkinan y_t dan z_t untuk saling mempengaruhi sehingga dalam sistem persamaan tersebut disertakan hubungan timbal balik (*feedback*).

Sebagai contoh bahwa $-b_{12}$ adalah pengaruh serentak dari perubahan z_t pada y_t dan γ_{12} adalah pengaruh dari sebuah perubahan pada z_{t-1} pada y_t , dimana istilah ε_{yt} dan ε_{zt} adalah guncangan (*shock*) berturut-turut pada y_t dan z_t . Jika b_{21} tidak sama dengan nol, ε_{yt} memiliki pengaruh serentak secara tidak langsung pada z_t , dan jika b_{12} tidak sama dengan nol, ε_{zt} memiliki pengaruh serentak secara tidak langsung pada y_t .

Persamaan (2.1) dan (2.2) di atas adalah persamaan bentuk tak tereduksi karena y_t memiliki pengaruh serentak pada z_t dan z_t memiliki pengaruh serentak pada y_t . Namun dimungkinkan untuk melakukan transformasi sistem persamaan kedalam bentuk yang lebih mudah untuk digunakan. Dengan menggunakan matriks aljabar, dapat dituliskan sistem tersebut dalam bentuk:

$$\begin{bmatrix} 1 & b_{12} \\ b_{21} & 1 \end{bmatrix} \begin{bmatrix} y_t \\ z_t \end{bmatrix} = \begin{bmatrix} b_{10} \\ b_{20} \end{bmatrix} + \begin{bmatrix} \gamma_{11} & \gamma_{12} \\ \gamma_{21} & \gamma_{22} \end{bmatrix} \begin{bmatrix} y_{t-1} \\ z_{t-1} \end{bmatrix} + \begin{bmatrix} \varepsilon_{yt} \\ \varepsilon_{zt} \end{bmatrix}$$

atau

$$Bx_t = \Gamma_0 + \Gamma_1 x_{t-1} + \varepsilon_t$$

dimana

$$B = \begin{bmatrix} 1 & b_{12} \\ b_{21} & 1 \end{bmatrix}, x_t = \begin{bmatrix} y_t \\ z_t \end{bmatrix}, \Gamma_0 = \begin{bmatrix} b_{10} \\ b_{20} \end{bmatrix}, \Gamma_1 = \begin{bmatrix} \gamma_{11} & \gamma_{12} \\ \gamma_{21} & \gamma_{22} \end{bmatrix}, \varepsilon_t = \begin{bmatrix} \varepsilon_{yt} \\ \varepsilon_{zt} \end{bmatrix}$$

Perkalian kedua ruas oleh B^{-1} digunakan untuk memperoleh model VAR dalam bentuk standar sebagai berikut

$$x_t = A_0 + A_1 x_{t-1} + e_t \quad (2.3)$$

dimana:

$$A_0 = B^{-1} \Gamma_0$$

$$A_1 = B^{-1} \Gamma_1$$

$$e_t = B^{-1} \varepsilon_t$$

Selanjutnya, dapat didefinisikan a_{i0} sebagai elemen i dari vektor A_0 , a_{ij} sebagai elemen pada baris ke- i dan kolom ke- j dari matriks A_1 , dan e_{it} sebagai elemen ke- i dari vektor e_t . Menggunakan notasi ini, dapat dituliskan kembali (2.3) dalam bentuk yang ekuivalen:

$$y_t = a_{10} + a_{11}y_{t-1} + a_{12}z_{t-1} + e_{1t} \quad (2.4)$$

$$z_t = a_{20} + a_{21}y_{t-1} + a_{22}z_{t-1} + e_{2t} \quad (2.5)$$

Untuk membedakan antara sistem yang ditampilkan oleh (2.1) dan (2.2) terhadap (2.4) dan (2.5), dua persamaan yang pertama disebut struktural VAR atau sistem yang masih primitif dan yang kedua disebut VAR dalam bentuk standar. Penting untuk diingat bahwa istilah *error* (seperti e_{1t} dan e_{2t}) merupakan gabungan dari 2 guncangan (*shock*) ε_{yt} dan ε_{zt} . Karena $e_t = B^{-1} \varepsilon_t$, dapat dihitung e_{1t} dan e_{2t} sebagai berikut

$$e_{1t} = (\varepsilon_{yt} - b_{12}\varepsilon_{zt})/(1 - b_{12}b_{21}) \quad (2.6)$$

$$e_{2t} = (\varepsilon_{zt} - b_{21}\varepsilon_{yt})/(1 - b_{12}b_{21}) \quad (2.7)$$

Lebih lanjut dijelaskan karena ε_{yt} dan ε_{zt} adalah proses *white-noise*, sehingga e_{1t} dan e_{2t} memiliki rata-rata nol, variansinya konstan, dan secara individual tidak berkorelasi serial. Untuk mengetahui sifat dari $\{e_{1t}\}$, pertama-tama ambil nilai ekspektasi dari (2.6)

$$Ee_{1t} = E(\varepsilon_{yt} - b_{12}\varepsilon_{zt})/(1 - b_{12}b_{21}) = 0$$

Variansi dari e_{1t} diberikan oleh

$$\begin{aligned} Ee_{1t}^2 &= E[(\varepsilon_{yt} - b_{12}\varepsilon_{zt})/(1 - b_{12}b_{21})]^2 \\ &= (\sigma_y^2 + b_{12}^2\sigma_z^2)/(1 - b_{12}b_{21})^2 \end{aligned} \quad (2.8)$$

Dengan demikian variansi e_{1t} *time-independent*. Autokorelasi e_{1t} dan e_{1t-i} :

$$Ee_{1t}e_{1t-i} = E[(\varepsilon_{yt} - b_{12}\varepsilon_{zt})(\varepsilon_{yt-i} - b_{12}\varepsilon_{zt-i})]/(1 - b_{12}b_{21})^2 = 0 \text{ untuk } i \neq 0$$

Lebih lanjut dijelaskan bahwa dengan cara yang sama, (2.7) dapat digunakan untuk menunjukkan bahwa e_{2t} adalah proses yang stasioner dengan rata-rata nol, variansi konstan dan semua autokovariansinya sama dengan nol. Poin penting yang harus dicatat adalah bahwa e_{1t} dan e_{2t} berkorelasi. Kovariansi dari keduanya adalah

$$\begin{aligned} Ee_{1t}e_{2t} &= E[(\varepsilon_{yt} - b_{12}\varepsilon_{zt})(\varepsilon_{zt} - b_{21}\varepsilon_{yt})]/(1 - b_{12}b_{21})^2 \\ &= -(b_{21}\sigma_y^2 + b_{12}\sigma_z^2)/(1 - b_{12}b_{21})^2 \end{aligned} \quad (2.9)$$

Dalam banyak kasus secara umum, (2.9) tidak akan bernilai nol, atau dengan kata lain terdapat korelasi diantara kedua *shock*. Namun dalam kasus khusus dimana b_{12} dan b_{21} keduanya bernilai nol, misalnya jika tidak ada pengaruh serentak y_t pada z_t dan z_t pada y_t , maka *shock*nya tidak akan berkorelasi.

Hal ini berguna untuk mendefinisikan matriks variansi/ kovariansi dari *shock* e_{1t} dan e_{2t} sebagai berikut

$$\Sigma = \begin{bmatrix} \text{var}(e_{1t}) & \text{cov}(e_{1t}, e_{2t}) \\ \text{cov}(e_{1t}, e_{2t}) & \text{var}(e_{2t}) \end{bmatrix}$$

Karena semua elemen dari Σ *time-independent*, dapat digunakan bentuk yang lebih sederhana

$$\Sigma = \begin{bmatrix} \sigma_1^2 & \sigma_{12} \\ \sigma_{21} & \sigma_2^2 \end{bmatrix} \quad (2.10)$$

dimana $\text{var}(e_{it}) = \sigma_i^2$ dan $\text{cov}(e_{1t}, e_{2t}) = \sigma_{12} = \sigma_{21}$.

2. Stabilitas dan Stasioneritas

Dalam model *autoregressive* ordo pertama $y_t = a_0 + a_1 y_{t-1} + \varepsilon_t$, syarat kestabilannya adalah bahwa a_1 lebih kecil dari unit dalam nilai absolute, terdapat analogi langsung antara syarat kestabilan ini dengan matriks A_1 dalam model VAR ordo pertama (2.3). Menggunakan *brute force method* untuk memecahkan sistem persamaan, (2.3) diiterasi untuk memperoleh

$$\begin{aligned} x_t &= A_0 + A_1(A_0 + A_1 x_{t-2} + e_{t-1}) + e_t \\ &= (I + A_1)A_0 + A_1^2 x_{t-2} + A_1 x_{t-2} + e_t \end{aligned}$$

dimana I = matriks identitas 2×2

Setelah n iterasi, diperoleh

$$x_t = (I + A_1 + \dots + A_1^n)A_0 + \sum_{i=0}^n A_1^i e_{t-1} + A_1^{n+1} x_{t-n-1}$$

Jika iterasi dilanjutkan, maka A_1^n akan lenyap sebagai pendekatan tak hingga. Sebagaimana yang ditunjukkan di bawah ini, stabilitas mensyaratkan bahwa akar $(1 - a_{11}L)(1 - a_{22}L) - (a_{12}a_{21}L^2)$ berada di luar lingkaran unit.

Dengan mengasumsikan bahwa syarat stabilitas telah dicapai, maka dapat dituliskan solusi tertentu untuk x_t sebagai berikut

$$x_t = \mu + \sum_{i=0}^{\infty} A_1^i e_{t-i} \quad (2.11)$$

dimana $\mu = [\bar{y}\bar{z}]'$

dan

$$\bar{y} = [a_{10}(1 - a_{22}) + a_{12}a_{20}]/\Delta$$

$$\Delta = (1 - a_{11})(1 - a_{22}) - a_{12}a_{21}$$

$$\bar{z} = [a_{20}(1 - a_{11}) + a_{21}a_{10}]/\Delta$$

Jika nilai ekspektasi diambil dari (2.11), rata-rata x_t adalah μ ; karenanya, rata-rata y_t dan z_t adalah \bar{y} dan \bar{z} . Variansi dan kovariansi dari y_t dan z_t dapat diperoleh sebagai berikut. Pertama, bentuk matriks variansi/ kovariansi adalah

$$E(x_t - \mu)^2 = E \left[\sum_{i=0}^{\infty} A_1^i e_{t-i} \right]^2$$

Selanjutnya, dengan menggunakan (2.10)

$$E e_t^2 = E \begin{bmatrix} e_{1t} \\ e_{2t} \end{bmatrix} [e_{1t}, e_{2t}]$$

$$= \Sigma$$

Karena, $E e_t e_{t-i} = 0$ untuk $i \neq 0$, sehingga

$$E(x_t - \mu)^2 = (I + A_1^2 + A_1^4 + A_1^6 + \dots)\Sigma$$

$$= [I - A_1^2]^{-1}\Sigma$$

dimana diasumsikan bahwa kondisi stabilitas telah dipegang, sehingga A_1^n mendekati nol sebagai n pendekatan tak hingga.

Untuk mendapatkan gambaran lain pada kondisi stabilitas, digunakan operator *lag* untuk menuliskan kembali model VAR (2.4) dan (2.5) sebagai

$$y_t = a_{10} + a_{11}Ly_t + a_{12}Lz_t + e_{1t}$$

$$z_t = a_{20} + a_{21}Ly_t + a_{22}Lz_t + e_{2t}$$

atau

$$(1 - a_{11}L)y_t = a_{10} + a_{12}Lz_t + e_{1t}$$

$$(1 - a_{22}L)z_t = a_{20} + a_{21}Ly_t + e_{2t}$$

Jika persamaan terakhir yang digunakan untuk menyelesaikan z_t , sehingga juga mengikuti bahwa Lz_t adalah

$$Lz_t = L(a_{20} + a_{21}Ly_t + e_{2t})/(1 - a_{22}L)$$

sehingga

$$(1 - a_{11}L)y_t = a_{10} + a_{12}L[a_{20} + a_{21}Ly_t + e_{2t}/(1 - a_{22}L)] + e_{1t}$$

VAR ordo pertama telah ditransformasikan pada $\{y_t\}$ dan $\{z_t\}$ secara berturut-turut dalam persamaan stokastik ordo kedua berturut-turut dalam $\{y_t\}$.

Pemecahan eksplisit untuk y_t menghasilkan

$$y_t = \frac{a_{10}(1 - a_{22}) + a_{12}a_{20} + (1 - a_{22}L)e_{1t} + a_{12}e_{2t-1}}{(1 - a_{11}L)(1 - a_{22}L) - a_{12}a_{21}L^2} \quad (2.12)$$

Dengan cara yang sama, solusi dari z_t adalah

$$z_t = \frac{a_{20}(1 - a_{11}) + a_{21}a_{10} + (1 - a_{11}L)e_{2t} + a_{21}e_{1t-1}}{(1 - a_{11}L)(1 - a_{22}L) - a_{12}a_{21}L^2} \quad (2.13)$$

Persamaan (2.12) dan (2.13) di atas keduanya memiliki karakteristik yang sama; konvergensi mensyaratkan bahwa akar-akar polinomial $(1 - a_{11}L)(1 - a_{22}L) - a_{12}a_{21}L^2$ harus berada di luar lingkaran unit. Seperti halnya pada persamaan *differencing* ordo dua, akar-akarnya dapat berupa bilangan riil atau

kompleks dan memungkinkan untuk konvergen atau divergen. Sebagai catatan bahwa y_t dan z_t keduanya memiliki karakteristik yang sama, sepanjang a_{12} dan a_{21} keduanya tidak nol, solusi untuk keduanya memiliki akar yang karakteristiknya sama. Dengan demikian, keduanya memiliki alur waktu yang serupa.

3. Estimasi dan Identifikasi

Salah satu tujuan penting dari pendekatan Box-Jenkins adalah untuk menyediakan sebuah metode yang menuju kepada model yang sederhana. Sasaran utama dalam membuat peramalan akurat yang sederhana adalah dengan menghilangkan parameter penduga yang tidak signifikan dari model. Kritik Sims (1980) tentang “pembatasan identifikasi yang tidak masuk akal” tidak dapat dipisahkan dalam model struktural untuk sebuah strategi pendugaan alternatif. Pertimbangkan generalisasi multivariat untuk suatu proses *autoregressive* berikut

$$x_t = A_0 + A_1 x_{t-1} + A_2 x_{t-2} + \dots + A_p x_{t-p} + e_t \quad (2.14)$$

dimana:

x_t = vektor ($n \cdot 1$) yang memuat n variabel yang terdapat dalam VAR

A_0 = vektor intersep berukuran ($n \cdot 1$)

A_i = matriks koefisien berukuran ($n \cdot n$)

e_t = vektor *error* berukuran ($n \cdot 1$)

Metodologi Sims memerlukan lebih dari sekedar penentuan variabel yang sesuai untuk dimasukkan ke dalam VAR dan penentuan panjang *lag* yang sesuai. Variabel yang terdapat dalam VAR dipilih berdasarkan model ekonomi yang relevan. Pengujian panjang *lag* yang akan didiskusikan di bawah memilih panjang *lag* yang sesuai. Selain itu, tidak ada usaha yang tegas “untuk mengurangi”

parameter dugaan. Matriks A_0 memuat n parameter dan tiap matriks A_i memuat n^2 parameter; sehingga ada sebanyak $n + pn^2$ koefisien yang harus diestimasi. Sebuah model VAR akan terlalu banyak memuat parameter dimana banyak dari estimasi koefisien ini tidak akan signifikan. Namun bagaimanapun, tujuannya adalah untuk menemukan hubungan timbal balik yang penting diantara variabel-variabel dan bukan untuk membuat peramalan singkat. Pemisalan nol yang tidak tepat mungkin akan membuang informasi yang penting. Lebih dari itu, *regressor* nampaknya akan sangat kolinear sehingga uji t pada tiap koefisien tidak dapat diandalkan untuk menyederhanakan model.

Bagian kanan dari (2.14) hanya memuat variabel yang telah ditentukan dan *error*-nya diasumsikan tidak berkorelasi serial dengan variansi yang konstan. Oleh karena itu, setiap persamaan dalam sistem dapat diestimasi menggunakan OLS, dimana OLS konsisten dan efisien asimtotik. Walaupun *error* berkorelasi diantara tiap persamaan, *Seemingly Uncorelated Regressions* (SUR) tidak menambah efisiensi dari prosedur estimasi karena semua regresi memiliki variabel yang identik di sisi bagian kanan.

Ada isu yang menyatakan bahwa variabel-variabel dalam VAR perlu untuk distasionerkan. Isu mengenai apakah variabel-variabel dalam VAR harus distasionerkan sudah muncul sejak dulu. Sims (1980) dan Doan (1992) merekomendasikan untuk tidak melakukan *differencing* bahkan jika variabel-variabel tersebut memiliki akar unit. Dalam panduan RATS juga diklaim bahwa *differencing* membuang informasi mengenai pergerakan dalam data (Doan 1992, pp. 8-13).

Sims (1980) dan Doan (2000) merekomendasikan hal yang sama untuk menentang *differencing* walaupun terdapat unit akar dalam variabel. Lebih lanjut dituliskan bahwa Fuller (1976, Theorem 8.5.1) menunjukkan bahwa *differencing* tidak menghasilkan keuntungan apapun dalam hal efisiensi asimtot pada sebuah autoregresi. Sims, Stock dan Watson (1990) mengklaim bahwa bahkan jika dalam sistem memuat variabel yang tidak stasioner, *estimator* masih akan konsisten dalam estimasi pada tingkat level. Karena VAR(p) dapat dituliskan sebagai sebuah sistem persamaan sebanyak variabel penjelasnya, sehingga koefisiennya dapat diestimasi secara efisien dan konsisten dengan cara mengestimasi tiap-tiap komponen menggunakan metode OLS. Dibawah asumsi standar mengenai sifat stasioner dan *ergodic* model penduga koefisien VAR berdistribusi normal.

Selanjutnya adalah penentuan panjang *lag* optimum untuk menunjang analisis. Sebuah cara yang umum digunakan untuk menentukan panjang *lag* dari model VAR adalah menemukan model VAR(p) yang paling sesuai pada ordo-ordo $p = 0, \dots, p_{max}$ dan memilih nilai p yang mana kriteria pemilihan modelnya paling rendah.⁶

Kriteria pemilihan model untuk VAR(p) dapat berdasarkan kriteria informasi Akaike (AIC), Schwarz-Bayesian (BIC) dan Hannan-Quinn (HQ):

$$AIC(p) = \ln|\bar{\Sigma}(p)| + \frac{2}{T}pn^2$$

$$BIC(p) = \ln|\bar{\Sigma}(p)| + \frac{\ln T}{T}pn^2$$

$$HQ(p) = \ln|\bar{\Sigma}(p)| + \frac{2 \ln \ln T}{T}pn^2$$

⁶ Kozhan, Roman. 2010. *Financial Econometrics with EViews*. Jakarta. Ventus Publishing ApS.

Untuk mengilustrasikan proses identifikasi, perhatikan VAR dua variabel/ ordo dua sebelumnya. Persamaan awal (2.1) dan (2.2) tidak dapat diestimasi secara langsung. Hal ini dikarenakan z_t berkorelasi terhadap *error* ε_{yt} dan y_t berkorelasi terhadap ε_{zt} , dimana teknik estimasi standar mensyaratkan bahwa *regressor* tidak boleh berkorelasi terhadap *error*. Namun masalah seperti ini tidak ditemukan dalam pendugaan sistem VAR dalam bentuk (2.4) dan (2.5). (Enders, 2003) menjelaskan bahwa OLS dapat menyediakan estimasi dari dua elemen A_0 dan empat elemen A_1 . Terlebih lagi, memperoleh bentuk residual dari dua regresi memungkinkan untuk menghitung dugaan variansi dari e_{1t}, e_{2t} , dan kovariansi antara e_{1t} dan e_{2t} . Terdapat isu apakah mungkin untuk memuat semua informasi dalam sistem primitif yang diberikan oleh (2.1) dan (2.2). Dengan kata lain pertanyaan yang muncul adalah apakah model primitif dapat diidentifikasi oleh estimasi OLS yang diberikan pada model VAR dalam bentuk (2.4) dan (2.5).

Jawaban dari pertanyaan ini adalah “tidak, kecuali jika ditentukan pembatasan yang sesuai dari sistem primitif”. Alasannya jelas jika membandingkan banyaknya parameter dari sistem primitif dengan jumlah parameter yang dimuat dari estimasi model VAR. Estimasi (2.4) dan (2.5) menghasilkan enam koefisien dugaan ($a_{10}, a_{20}, a_{11}, a_{12}, a_{21}$ dan a_{22}) dan nilai $\text{var}(e_{1t}), \text{var}(e_{2t}),$ dan $\text{cov}(e_{1t}, e_{2t})$. Namun bagaimanapun, sistem primitif (2.1) dan (2.2) memuat sepuluh parameter. Sebagai tambahan dua koefisien intersep b_{10} dan b_{20} , empat koefisien autoregressi $\gamma_{11}, \gamma_{12}, \gamma_{21}$ dan γ_{22} , dan dua koefisien *feedback* b_{12} dan b_{21} , ada dua standar deviasi σ_y dan σ_z . Secara keseluruhan, ada sepuluh parameter dimana model VAR hanya menghasilkan sembilan parameter. Kecuali

jika salah satunya dibiarkan membatasi salah satu parameter, maka bukan tidak mungkin untuk mengidentifikasi sistem primitif.

Untuk mengidentifikasi model, dapat digunakan salah satu jenis sistem rekursif seperti yang direkomendasikan oleh Sims (1980). Diandaikan bahwa telah ditentukan pembatasan pada sistem rekursif, yaitu koefisien b_{21} sama dengan nol, maka dapat dituliskan (2.1) dan (2.2) dengan hasil yang dikenakan batasan

$$y_t = b_{10} - b_{12}z_t + \gamma_{11}y_{t-1} + \gamma_{12}z_{t-1} + \varepsilon_{yt} \quad (2.15)$$

$$z_t = b_{20} + \gamma_{21}y_{t-1} + \gamma_{22}z_{t-1} + \varepsilon_{zt} \quad (2.16)$$

Dengan cara yang sama, dapat dituliskan kembali hubungan diantara *shock* dan residual yang diberikan oleh (2.6) dan (2.7) sebagai berikut

$$e_{1t} = \varepsilon_{yt} - b_{12}\varepsilon_{zt}$$

$$e_{2t} = \varepsilon_{zt}$$

Intinya adalah bahwa memaksakan $b_{21} = 0$ berarti bahwa z_t memiliki pengaruh serentak pada y_t tetapi y_t mempengaruhi $\{z_t\}$ berturut-turut dengan satu *lag* periode. Meskipun demikian, seharusnya sudah jelas bahwa hasil pembatasan ini (yang mungkin diusulkan oleh model ekonomi tertentu) berada dalam sistem yang didefinisikan dengan tepat. Mengandaikan pembatasan $b_{21} = 0$ berarti bahwa B^{-1} diberikan oleh

$$B^{-1} = \begin{bmatrix} 1 & -b_{12} \\ 0 & 1 \end{bmatrix}$$

Sekarang, kalikan sistem primitif oleh nilai B^{-1}

$$\begin{bmatrix} y_t \\ z_t \end{bmatrix} = \begin{bmatrix} 1 & -b_{12} \\ 0 & 1 \end{bmatrix} \begin{bmatrix} b_{10} \\ b_{20} \end{bmatrix} + \begin{bmatrix} 1 & -b_{12} \\ 0 & 1 \end{bmatrix} \begin{bmatrix} \gamma_{11} & \gamma_{12} \\ \gamma_{21} & \gamma_{22} \end{bmatrix} \begin{bmatrix} y_{t-1} \\ z_{t-1} \end{bmatrix} + \begin{bmatrix} 1 & -b_{12} \\ 0 & 1 \end{bmatrix} \begin{bmatrix} \varepsilon_{yt} \\ \varepsilon_{zt} \end{bmatrix}$$

atau

$$\begin{bmatrix} y_t \\ z_t \end{bmatrix} = \begin{bmatrix} b_{10} - b_{12}b_{20} \\ b_{20} \end{bmatrix} + \begin{bmatrix} \gamma_{11} - b_{12}\gamma_{21} & \gamma_{12} - b_{12}\gamma_{22} \\ \gamma_{21} & \gamma_{22} \end{bmatrix} \begin{bmatrix} y_{t-1} \\ z_{t-1} \end{bmatrix} + \begin{bmatrix} \varepsilon_{yt} - b_{12}\varepsilon_{zt} \\ \varepsilon_{zt} \end{bmatrix} \quad (2.17)$$

Mengestimasi sistem menggunakan OLS menghasilkan parameter dugaan dari

$$y_t = a_{10} + a_{11}y_{t-1} + a_{12}z_{t-1} + e_{1t}$$

$$z_t = a_{20} + a_{21}y_{t-1} + a_{22}z_{t-1} + e_{2t}$$

dimana:

$$a_{10} = b_{10} - b_{12}b_{20}$$

$$a_{11} = \gamma_{11} - b_{12}\gamma_{21}$$

$$a_{12} = \gamma_{12} - b_{12}\gamma_{22}$$

$$a_{20} = b_{20}$$

$$a_{21} = \gamma_{21}$$

$$a_{22} = \gamma_{22}$$

Karena $b_{21} = 0$, sehingga $e_{1t} = \varepsilon_{yt} - b_{12}\varepsilon_{zt}$ dan $e_{2t} = \varepsilon_{zt}$, dengan demikian,

$$\text{Var}(e_1) = \sigma_y^2 + b_{12}^2\sigma_z^2$$

$$\text{Var}(e_2) = \sigma_z^2$$

$$\text{Cov}(e_1, e_2) = -b_{12}\sigma_z^2$$

Dengan demikian, menghasilkan sembilan parameter penduga a_{10} , a_{11} , a_{12} , a_{20} , a_{21} , a_{22} , $\text{var}(e_1)$, $\text{var}(e_2)$, dan $\text{cov}(e_1, e_2)$ yang dapat disubstitusi kedalam sembilan persamaan di atas untuk menyelesaikan secara simultan b_{10} , b_{12} , γ_{11} , γ_{12} , b_{20} , γ_{21} , γ_{22} , σ_y^2 , dan σ_z^2 . Dimana dugaan dari $\{\varepsilon_{yt}\}$ dan $\{\varepsilon_{zt}\}$

menurut secara berturut-turut dapat dimuat. Residual dari persamaan kedua (misalnya $\{e_{2t}\}$) diestimasi dari $\{\varepsilon_{zt}\}$. Menggabungkan estimasi ini bersama dengan solusi untuk b_{12} memungkinkan untuk menghitung estimasi dari $\{\varepsilon_{yt}\}$ menggunakan hubungan $e_{1t} = \varepsilon_{yt} - b_{12}\varepsilon_{zt}$.

Pada (2.16), asumsi $b_{21} = 0$ berarti bahwa y_t tidak memiliki pengaruh serentak pada z_t . Pada (2.17), *shock* ε_{yt} dan ε_{zt} mempengaruhi nilai dari y_t tetapi hanya ε_{zt} yang mempengaruhi nilai dari z_t . Nilai observasi dari e_{2t} menghubungkan sepenuhnya terhadap nilai *shock* z_t .

4. Fungsi Respon Impuls (*Impulse Respons Function*)

Sims menyatakan bahwa cara yang paling baik dalam mencirikan struktur dinamis pada model adalah dengan menganalisis respon dari model terhadap *shock*. IRF dapat melakukan hal ini dengan menunjukkan bagaimana respon dari setiap variabel endogen sepanjang waktu terhadap variabel itu sendiri dan variabel endogen lainnya.⁷

Lebih lanjut dituliskan bahwa Brooks (2002) berpendapat IRF dapat melacak respon dari variabel dependen dalam VAR terhadap guncangan dari variabel-variabel lain. Jadi, untuk setiap variabel dari masing-masing persamaan yang terpisah, suatu guncangan diaplikasikan pada *error* dan efeknya terhadap sistem VAR untuk beberapa waktu. Karenanya, apabila terdapat sebanyak g variabel dalam sistem, total dari g^2 respon impuls dapat diketahui.

⁷ Ricardo, Rico. 2007. *Analisis Keterkaitan Besaran Moneter Bebas Bunga dan Mengandung Bunga dengan Business Cycle dan Inflasi Indonesia*. Bogor.

Seperti halnya sebuah *autoregression* yang memiliki representasi *moving average*, sebuah *vector autoregression* dapat dituliskan sebagai sebuah *vector moving average* (VMA). Persamaan (2.11) di atas adalah representasi VMA dari (2.3), dalam artian variabel (seperti y_t dan z_t) dinyatakan sebagai nilai sekarang dan masa lampau dari dua jenis *shock* (seperti e_{1t} dan e_{2t}). Representasi VMA adalah sebuah fitur penting dari metodologi Sims (1980) yang mana memungkinkan untuk menyelidiki alur waktu dari berbagai macam *shock* pada variabel dalam sistem VAR. Untuk tujuan ilustratif, selanjutnya menggunakan model dua variabel/ ordo pertama yang telah dianalisis sebelumnya. Menuliskan VAR dua variabel tersebut dalam bentuk matriks,

$$\begin{bmatrix} y_t \\ z_t \end{bmatrix} = \begin{bmatrix} a_{10} \\ a_{20} \end{bmatrix} + \begin{bmatrix} a_{11} & a_{12} \\ a_{21} & a_{22} \end{bmatrix} \begin{bmatrix} y_{t-1} \\ z_{t-1} \end{bmatrix} + \begin{bmatrix} e_{1t} \\ e_{2t} \end{bmatrix} \quad (2.18)$$

atau, menggunakan (2.11), diperoleh

$$\begin{bmatrix} y_t \\ z_t \end{bmatrix} = \begin{bmatrix} \bar{y} \\ \bar{z} \end{bmatrix} + \sum_{i=0}^{\infty} \begin{bmatrix} a_{11} & a_{12} \\ a_{21} & a_{22} \end{bmatrix}^i \begin{bmatrix} e_{1t-i} \\ e_{2t-i} \end{bmatrix} \quad (2.19)$$

Persamaan (2.19), menyatakan y_t dan z_t dalam istilah $\{e_{1t}\}$ dan $\{e_{2t}\}$, dimana sudah jelas untuk menuliskan (2.19) untuk menyatakan $\{e_{yt}\}$ dan $\{e_{zt}\}$. Vektor dari *error* (2.6) dan (2.7) dapat dituliskan sebagai berikut

$$\begin{bmatrix} e_{1t} \\ e_{2t} \end{bmatrix} = \frac{1}{1 - b_{12}b_{21}} \begin{bmatrix} 1 & -b_{12} \\ -b_{21} & 1 \end{bmatrix} \begin{bmatrix} \varepsilon_{yt} \\ \varepsilon_{zt} \end{bmatrix} \quad (2.20)$$

Sehingga, (2.19) dan (2.20) dapat digabung membentuk

$$\begin{bmatrix} y_t \\ z_t \end{bmatrix} = \begin{bmatrix} \bar{y} \\ \bar{z} \end{bmatrix} + \frac{1}{1 - b_{12}b_{21}} \sum_{i=0}^{\infty} \begin{bmatrix} a_{11} & a_{12} \\ a_{21} & a_{22} \end{bmatrix}^i \begin{bmatrix} 1 & -b_{12} \\ -b_{21} & 1 \end{bmatrix} \begin{bmatrix} \varepsilon_{yt-i} \\ \varepsilon_{zt-i} \end{bmatrix}$$

Karena notasi di atas menjadi semakin sulit untuk digunakan, maka dapat disederhanakan dengan mendefinisikan matriks ϕ_i dengan elemen-elemennya $\phi_{jk}(i)$:

$$\phi_i = \frac{A_1^i}{1 - b_{12}b_{21}} \begin{bmatrix} 1 & -b_{12} \\ -b_{21} & 1 \end{bmatrix}$$

Karenanya, representasi *moving average* (2.19) dan (2.20) dapat dituliskan dalam kaitannya dengan $\{\varepsilon_{yt}\}$ dan $\{\varepsilon_{zt}\}$:

$$\begin{bmatrix} y_t \\ z_t \end{bmatrix} = \begin{bmatrix} \bar{y} \\ \bar{z} \end{bmatrix} + \frac{1}{1 - b_{12}b_{21}} \sum_{i=0}^{\infty} \begin{bmatrix} \phi_{11}(i) & \phi_{12}(i) \\ \phi_{21}(i) & \phi_{22}(i) \end{bmatrix} \begin{bmatrix} \varepsilon_{yt-i} \\ \varepsilon_{zt-i} \end{bmatrix}$$

atau, lebih lengkap,

$$x_t = \mu + \sum_{i=0}^{\infty} \phi_i \varepsilon_{t-i} \quad (2.21)$$

Representasi *moving average* adalah alat yang sangat bermanfaat untuk menguji interaksi antara $\{\varepsilon_{yt}\}$ dan $\{\varepsilon_{zt}\}$. Koefisien ϕ_i dapat digunakan untuk menghasilkan pengaruh dari *shock* ε_{yt} dan ε_{zt} pada keseluruhan alur waktu dari $\{y_t\}$ dan $\{z_t\}$. Jika notasi tersebut dapat dimengerti, telah jelas bahwa empat elemen $\phi_{jk}(0)$ adalah *impact multipliers*. Sebagai contoh, koefisien $\phi_{12}(0)$ adalah respon seketika dari perubahan satu unit dalam ε_{zt} pada y_t . Dengan cara yang sama, elemen $\phi_{11}(1)$ dan $\phi_{12}(1)$ adalah respon satu periode perubahan unit secara berturut-turut dalam ε_{yt-1} dan ε_{zt-1} pada y_t . Meningkatkan satu periode mengindikasikan bahwa $\phi_{11}(1)$ dan $\phi_{12}(1)$ juga merepresentasikan pengaruh dari perubahan unit dalam ε_{yt} dan ε_{zt} pada y_{t+1} .

Pengaruh yang dikumpulkan unit impuls dalam ε_{yt} dan/ atau ε_{zt} dapat diperoleh dengan menjumlahkan koefisien dari fungsi respon impuls. Sebagai

contoh, bahwa setelah n periode, pengaruh ε_{zt} terhadap nilai y_{t+n} adalah $\phi_{12}(n)$. Dengan demikian, setelah n periode, jumlah akumulasi pengaruh ε_{zt} pada $\{y_t\}$ adalah

$$\sum_{i=0}^n \phi_{12}(i)$$

Mebiarkan n mendekati tak hingga menghasilkan *long-run multiplier*. Karena $\{y_t\}$ dan $\{z_t\}$ diasumsikan stasioner, maka yang menjadi masalah adalah untuk semua j dan k ,

$$\sum_{i=0}^{\infty} \phi_{jk}^2(i) \text{ terbatas}$$

Empat koefisien $\phi_{11}(i), \phi_{12}(i), \phi_{21}(i)$, dan $\phi_{22}(i)$ inilah yang dalam (Enders, 2003) disebut fungsi respon impuls. Menampilkan fungsi respon impuls dalam bentuk grafik misalnya menampilkan koefisien $\phi_{jk}(i)$ terhadap i adalah cara praktis untuk menggambarkan secara visual perilaku *series* $\{y_t\}$ dan $\{z_t\}$ dalam responnya terhadap berbagai guncangan (*shock*). Pada prinsipnya, adalah mungkin untuk mengestimasi semua parameter pada sistem primitif (2.1) dan (2.2). Dengan pendekatan seperti itu, akan mungkin untuk menyelidiki alur waktu dari *shock* ε_{yt} atau ε_{zt} . Namun, metodologi ini tidak memungkinkan bagi peneliti karena estimasi VAR *underidentified*. Sebagaimana dijelaskan sebelumnya, hal-hal terhadap berbagai a_{ij} dan matriks variansi/ kovariansi Σ tidak cukup untuk mengidentifikasi sistem primitif. Karenanya, para ahli ekonomi harus memaksakan sebuah pembatasan tambahan pada sistem VAR dua variabel untuk mengidentifikasi respon impuls.

Salah satu pembatasan identifikasi yang direkomendasikan adalah menggunakan dekomposisi Choleski bahwa y_t tidak memiliki pengaruh serentak pada z_t . Secara formal, pembatasan ini direpresentasikan dengan menentukan $b_{21} = 0$ dalam sistem primitif. Mengacu pada (2.20), *error*nya dapat dipisahkan sebagai berikut

$$e_{1t} = \varepsilon_{yt} - b_{12}\varepsilon_{zt} \quad (2.22)$$

$$e_{2t} = \varepsilon_{zt} \quad (2.23)$$

Lebih lanjut dijelaskan bahwa jika menggunakan (2.23), semua *error* yang diamati dari $\{e_{2t}\}$ ditunjukkan terhadap *shock* ε_{zt} . Diberikan $\{\varepsilon_{zt}\}$ yang telah dihitung, hal-hal menyangkut nilai-nilai $\{\varepsilon_{zt}\}$ dan koefisien korelasi antara e_{1t} dan e_{2t} , memungkinkan kalkulasi $\{\varepsilon_{yt}\}$ menggunakan (2.22). Walaupun dekomposisi Choleski ini membatasi sistem seperti bahwa ε_{yt} tidak memiliki pengaruh langsung pada z_t , terdapat pengaruh secara tidak langsung pada nilai *lag* dari y_t yang mempengaruhi nilai serentak dari z_t . Poin pentingnya adalah bahwa dekomposisi memaksakan suatu asimetri penting pada sistem, karena *shock* ε_{zt} memiliki pengaruh serentak pada y_t dan z_t . Untuk alasan ini, (2.22) dan (2.23) dikatakan menjadi *ordering* dari variabel. Suatu guncangan (*shock*) ε_{zt} mempengaruhi secara langsung e_{1t} dan e_{2t} , tetapi suatu *shock* ε_{yt} tidak mempengaruhi e_{2t} . Karenanya, dikatakan z_t dikatakan menjadi “*casually prior*” terhadap y_t .

5. Dekomposisi Variansi

Variance decomposition merupakan metode yang sedikit berbeda untuk menganalisis dinamika sistem VAR. *Variance decomposition* memberi proporsi pergerakan dalam variabel-variabel dependen yang terkait dengan guncangan dari variabel itu sendiri, disamping terhadap *shock* dari variabel-variabel lain. Suatu *shock* terhadap variabel ke- i tentunya akan berpengaruh langsung terhadap variabel tersebut, namun juga akan ditransmisikan kepada semua variabel lainnya dalam sistem melalui struktur dinamis dari VAR. *Variance decomposition* menentukan berapa banyak s langkah ke depan mampu meramalkan *error variance* dari variabel yang dijelaskan terhadap *shock* dari variabel-variabel lain, pada $s = 1, 2, \dots$. Dalam prakteknya, biasanya *shock* dari variabel itu sendiri menjelaskan sebagian besar (peramalan) *error variance* dari sistem VAR.

VAR yang tak dikenakan pembatasan akan memuat parameter yang sangat banyak, sehingga tidak terlalu bermanfaat untuk peramalan jangka pendek. Andaikan bahwa koefisien A_0 dan A_1 diketahui dan ingin diramalkan nilai x_{t+i} pada nilai pengamatan x_t , maka menurut (Enders, 2003) memperbaharui persamaan (2.3) satu periode ($x_{t+1} = A_0 + A_1 x_t + e_{t+1}$) dan mengambil ekspektasi bersyarat dari x_{t+1} , diperoleh

$$E_t x_{t+1} = A_0 + A_1 x_t$$

Catat bahwa peramalan *error* satu tahap ke depan adalah $x_{t+1} - E_t x_{t+1} = e_{t+1}$. Dengan cara yang sama, memperbaharui dua periode, didapatkan

$$x_{t+2} = A_0 + A_1 x_{t+1} + e_{t+2}$$

$$= A_0 + A_1(A_0 + A_1A_1 + e_{t+1}) + e_{t+2}$$

Jika mengambil ekspektasi bersyarat, peramalan dua tahap ke depan dari x_{t+2} adalah

$$E_t x_{t+2} = (I + A_1)A_0 + A_1^2 x_t$$

Peramalan *error* dua tahap ke depan (misalnya perbedaan antara realisasi x_{t+2} dan hasil ramalan) adalah $e_{t+2} + A_1 e_{t+1}$. Selanjutnya, didapatkan bahwa peramalan n tahap ke depan adalah

$$E_t x_{t+n} = (I + A_1 + A_1^2 + \dots + A_1^{n-1})A_0 + A_1^{n-1} e_{t-1}$$

Dan peramalan *error* yang berhubungan adalah

$$e_{t+n} + A_1 e_{t+n-1} + A_1^2 e_{t+n-1} + \dots + A_1^{n-1} e_{t+1} \quad (2.24)$$

Dapat dipertimbangkan peramalan *error* ini dalam istilah (2.21) (bentuk VMA dari model struktural). Jika menggunakan (2.21) untuk meramalkan x_{t+1} , peramalan *error* satu tahap ke depan adalah $\phi_0 \varepsilon_{t+1}$. Secara umum

$$x_{t+n} = \mu + \sum_{i=0}^{\infty} \phi_i \varepsilon_{t+n-i}$$

Sehingga peramalan *error* n periode $x_{t+n} - E_t x_{t+n}$ adalah

$$x_{t+n} - E_t x_{t+n} = \sum_{i=0}^{n-1} \phi_i \varepsilon_{t+n-i}$$

Berfokus pada $\{y_t\}$, dapat dilihat bahwa peramalan *error* n tahap ke depan adalah

$$\begin{aligned}
y_{t+n} - E_t y_{t+n} &= \phi_{11}(0)\varepsilon_{yt+n} + \phi_{11}(1)\varepsilon_{yt+n-1} + \dots + \\
&\phi_{11}(n-1)\varepsilon_{yt+1} + \phi_{12}(0)\varepsilon_{zt+n} + \\
&\phi_{12}(1)\varepsilon_{zt+n-1} + \dots + \phi_{12}(n-1)\varepsilon_{zt+1}
\end{aligned}$$

Menotasikan variansi peramalan *error* n tahap ke depan dari y_{t+n} sebagai $\sigma_y(n)^2$:

$$\begin{aligned}
\sigma_y(n)^2 &= \sigma_y^2[\phi_{11}(n)^2 + \phi_{11}(1)^2 + \dots + \phi_{11}(n-1)^2] + \sigma_z^2[\phi_{12}(0)^2 + \\
&\phi_{12}(0)^2 + \dots + \phi_{12}(n-1)^2]
\end{aligned}$$

Karena semua nilai dari $\phi_{jk}(i)^2$ harus tidak negatif, variansi dari peramalan *error* meningkat sebagai peningkatan horison peramalan n . Selanjutnya adalah mungkin untuk memisahkan variansi peramalan *error* n tahap ke depan kedalam proporsi dalam kaitannya dengan setiap *shock*. Berturut-turut, proporsi dari $\sigma_y(n)^2$ dalam kaitannya terhadap *shock* pada $\{\varepsilon_{yt}\}$ dan $\{\varepsilon_{zt}\}$ adalah

$$\frac{\sigma_y^2[\phi_{11}(0)^2 + \phi_{11}(1)^2 + \dots + \phi_{11}(n-1)^2]}{\sigma_y(n)^2}$$

dan

$$\frac{\sigma_z^2[\phi_{12}(0)^2 + \phi_{12}(1)^2 + \dots + \phi_{12}(n-1)^2]}{\sigma_y(n)^2}$$

Dekomposisi variansi peramalan *error* memberitahukan proporsi dari pergerakan di dalam satu urutan dalam kaitannya dengan *shock*nya sendiri terhadap *shock* terhadap variabel lainnya. Jika *shock* ε_{zt} tidak menjelaskan apapun dari variansi peramalan *error* dari $\{y_t\}$ pada semua horison peramalan, dapat

dikatakan bahwa $\{y_t\}$ adalah eksogen. Dalam hal ini, $\{y_t\}$ meningkatkan dengan bebas guncangan ε_{zt} dan urutan $\{z_t\}$. Pada kondisi ekstrem lainnya, guncangan ε_{zt} dapat menjelaskan semua variansi peramalan error dalam urutan $\{y_t\}$ pada semua horison peramalan, sehingga $\{y_t\}$ akan seluruhnya endogen. Dalam penelitian terapan adalah ciri khas sebuah variabel untuk menjelaskan hampir semua dari variansi peramalan *error* ini pada horison yang pendek dan proporsi yang lebih kecil pada horison yang lebih panjang. Pola ini diharapkan jika *shock* ε_{zt} memiliki pengaruh yang kecil pada y_t tapi bertindak untuk mempengaruhi urutan $\{y_t\}$ dengan sebuah *lag*.

Dekomposisi variansi mengandung masalah sama yang tak dapat dipisahkan dalam analisis fungsi respon impuls. Untuk mengidentifikasi $\{\varepsilon_{yt}\}$ dan $\{\varepsilon_{zt}\}$, perlu untuk membatasi matriks B . Dekomposisi Choleski yang digunakan pada (2.22) dan (2.23) mengharuskan bahwa semua variansi peramalan *error* satu periode dari z_t berkaitan dengan ε_{zt} . Jika menggunakan urutan alternatif, semua variansi peramalan *error* satu periode dari z_t akan berkaitan dengan ε_{yt} . Efek dramatis dari asumsi alternatif ini adalah tereduksi pada horison peramalan yang lebih luas. Ketika n meningkat, dekomposisi variansi akan konvergen. Terlebih lagi, jika koefisien korelasi ρ_{12} berbeda dari nol secara signifikan, adalah biasa untuk menghasilkan dekomposisi variansi di bawah *ordering* yang beragam.

Meskipun demikian, analisis impuls dan dekomposisi (bersama-sama disebut "*innovation accounting*") dapat menjadi alat yang sangat berguna untuk menguji hubungan diantara variabel-variabel ekonomi. Jika korelasi diantara berbagai guncangan kecil, masalah identifikasi nampaknya tidak akan begitu

penting. *Ordering* alternatif akan menghasilkan respon impuls dan dekomposisi variansi yang mirip. Tentu, pergerakan serentak dari banyak variabel ekonomi berkorelasi dengan tinggi.

6. Kausalitas *Granger* (*Granger Causality*)

Salah satu kegunaan utama dari model VAR adalah peramalan (*forecasting*). Struktur dari model VAR menyediakan informasi mengenai kemampuan variabel atau sekelompok variabel untuk meramalkan variabel lainnya. Jika sebuah variabel atau beberapa variabel, y_1 diketahui berguna untuk memprediksi variabel lainnya atau beberapa variabel y_2 maka dikatakan bahwa y_1 adalah *granger-cause* y_2 ; atau sebaliknya jika tidak maka dikatakan gagal menjadi *granger-cause* bagi y_2 . Secara formal, y_1 bukan *granger-cause* y_2 jika untuk semua $s > 0$, MSE dari peramalan $Y_{2,t+s}$ berdasar pada $(y_{2,t}, y_{2,t-1}, \dots)$ sama dengan MSE untuk peramalan $y_{2,t+s}$ berdasar pada $(y_{2,t}, y_{2,t-1}, \dots)$ dan $(y_{1,t}, y_{1,t-1}, \dots)$.

Suatu uji kausalitas adalah uji apakah *lag* dari satu variabel masuk kedalam persamaan untuk satu variabel lainnya. Dalam sebuah model dua persamaan dengan *lag* p , $\{y_i\}$ bukan penyebab *Granger* $\{z_t\}$ jika dan hanya jika semua koefisien $A_{21}(L)$ sama dengan nol. Dengan demikian, jika $\{y_i\}$ tidak meningkatkan kinerja peramalan $\{z_t\}$, kemudian $\{y_i\}$ bukan penyebab *Granger* dari $\{z_t\}$. Jika semua variabel dalam VAR stasioner, cara langsung untuk uji kausalitas *Granger* adalah menggunakan restriksi standar uji- F .

$$a_{21}(1) = a_{21}(2) = a_{21}(3) = \dots = a_{21}(p) = 0$$

Sebuah VAR n -persamaan dapat direpresentasikan oleh

$$\begin{bmatrix} x_{1t} \\ x_{2t} \\ \vdots \\ x_{nt} \end{bmatrix} = \begin{bmatrix} A_{10} \\ A_{20} \\ \vdots \\ A_{n0} \end{bmatrix} + \begin{bmatrix} A_{11}(L) & A_{12}(L) & \cdot & A_{1n}(L) \\ A_{21}(L) & A_{22}(L) & \cdot & A_{2n}(L) \\ \vdots & \vdots & \ddots & \vdots \\ A_{n1}(L) & A_{n2}(L) & \cdot & A_{nn}(L) \end{bmatrix} \begin{bmatrix} x_{1t-1} \\ x_{2t-1} \\ \vdots \\ x_{nt-1} \end{bmatrix} + \begin{bmatrix} e_{1t} \\ e_{2t} \\ \vdots \\ e_{nt} \end{bmatrix} \quad (2.25)$$

Adalah mudah untuk generalisasi secara langsung notasi ini pada kasus n -variabel (2.25). Karena $A_{ij}(L)$ menggambarkan koefisien dari nilai *lag* variabel j pada variabel i , variabel j bukan merupakan penyebab *Granger* variabel i jika semua koefisien polinomial $A_{ij}(L)$ tidak dapat ditetapkan sama dengan nol.

model *Granger's Causality* dinyatakan dalam bentuk vektor autoregresi yang dinyatakan dalam persamaan berikut

$$y_t = \sum_{i=1}^n \alpha_i y_{t-1} + \sum_{j=1}^n \beta_j z_{t-j} + \mu_{1t}$$

$$z_t = \sum_{i=1}^m \lambda_i y_{t-1} + \sum_{j=1}^m \gamma_j z_{t-j} + \mu_{2t}$$

Hipotesis nolnya adalah $H_0: \sum_{i=1}^n \alpha_i = 0$

Untuk menguji hipotesis, digunakan uji F dengan rumus sebagai berikut:

$$F = \frac{(RSS_R - RSS_{UR})/m}{RSS_{UR}/(n - k)}$$

m adalah jumlah lag dan k jumlah parameter yang diestimasi dalam *unrestricted regression*. Jika nilai absolute F lebih besar daripada nilai kritis F tabel, maka hipotesis nol ditolak yang berarti terdapat hubungan kausalitas.⁸

⁸ Studi, Tim. 2008. *Analisis Hubungan Kointegrasi dan Kausalitas serta Hubungan Dinamis antara Aliran Modal Asing, Perubahan Nilai Tukar dan Pergerakan IHSG di Pasar Modal Indonesia*. Jakarta.

Catatan bahwa kausalitas *Granger* adalah sesuatu yang sedikit berbeda dari sebuah uji untuk eksogenitas. Untuk z_t eksogen, akan mensyaratkan bahwa z_t tidak dipengaruhi oleh nilai serentak dari y_t . Namun bagaimanapun, kausalitas *Granger* mengacu hanya pada pengaruh dari nilai lampau $\{y_t\}$ pada nilai z_t saat ini. Karenanya, kausalitas *Granger* selalu mengukur apakah nilai saat ini dan masa lampau dari $\{y_t\}$ membantu untuk meramalkan nilai yang akan datang dari $\{z_t\}$. Untuk menggambarkan perbedaan dalam istilah sebuah model VMA, pertimbangkan persamaan berikut untuk z_t :

$$z_t = \bar{z} + \phi_{21}(0)\varepsilon_{yt} + \sum_{i=0}^{\infty} \phi_{22}(i)\varepsilon_{zt-i}$$

Jika diramalkan z_{t+1} bersyarat pada nilai z_t , diperoleh peramalan *error* $\phi_{21}(0)\varepsilon_{yt+1} + \phi_{22}(0)\varepsilon_{zt+1}$. Diberikan nilai z_t , informasi mengenai y_t tidak mengurangi perkiraan kesalahan untuk z_{t+1} . Dengan kata lain, untuk model dalam pembahasan, $E_t(z_{t+1}|z_t) = E_t(z_{t+1}|z_t, y_t)$. Poin pentingnya adalah bahwa informasi tambahan yang terkandung dalam y_t hanya nilai saat ini dan masa lampau dari $\{\varepsilon_{yt}\}$. Bagaimanapun, nilai-nilai seperti itu tidak mempengaruhi z_t dan juga tidak meningkatkan kinerja peramalan z_t . Dengan demikian, $\{y_t\}$ bukan penyebab *Granger* $\{z_t\}$. Pada sisi lain, karena mengasumsikan bahwa $\phi_{21}(0)$ tidak nol, $\{z_t\}$ tidak eksogen. Jelas, jika $\phi_{21}(0)$ tidak nol, *pure shock* pada y_{t+1} (misalnya ε_{y+1}) mempengaruhi nilai z_{t+1} walaupun $\{y_t\}$ bukan penyebab *Granger* dari $\{z_t\}$.

Lebih lanjut dijelaskan bahwa sebuah uji *block exogeneity* berguna untuk mendeteksi apakah akan menyertakan sebuah variabel tambahan kedalam VAR.

Diberikan perbedaan tersebut di atas antara kausalitas dan eksogenitas, generalisasi multivariat dari uji kausalitas *Granger* ini biasanya disebut uji *block-causality*. Dalam kasus tiga variabel dengan w_t , y_t , dan z_t , menguji apakah lag penyebab *Granger* w_t mempengaruhi y_t , atau z_t . Pada dasarnya, restriksi *block-exogeneity* semua lag dari w_t pada y_t dan z_t menjadi sama dengan nol. Restriksi persamaan silang ini teruji dengan baik menggunakan uji *likelihood ratio* yang diberikan oleh $(T - c)(\log|\Sigma_r| - \log|\Sigma_u|)$. Estimasi y_t dan z_t menggunakan nilai lag dari $\{y_t\}$, $\{z_t\}$, dan $\{w_t\}$ dan nilai Σ_u . Estimasi ulang tanpa memasukkan nilai lag $\{w_t\}$ dan nilai Σ_r . Berikutnya temukan statistik perbandingan *likelihood*:

$$(T - c)(\log|\Sigma_r| - \log|\Sigma_u|)$$

Seperti pada persamaan di atas, statistik ini memiliki distribusi χ^2 dengan derajat kebebasan sama dengan $2p$ (karena nilai lag p dari $\{w_t\}$ tidak termasuk dari masing-masing persamaan). Karena $c = 3p + 1$, oleh karena persamaan y_t dan z_t memuat p lag dari $\{y_t\}$, $\{z_t\}$, dan $\{w_t\}$ ditambah sebuah konstanta.

B. Vector Error Correction Model

Engle and Granger (1987) dijelaskan dalam sebuah tulisan telah menunjukkan bahwa sebuah kombinasi linear dari dua atau lebih *series* yang tidak stasioner adalah mungkin stasioner. VECM merupakan bentuk VAR yang terestriksi. Restriksi tambahan ini harus diberikan karena keberadaan bentuk data yang tidak stasioner namun terkointegrasi. VECM kemudian memanfaatkan informasi restriksi kointegrasi tersebut kedalam spesifikasinya. Karena itulah VECM sering disebut sebagai desain VAR bagi *series* yang tidak stasioner namun memiliki hubungan kointegrasi. *Error Correction Model* (ECM) merupakan

model yang digunakan untuk mengoreksi persamaan regresi antara variabel-variabel yang secara individual tidak stasioner agar kembali ke nilai equilibriumnya di jangka panjang, dengan syarat utama berupa keberadaan hubungan kointegrasi diantara variabel-variabel penyusunnya.

Dijelaskan dalam *Multivariate Time Series Model* (2007) bahwa bentuk umum dari VECM muncul dari suatu VAR (1) adalah

$$\Delta y_t = \alpha \beta' y_{t-1} + \varepsilon_t$$

dimana y_t adalah vektor *time series* berukuran $(m \times 1)$, β adalah matriks vektor kointegrasi berukuran $(m \times r)$ (dimana r adalah *rank* kointegrasi) dan α adalah matriks koefisien berukuran $(m \times r)$. Masalah statistikalnya adalah pertama menentukan r , dan kemudian mengestimasi α dan β .

Sebagai contoh, model VAR (1) sebagaimana sebelumnya dapat dituliskan sebagai

$$\begin{pmatrix} \Delta y_{1,t} \\ \Delta y_{2,t} \end{pmatrix} = \begin{pmatrix} -1 & 1 \\ 0 & 0 \end{pmatrix} \begin{pmatrix} y_{1,t-1} \\ y_{2,t-1} \end{pmatrix} + \begin{pmatrix} \varepsilon_{1,t} \\ \varepsilon_{2,t} \end{pmatrix}$$

Yang mana dapat juga dituliskan sebagai

$$\begin{pmatrix} \Delta y_{1,t} \\ \Delta y_{2,t} \end{pmatrix} = \begin{pmatrix} -1 \\ 0 \end{pmatrix} (1 \quad -1) \begin{pmatrix} y_{1,t-1} \\ y_{2,t-1} \end{pmatrix} + \begin{pmatrix} \varepsilon_{1,t} \\ \varepsilon_{2,t} \end{pmatrix}$$

Dalam kasus ini memiliki

$$\alpha = \begin{pmatrix} -1 \\ 0 \end{pmatrix}, \beta = \begin{pmatrix} 1 \\ -1 \end{pmatrix}$$

Dengan cara yang sama, dalam kasus tiga variabel endogen, dapat dituliskan

$$\begin{pmatrix} \Delta y_{1,t} \\ \Delta y_{2,t} \\ \Delta y_{3,t} \end{pmatrix} = \begin{pmatrix} -1 \\ 0 \\ 0 \end{pmatrix} (1 \quad -1 \quad -1) \begin{pmatrix} y_{1,t-1} \\ y_{2,t-1} \\ y_{3,t-1} \end{pmatrix} + \begin{pmatrix} \varepsilon_{1,t} \\ \varepsilon_{2,t} \\ \varepsilon_{3,t} \end{pmatrix},$$

maka

$$\alpha = \begin{pmatrix} -1 \\ 0 \\ 0 \end{pmatrix}, \beta = \begin{pmatrix} 1 \\ -1 \\ -1 \end{pmatrix}$$

Sebagai contoh dimana terdapat dua vektor kointegrasi, maka memiliki

$$\begin{pmatrix} \Delta y_{1,t} \\ \Delta y_{2,t} \\ \Delta y_{3,t} \end{pmatrix} = \begin{pmatrix} -1 & 0 & 1 \\ 0 & -1 & 1 \\ 0 & 0 & 0 \end{pmatrix} \begin{pmatrix} y_{1,t-1} \\ y_{2,t-1} \\ y_{3,t-1} \end{pmatrix} + \begin{pmatrix} \varepsilon_{1,t} \\ \varepsilon_{2,t} \\ \varepsilon_{3,t} \end{pmatrix}$$

yang mana dapat dituliskan sebagai

$$\begin{pmatrix} \Delta y_{1,t} \\ \Delta y_{2,t} \\ \Delta y_{3,t} \end{pmatrix} = \begin{pmatrix} -1 & 0 \\ 0 & -1 \\ 0 & 0 \end{pmatrix} \begin{pmatrix} 1 & 0 & -1 \\ 0 & 1 & -1 \end{pmatrix} \begin{pmatrix} y_{1,t-1} \\ y_{2,t-1} \\ y_{3,t-1} \end{pmatrix} + \begin{pmatrix} \varepsilon_{1,t} \\ \varepsilon_{2,t} \\ \varepsilon_{3,t} \end{pmatrix}$$

dimana

$$\alpha = \begin{pmatrix} -1 & 0 \\ 0 & -1 \\ 0 & 0 \end{pmatrix}, \beta = \begin{pmatrix} 1 & 0 \\ 0 & 1 \\ -1 & -1 \end{pmatrix}$$

Persamaan individual dari model ini adalah

$$\Delta y_{1,t} = -(y_{1,t-1} - y_{3,t-1}) + \varepsilon_{1,t}$$

$$\Delta y_{2,t} = -(y_{2,t-1} - y_{3,t-1}) + \varepsilon_{2,t}$$

$$\Delta y_{3,t} = \varepsilon_{3,t}$$

Sebagai contoh sederhana, pertimbangkan sebuah sistem dua variabel dengan satu persamaan kointegrasi dan tidak ada *lag differencing*. Persamaan kointegrasinya adalah

$$y_{2,t} = \beta y_{1,t}$$

dan model korespondensi VEC adalah

$$\Delta y_{1,t} = \alpha_1 (y_{2,t-1} - \beta y_{1,t-1}) + \varepsilon_{1,t}$$

$$\Delta y_{2,t} = \alpha_2 (y_{2,t-1} - \beta y_{1,t-1}) + \varepsilon_{2,t}$$

Dalam model sederhana ini, hanya variabel yang berada di sisi kanan yang dikenal dengan istilah *error correction*. Dalam ekuilibrium jangka panjang, nilai tersebut adalah nol. Namun jika y_1 dan y_2 menyimpang dari periode terakhir ekuilibrium jangka panjang, maka *error correction* tidak nol dan tiap variabel menyesuaikan secara parsial kembali kedalam hubungan ekuilibrium. Koefisien γ_1 dan γ_2 mengukur kecepatan dari penyesuaian tersebut.⁹

Dalam model ini, dua variabel endogen $y_{1,t}$ dan $y_{2,t}$ akan memiliki rata-rata nol akan tetapi persamaan kointegrasi akan memiliki intersep nol. Untuk menjaga agar contoh tetap sederhana, maka fakta penggunaan *lag differencing* diabaikan, dan tidak memasukkan *lag difference* pada sisi kanan.

Jika dua variabel endogen $y_{1,t}$ dan $y_{2,t}$ tidak memiliki *trend* dan persamaan kointegrasi memiliki intersep, maka VEC memiliki bentuk

$$\begin{aligned}\Delta y_{1,t} &= \gamma_1(y_{2,t-1} - \mu - \beta y_{1,t-1}) + \varepsilon_{1,t} \\ \Delta y_{2,t} &= \gamma_2(y_{2,t-1} - \mu - \beta y_{1,t-1}) + \varepsilon_{2,t}\end{aligned}$$

Spesifikasi lain dari VEC mengasumsikan bahwa terdapat *trend* linear dalam *series* dan sebuah konstanta dalam persamaan kointegrasi, sehingga memiliki bentuk

$$\begin{aligned}\Delta y_{1,t} &= \delta_1 + (y_{2,t-1} - \mu - \beta y_{1,t-1}) + \varepsilon_{1,t} \\ \Delta y_{2,t} &= \delta_2 + (y_{2,t-1} - \mu - \beta y_{1,t-1}) + \varepsilon_{2,t}\end{aligned}$$

1. Pengujian Kointegrasi

Pertimbangkan sebuah VAR ordo p :

⁹ Software, Quantitative Micro. *EViews 5.1 User's Guide*. United States of America. Quantitative Micro Software, LLC.

$$y_t = A_1 y_{t-1} + \dots + A_p y_{t-p} + B x_t + \varepsilon_t$$

Dimana y_t adalah sebuah vektor k dari variabel yang tidak stasioner $I(1)$, x_t adalah sebuah vektor d dari variabel deterministik, dan ε_t adalah vektor dari *shock*. dapat dituliskan kembali VAR sebagai:

$$\Delta y_t = \Pi y_{t-1} + \sum_{i=1}^{p-1} \Gamma_i \Delta y_{t-i} + B x_t + \varepsilon_t$$

dimana

$$\Pi = \sum_{i=1}^p A_i - I, \Gamma_i = - \sum_{j=i+1}^p A_j$$

Teorema yang disajikan oleh Granger menyatakan bahwa jika koefisien matriks Π memiliki *rank* tereduksi $r > k$, kemudian terdapat α dan β matriks $k \times r$ masing-masing dengan *rank* r bahwa $\Pi = \alpha\beta$ dan $\beta'y_t$ stasioner. R adalah banyaknya hubungan kointegrasi (*cointegrating rank*) dan tiap-tiap kolom dari β adalah vektor kointegrasi. Elemen dari α dikenal sebagai *adjustment parameter* dalam model *vector error correction*. Metode Johansen mengestimasi matriks Π dalam sebuah bentuk tak terestriksi, kemudian diuji apakah dapat menolak pembatasan yang diimplikasikan oleh pengurangan *rank* dari Π .

2. Banyaknya Hubungan Kointegrasi

Jika terdapat sebanyak k variabel endogen, akan terdapat sebanyak $0 - (k - 1)$ hubungan kointegrasi. Jika tidak ada hubungan kointegrasi maka analisis *time series* standar VAR mungkin diterapkan pada *differencing* satu kali terhadap data. Karena terdapat sebanyak k elemen integrasi pada *series*, tingkatan *series* tidak muncul pada VAR dalam kasus ini.

Sebaliknya, jika terdapat satu persamaan kointegrasi dalam sistem, kemudian kombinasi linear tunggal dari level *series* endogen $\beta' y_{t-1}$, harus ditambahkan kedalam tiap persamaan dalam VAR. Ketika dikalikan dengan sebuah koefisien untuk satu persamaan, istilah hasil $\alpha\beta' y_{t-1}$, merujuk pada istilah *error correction*. Jika terdapat persamaan kointegrasi tambahan, masing-masing akan memberi kontribusi sebuah *error correction* yang melibatkan kombinasi linear yang berbeda pada level *series*.

Jika terdapat sebanyak k hubungan kointegrasi, tak satupun *series* memiliki akar unit, dan VAR mungkin ditetapkan dalam tingkat level untuk semua *series*. Catat bahwa dalam beberapa kasus, uji akar unit secara individual menunjukkan bahwa beberapa *series* terintegrasi, namun uji Johansen menunjukkan bahwa tingkat kointegrasinya adalah k . Kontradiksi ini mungkin adalah hasil dari spesifikasi *error*.

3. Asumsi Kecenderungan Deterministik

Persamaan kointegrasi mungkin memiliki intersep dan kecenderungan deterministik. Distribusi asimtotik dari uji LR untuk *reduced rank test* tidak memiliki distribusi χ^2 seperti biasanya dan tergantung pada asumsi yang dibuat dengan kecenderungan deterministik.

EViews menyediakan uji untuk lima kemungkinan berdasarkan oleh Johansen (1995a, pp. 80-84).

a. *Series* y tidak memiliki kecenderungan deterministik dan persamaan kointegrasi tidak memiliki intersep:

$$H_2(r): \Pi y_{t-1} + Bx_t = \alpha\beta' y_{t-1}$$

- b. *Series y* tidak memiliki kecenderungan deterministik dan persamaan kointegrasi memiliki intersep:

$$H_1^*(y): \Pi y_{t-1} + Bx_t = \alpha(\beta' y_{t-1} + \rho_0)$$

- c. *Series y* memiliki kecenderungan linear tapi persamaan kointegrasi hanya memiliki intersep:

$$H_1(r): \Pi y_{t-1} + Bx_t = \alpha(\beta' y_{t-1} + \rho_0) + \alpha_{\perp} \gamma_0$$

- d. *Series y* dan persamaan kointegrasi memiliki kecenderungan linear:

$$H^*(r): \Pi y_{t-1} + Bx_t = \alpha(\beta' y_{t-1} + \rho_0 + \rho_1 t) + \alpha_{\perp} \gamma_0$$

- e. *Series y* memiliki kecenderungan kuadratik dan persamaan kointegrasi memiliki kecenderungan linear:

$$H(r): \Pi y_{t-1} + Bx_t = \alpha(\beta' y_{t-1} + \rho_0 + \rho_1 t) + \alpha_{\perp}(\gamma_0 + \gamma_1 t)$$

dimana α_{\perp} adalah matriks $k \times (k-r)$ (*non-unique*) dengan $\alpha' \alpha_{\perp} = 0$ dan rank $([\alpha | \alpha_{\perp}]) = k$. Kelima kasus tersebut diurutkan dari yang terestriktif sampai yang paling tak restriktif, dengan tingkat kointegrasi tertentu r .

$$H_2(r) \subset H_1'(r) \subset H_1(r) \subset H^*(r) \subset H(r)$$

Dalam kerangka pemikiran Johansen, langkah pertama untuk mengestimasi sebuah VAR *unrestricted*, Johansen merekomendasikan dua uji statistik untuk menentukan tingkat kointegrasi. Yang pertama dikenal sebagai stasistik *trace*

$$\text{trace}_{(r_0/k)} = -T \sum_{i=r_0+1}^k \ln(1 - \hat{\lambda}_i)$$

Dimana $\hat{\lambda}_i$ adalah nilai eigen $\lambda_1 > \lambda_2 > \lambda_3 > \dots > \lambda_k$ dan cakupan r_0 dari 0 sampai $(k-1)$ yang diestimasi tergantung pada urutan. Ini adalah uji statistik yang relevan untuk hipotesis nol $r < r_0$ melawan hipotesis alternatif $r \geq r_0$. Statistik uji yang

kedua adalah uji *maximum eigenvalue* yang dikenal sebagai λ_{\max} dan dinotasikan sebagai $\lambda_{\max}(r_0)$. Ini berhubungan erat dengan statistik *trace* tetapi dengan mengganti hipotesis alternatif dari $r \geq r_0 + 1$ menjadi $r = r_0 + 1$. Statistik uji λ_{\max} adalah

$$\lambda_{\max}(r_0) = -T \ln(1 - \lambda_i) \text{ untuk } i = r_0 + 1$$

Hipotesis nolnya adalah bahwa ada sebanyak r vektor kointegrasi, melawan hipotesis alternatif sebanyak $r + 1$. Dijelaskan bahwa Johansen dan Juselius (1990) mengindikasikan bahwa uji *trace* mungkin menghilangkan keakuratan relatif terhadap uji *maximum eigenvalue*. Berdasarkan keakuratan pengujian, uji nilai eigen maksimum sering lebih disukai.

4. Uji Kausalitas *Granger* (*Granger-Causality Test*)

Seperti halnya pada analisis VAR di atas, dalam analisis VECM juga dimungkinkan untuk menguji hubungan kausalitas variabel-variabel yang diteliti. Berdasarkan pada Granger (1969), Y dikatakan "*Granger-cause*" dari x , jika dan hanya jika x diprediksi lebih baik dengan menggunakan nilai lampau dari y dibandingkan dengan tidak, dan begitupun dengan nilai lampau dari x yang digunakan pada kasus yang satunya. Pendek kata, jika y dapat membantu untuk meramalkan x , maka kemudian dikatakan y "*Granger-cause*" x . Jika Y menyebabkan x dan x tidak menyebabkan y , maka dikatakan terdapat hubungan satu arah dari y ke x . Jika y tidak menyebabkan x dan sebaliknya x tidak menyebabkan y , maka kemudian x dan y independen (saling bebas) secara statistik. Jika y menyebabkan x dan sebaliknya x menyebabkan y , maka kemudian dikatakan terdapat hubungan timbal balik (*feedback*) antara x dan y .

Lebih lanjut dijelaskan bahwa Granger (1969) adalah yang pertama mengusulkan uji Granger, yang mana dikembangkan oleh Sargent (1976). Untuk menerapkan uji Granger, diasumsikan sebuah *Autoregressive* dengan panjang *lag* k (atau p) dan selanjutnya mengestimasi persamaan (2.26) dan (2.27) dengan menggunakan OLS:

$$x = \lambda_1 + \sum_{i=1}^k a_{1i} x_{t-i} + \sum_{j=1}^k b_{1j} y_{t-j} + \mu_{1t} \quad (2.26)$$

$$y_t = \lambda_2 + \sum_{i=1}^p a_{2i} x_{t-i} + \sum_{j=1}^p b_{2j} y_{t-j} + \mu_{2t} \quad (2.27)$$

Time series dengan nilai rata-rata dan standar deviasi yang stabil disebut *series* stasioner. Jika proses *difference d* harus dilakukan untuk menstasionerkan data, maka ini dapat didefinisikan terintegrasi dalam ordo d . Granger (1983) mengusulkan konsep kointegrasi, dan Engle and Granger (1987) membuat analisis lebih lanjut. Jika beberapa variabel semuanya adalah *series I(d)*, kombinasi linearnya mungkin terkointegrasi, yaitu dimana kombinasi linear tersebut mungkin stasioner. Meskipun variabel-variabel tersebut kemungkinan menyimpang dari ekulibrium untuk sesaat, namun kekuatan ekonomi diperkirakan akan mengembalikannya ke ekulibrium, dengan begitu variabel-variabel tersebut cenderung akan bergerak sama-sama dalam jangka panjang tanpa tergantung pada dinamasi jangka pendek. Definisi kausalitas *Granger* berdasarkan pada hipotesis bahwa X dan Y stasioner, atau *time series I(0)*. Oleh karena itu metode *Granger* pada variabel dengan $I(1)$ tidak dapat diterapkan. Pendekatan klasik untuk variabel yang terintegrasi adalah mendeferensiasi variabel tersebut untuk membuatnya stasioner. Dalam hal tidak adanya hubungan kointegrasi, maka arah hubungan kausalitas dapat diputuskan berdasarkan pada keputusan uji- F dalam

tingkat *differencing* pertama dari VAR. VAR dalam *differencing* pertama dapat dituliskan sebagai

$$\Delta x_t = \lambda_1 + \sum_{i=1}^k a_{1i} \Delta x_{t-i} + \sum_{j=1}^k b_{1j} \Delta y_{t-j} + \mu_{1t}$$

$$\Delta y_t = \lambda_2 + \sum_{i=1}^p a_{2i} \Delta x_{t-i} + \sum_{j=1}^p b_{2j} \Delta y_{t-j} + \mu_{2t}$$

5. Fungsi Impuls Respon (*Impulse Response Function*)

Analisis fungsi respon impuls dapat diterapkan pada VECM sama halnya pada analisis VAR di atas. Salah satu perbedaan praktis dalam EViews adalah bahwa selang kepercayaan tidak tersedia ketika respon impuls dianalisis pada sebuah VECM. Tanpa selang kepercayaan maka akan sulit untuk menentukan respon impuls mana yang menunjukkan pengaruh yang signifikan. Perbedaan utama dari interpretasi antara respon impuls pada VECM dan VAR yang stasioner adalah bahwa tidak semua respon impuls dari VECM akan mendekati nol ketika horisonnya meningkat. Hal ini disebabkan oleh *shock* yang memiliki pengaruh yang permanen pada *time series* yang memiliki unit akar.

C. Inflasi

Secara sederhana inflasi diartikan sebagai meningkatnya harga-harga secara umum dan terus menerus. Dalam ilmu ekonomi, inflasi adalah suatu proses meningkatnya harga-harga secara umum dan terus-menerus (kontinu) berkaitan

dengan mekanisme pasar. Dengan kata lain, inflasi juga merupakan proses menurunnya nilai mata uang secara kontinu.¹⁰

Inflasi adalah proses dari suatu peristiwa, bukan tinggi rendahnya tingkat harga. Artinya, tingkat harga yang dianggap tinggi belum tentu menunjukkan inflasi. Inflasi adalah indikator untuk melihat tingkat perubahan, dan dianggap terjadi jika proses kenaikan harga berlangsung secara terus-menerus dan saling pengaruh-mempengaruhi. Kenaikan harga dari satu atau dua barang saja tidak dapat disebut inflasi, kecuali bila kenaikan itu meluas (atau mengakibatkan kenaikan harga) pada barang lainnya. Istilah inflasi juga digunakan untuk mengartikan peningkatan persediaan uang yang kadang kala dilihat sebagai penyebab meningkatnya harga.

Akibat buruk inflasi pada perekonomian yang oleh sebagian ahli ekonomi berpendapat bahwa inflasi yang sangat lambat berlakunya dipandang sebagai stimulator bagi pertumbuhan ekonomi. Kenaikan harga tersebut tidak secepatnya diikuti oleh kenaikan upah kerja, maka keuntungan akan bertambah. Pertambahan keuntungan akan menggalakkan investasi di masa akan datang, dan ini akan menyebabkan percepatan dalam pertumbuhan ekonomi. Tetapi jika inflasi lebih serius keadaannya, perekonomian tidak akan berkembang seperti yang diinginkan.

Pengalaman beberapa negara yang pernah mengalami hiperinflasi menunjukkan bahwa inflasi yang buruk akan menimbulkan ketidakstabilan sosial dan politik, dan tidak mewujudkan pertumbuhan ekonomi.

¹⁰ Indonesia, Wikipedia. 2010. *Inflasi*. Indonesia. Wikipedia.

Inflasi dapat disebabkan oleh dua hal, yaitu tarikan permintaan (kelebihan likuiditas/uang/alat tukar) dan yang kedua adalah desakan (tekanan) produksi dan/atau distribusi (*product of service*) dan/atau juga termasuk kurangnya distribusi. Untuk sebab pertama lebih dipengaruhi dari peran negara dalam kebijakan eksekutor yang dalam hal ini dipegang oleh pemerintah (*government*) seperti fiskal (perpajakan/ pungutan/ insentif/ disinsentif), kebijakan pembangunan infrastruktur, regulasi dan lain-lain.

Inflasi tarikan permintaan (*demand pull inflation*) terjadi akibat adanya permintaan total yang berlebihan, dimana biasanya dipicu oleh membanjirnya likuiditas di pasar, sehingga terjadi permintaan yang tinggi dan memicu perubahan pada tingkat harga. Bertambahnya volume alat tukar atau likuiditas yang terkait dengan permintaan terhadap barang dan jasa mengakibatkan bertambahnya permintaan terhadap faktor-faktor produksi tersebut. Meningkatnya permintaan terhadap faktor produksi itu kemudian menyebabkan harga faktor produksi meningkat. Jadi, inflasi ini terjadi karena suatu kenaikan dalam permintaan total sewaktu perekonomian yang bersangkutan dalam situasi *full employment*, dimana biasanya lebih disebabkan oleh rangsangan volume likuiditas di pasar yang berlebihan. Membanjirnya likuiditas di pasar juga disebabkan oleh banyak faktor, selain yang utama tentunya kemampuan Bank Sentral, sampai aksi spekulasi yang terjadi di sektor industri keuangan.

Inflasi desakan biaya (*cost push inflation*) terjadi akibat adanya kelangkaan produksi dan atau juga termasuk adanya kelangkaan distribusi, walau

permintaan secara umum tidak ada perubahan yang meningkat secara signifikan. Adanya ketidaklancaran aliran distribusi ini atau berkurangnya produksi yang tersedia dari rata-rata permintaan normal dapat memicu kenaikan harga sesuai dengan berlakunya hukum permintaan-penawaran, atau juga karena terbentuknya posisi nilai keekonomian yang baru terhadap produk tersebut akibat pola atau skala distribusi yang baru. Berkurangnya produksi sendiri bisa terjadi akibat berbagai hal seperti adanya masalah teknis pada sumber produksi (pabrik, perkebunan, dan lain-lain), bencana alam, cuaca, atau kelangkaan bahan baku untuk menghasilkan produksi tersebut, aksi spekulasi (penimbunan), dan lain-lain, sehingga memicu kelangkaan produksi yang terkait tersebut di pasaran. Begitu juga hal yang sama dapat terjadi pada distribusi, dimana dalam hal ini faktor infrastruktur memainkan peranan yang sangat penting.

Meningkatnya biaya produksi dapat disebabkan oleh dua hal, yaitu kenaikan harga, misalnya bahan baku dan kenaikan upah/gaji, misalnya kenaikan gaji PNS akan mengakibatkan usaha-usaha swasta menaikkan harga barang-barang.

Kestabilan inflasi merupakan prasyarat bagi pertumbuhan ekonomi yang berkesinambungan yang pada akhirnya memberikan manfaat bagi peningkatan kesejahteraan masyarakat. Pentingnya pengendalian inflasi didasarkan pada pertimbangan bahwa inflasi yang tinggi dan tidak stabil memberikan dampak negatif kepada kondisi sosial ekonomi masyarakat.¹¹

¹¹ Indonesia, Bank. 2008. *Pentingnya kestabilan Harga*. <http://www.bi.go.id/web/id/Moneter/Inflasi/Pengendalian+Inflasi/pentingnya.htm>.

Pertama, inflasi yang tinggi akan menyebabkan pendapatan riil masyarakat akan terus turun, sehingga standar hidup dari masyarakat turun, dan akhirnya menjadikan semua orang, terutama orang miskin menjadi bertambah miskin.

Kedua, inflasi yang tidak stabil akan menciptakan ketidakpastian (*uncertainty*) bagi pelaku ekonomi dalam mengambil keputusan. Pengalaman empiris menunjukkan bahwa inflasi yang tidak stabil akan menyulitkan keputusan masyarakat dalam melakukan konsumsi, investasi, dan produksi, yang pada akhirnya akan menurunkan pertumbuhan ekonomi.

Ketiga, tingkat inflasi yang lebih tinggi dibandingkan tingkat inflasi di negara tetangga menjadikan tingkat bunga domestik riil menjadi tidak kompetitif sehingga dapat memberikan tekanan pada nilai rupiah.

Pengelompokan inflasi yang diukur dengan IHK di Indonesia dikelompokkan ke dalam 7 kelompok pengeluaran (berdasarkan *the Classification of Individual Consumption by Purpose-COICOP*), yaitu:

1. Kelompok bahan makanan
 2. Kelompok makanan jadi, minuman, dan tembakau
 3. Kelompok perumahan
 4. Kelompok sandang
 5. Kelompok kesehatan
 6. Kelompok pendidikan dan olahraga
 7. Kelompok transportasi dan komunikasi
-

Disamping pengelompokan berdasarkan COICOP tersebut, BPS saat ini juga mempublikasikan inflasi berdasarkan pengelompokan yang lainnya yang dinamakan disagregasi inflasi. Disagregasi inflasi tersebut dilakukan untuk menghasilkan suatu indikator inflasi yang lebih menggambarkan pengaruh dari faktor yang bersifat fundamental.

Di Indonesia, disagregasi inflasi IHK tersebut dikelompokkan menjadi:

1. Inflasi inti, yaitu komponen inflasi yang cenderung menetap atau persisten (*persistent component*) di dalam pergerakan inflasi dan dipengaruhi oleh faktor fundamental, seperti:
 - a. Interaksi permintaan-penawaran
 - b. Lingkungan eksternal: nilai tukar, harga komoditi internasional dan inflasi mitra dagang
 - c. Ekspektasi inflasi dari pedagang dan konsumen
2. Inflasi non inti, yaitu komponen inflasi yang cenderung tinggi volatilitasnya karena dipengaruhi oleh selain faktor fundamental. Komponen inflasi non inti terdiri dari:
 - a. Inflasi Komponen Bergejolak (*Volatile Food*): inflasi yang dominan dipengaruhi oleh *shock* (kejutan) dalam kelompok bahan makanan seperti panen, gangguan alam, atau faktor perkembangan harga komoditas pangan domestik maupun perkembangan harga komoditas pangan internasional.
 - b. Inflasi Komponen harga yang Diatur Pemerintah (*Administered Prices*): inflasi yang dominan dipengaruhi oleh *shock* (kejutan) berupa kebijakan

harga pemerintah, seperti harga BBM bersubsidi, tarif listrik, tarif angkutan, dan lain-lain.

Inflasi dapat digolongkan menjadi dua, yaitu inflasi yang bersal dari dalam negeri dan inflasi yang berasal dari luar negeri. Inflasi berasal dari dalam negeri misalnya terjadi akibat defisit anggaran belanja yang dibiayai dengan cara mencetak uang baru danagalnya pasar yang berakibat harga bahan makanan menjadi mahal. Sementara itu, inflasi dari luar negeri adalah inflasi yang terjadi sebagai akibat naiknya harga barang impor. Hal ini bisa terjadi akibat biaya produksi barang di luar negeri tinggi atau adanya kenaikan tarif impor barang.¹²

Inflasi juga dapat dibagi berdasarkan besarnya cakupan pengaruh terhadap harga. Jika kenaikan harga yang terjadi hanya berkaitan dengan satu atau dua barang tertentu, inflasi itu disebut inflasi tertutup (*closed inflation*). Namun, apabila kenaikan harga terjadi pada semua barang secara umum, maka inflasi itu disebut sebagai inflasi terbuka (*open inflation*). Sedangkan apabila serangan inflasi demikian hebatnya sehingga setiap harga-harga terus berubah dan meningkat sehingga orang tidak dapat menahan uang lebih lama disebabkan nilai uang terus merosot disebut inflasi yang tidak terkendali (*hyperinflation*).

Berdasarkan keparahannya, inflasi juga dapat dibedakan:

1. Inflasi ringan (kurang dari 10% / tahun)
2. Inflasi sedang (antara 10% sampai 30% / tahun)
3. Inflasi berat (antara 30% sampai 100% / tahun)

¹² Indonesia, Wikipedia. 2010. *Inflasi*. Indonesia. Wikipedia.

4. Hiperinflasi (lebih dari 100% / tahun)

Indikator yang sering digunakan untuk mengukur tingkat inflasi adalah Indeks Harga Konsumen (IHK). Perubahan IHK dari waktu ke waktu menunjukkan pergerakan harga dari paket barang dan jasa yang dikonsumsi masyarakat. Sejak Juli 2008, paket barang dan jasa dalam keranjang IHK telah dilaksanakan oleh Badan Pusat Statistik (BPS). Kemudian BPS akan memonitor perkembangan harga dari barang dan jasa tersebut secara bulanan di beberapa kota, di pasar tradisional dan moderen terhadap beberapa jenis barang/jasa di setiap kota.¹³

Indikator inflasi lainnya berdasarkan *international best practice* adalah:

1. Indeks Harga Perdagangan Besar (IHPB). Harga Perdagangan Besar dari suatu komoditas ialah harga transaksi yang terjadi antara penjual/pedagang besar pertama dengan pembeli/pedagang besar berikutnya dalam jumlah besar pada pasar pertama atas suatu komoditas.
2. Deflator Produk Domestik Bruto (PDB) menggambarkan pengukuran level harga barang akhir (*final goods*) dan jasa yang diproduksi di dalam suatu ekonomi (negeri). Deflator PDB dihasilkan dengan membagi PDB atas dasar harga nominal dengan PDB atas dasar harga konstan.

¹³ Indonesia, Bank. 2008. *Disagregasi Inflasi*. <http://www.bi.go.id/web/id/Moneter/Inflasi/Pengenalan+Inflasi/disagregasi.htm>

D. Produk Domestik Regional Bruto

Produk Domestik Regional Bruto adalah jumlah produk barang dan jasa yang dihasilkan di dalam suatu wilayah negara (domestik), baik itu perusahaan asing maupun domestik dalam jangka waktu selama satu tahun.¹⁴

E. Kurs Rupiah

Kurs rupiah atau nilai tukar rupiah adalah harga rupiah terhadap mata uang negara lain (mata uang asing). Transmisi perubahan nilai tukar rupiah ke inflasi dapat melalui dua saluran.

Pertama melemahnya nilai tukar rupiah akan menaikkan biaya produksi yang memakai barang impor sehingga menaikkan harga. Tekanan harga ini akan diperburuk jika para buruh melakukan desakan kenaikan upah nominal dalam rangka mempertahankan upah riilnya.

Kedua, harga *nontradable goods* yang relatif lebih murah dibandingkan harga *tradable goods* sehingga meningkatkan harga domestik. Kenaikan harga ini akan dipicu lagi jika suku bunga relatif rendah. Sasaran akhir dari pengendalian moneter dalam sistem nilai tukar fleksibel adalah inflasi. Jenis inflasi yang digunakan untuk mengukur efektivitas kebijakan moneter biasanya *underlying inflation* seperti yang digunakan oleh negara-negara yang menerapkan *inflation targeting*.¹⁵

¹⁴ Arianus. 2010. *Pendapatan Nasional*. <http://www.arianus.wordpress.com/>.

¹⁵ Santoso, Wijoyo. 1999. *Pengendalian Moneter dalam Sistem Nilai Tukar yang Fleksibel*. Jakarta: Kepala Bagian Studi Ekonomi Makro, DKM-BI.

F. BI rate

BI rate adalah suku bunga kebijakan yang mencerminkan sikap atau *stance* kebijakan moneter yang ditetapkan oleh Bank Indonesia dan diumumkan kepada publik.

BI rate diumumkan oleh dewan gubernur Bank Indonesia setiap rapat dewan gubernur bulanan dan diimplementasikan pada operasi moneter yang dilakukan Bank Indonesia melalui pengelolaan likuiditas (*liquidity management*) di pasar uang untuk mencapai sasaran operasional kebijakan moneter.¹⁶

Dengan mempertimbangkan pula faktor-faktor lain dalam perekonomian, Bank Indonesia pada umumnya akan menaikkan BI rate apabila inflasi ke depan diperkirakan melampaui sasaran yang telah ditetapkan.

G. Jumlah Uang Yang Beredar (M1)

M1 diartikan sebagai uang tunai (uang kartal dan logam) yang dipegang oleh masyarakat, tidak termasuk uang yang ada di kas bank serta kas negara. Uang tersebut dikenal dengan uang kartal. Kemudian ditambah uang yang berada dalam rekening giro perbankan yang dapat langsung digunakan untuk menguangkan cek, dan biasa disebut dengan uang giral, sehingga bentuk persamaan M1 adalah :

$$M1 = C + DD$$

Dimana: M1 = uang dalam arti sempit

C = currency, uang kartal

DD = Demand deposit, uang kartal

¹⁶ Indonesia, Bank. 2008. *Penjelasan BI rate sebagai Suku Bunga Acuan*. <http://www.bi.go.id/web/id/Moneter/BI+Rate/Penjelasan+BI+Rate/>

H. Kerangka Berpikir

Adanya ekspektasi inflasi kedepan yang diantisipasi melalui kebijakan suku bunga akan berpengaruh terhadap aliran modal. Perubahan suku bunga juga akan mempengaruhi harga aset yang berujung pada pengaruhnya terhadap kegiatan impor. Aliran modal dan aktivitas impor akan mempengaruhi *overall* BOP. Adanya defisit pada *overall* BOP akan memaksa pemerintah menggunakan cadangan devisa untuk membiayai defisit tersebut. Cadangan devisa ini selanjutnya mempengaruhi jumlah uang beredar di masyarakat. Sebaliknya, meningkatnya jumlah uang beredar di masyarakat akan meningkatkan permintaan agregat (konsumsi). Laju penawaran agregat/ penawaran konstan jangka pendek yang lebih kecil dari konsumsi akan mempengaruhi tingkat harga yang berakibat pada laju inflasi.

Adanya ekspektasi inflasi kedepan yang diantisipasi melalui kebijakan suku bunga akan berpengaruh terhadap aliran modal masuk dan keluar. Di lain pihak perubahan suku bunga akan mempengaruhi harga aset yang berujung pada pengaruhnya terhadap kegiatan ekspor impor dalam suatu negara. Aliran modal dan aktivitas ekspor impor akan mempengaruhi *overall* BOP yang berujung terhadap pengaruhnya pada nilai tukar kurs rupiah dengan mata uang asing. Adanya perubahan pada kurs rupiah akan berpengaruh terhadap cadangan devisa negara yang berakibat pada pengaruhnya terhadap jumlah uang beredar di masyarakat. Di lain pihak kurs rupiah juga akan berpengaruh terhadap kegiatan ekspor impor. Pengaruh pada jumlah uang beredar dan kegiatan ekspor impor ini

akan berujung pada perubahan tingkat harga yang akan mempengaruhi tingkat inflasi.

Perubahan pada BI rate akan mempengaruhi harga aset seperti saham dan obligasi. Naiknya BI rate akan menurunkan harga aset yang selanjutnya akan berpengaruh pada pendapatan riil masyarakat. Meningkatnya pendapatan riil masyarakat akan meningkatkan kegiatan konsumsi seperti pembelian barang-barang impor, begitupun sebaliknya. Adanya pengaruh pada kegiatan impor juga akan mempengaruhi aktivitas ekspor. Harga barang-barang impor akan mempengaruhi biaya produksi barang-barang yang menggunakan bahan baku impor. Hal ini akan mempengaruhi tingkat harga yang berujung pada pengaruhnya terhadap inflasi. Tingginya fluktuasi pada inflasi akan berujung pada ekspektasi besarnya inflasi di masa mendatang yang akan mendorong BI untuk menetapkan ulang tingkat BI rate untuk mengantisipasi ekspektasi inflasi kedepan.

Adanya perubahan nilai tukar rupiah terhadap mata uang asing akan berakibat terhadap jumlah cadangan devisa dalam suatu negara. Adanya perubahan pada cadangan devisa ini akan mempengaruhi jumlah uang beredar di masyarakat. Sebaliknya, jumlah uang beredar (likuiditas) di pasar dapat dikontrol melalui kebijakan suku bunga BI rate. Perubahan pada tingkat suku bunga ini selanjutnya juga akan mempengaruhi aliran modal yang berujung pada *overall* BOP yang akhirnya berpengaruh terhadap nilai tukar kurs rupiah.

Meningkatnya pendapatan riil masyarakat akibat pengaruh BI rate akan mendorong masyarakat untuk membeli barang impor. Hal ini mengakibatkan

defisit *overall* BOP, ditambah lagi apabila MPI (*Imarginal Propensity to Import*) semakin besar. Adanya defisit *overall* BOP mengakibatkan pemerintah harus menggunakan cadangan devisa untuk membiayai defisit tersebut. Penurunan pada cadangan devisa ini akan mengakibatkan berkurangnya jumlah uang beredar di masyarakat. Meningkatnya jumlah uang beredar di masyarakat akan meningkatkan permintaan agregat (konsumsi). Laju penawaran agregat/ penawaran konstan jangka pendek yang lebih kecil dari konsumsi akan mempengaruhi tingkat harga yang berakibat pada ekspektasi inflasi kedepan. Hal ini diantisipasi melalui kebijakan perubahan pada BI rate oleh Bank Indonesia (BI).

BI rate akan mempengaruhi masuk dan keluarnya aliran modal ke dalam dan luar negeri. Di lain pihak pengaruh secara tidak langsung BI rate terhadap konsumsi masyarakat akan mempengaruhi kegiatan impor dan ekspor suatu negara. Aliran modal dan kegiatan ekspor impor ini akan berpengaruh terhadap *overall* BOP. Adanya pengaruh pada *overall* BOP akan mempengaruhi nilai tukar kurs rupiah terhadap mata uang asing. Sebaliknya, apresiasi dan depresiasi kurs rupiah juga berpengaruh terhadap *overall* BOP yang berujung pada pengaruhnya pada jumlah uang beredar di masyarakat. Selain itu perubahan nilai tukar rupiah akan berakibat pada kegiatan ekspor impor. Hal ini selanjutnya akan mempengaruhi tingkat harga yang berujung pada ekspektasi inflasi yang diantisipasi melalui kebijakan suku bunga BI rate.

Sebenarnya masih ada banyak sekali variabel ekonomi yang terlibat dalam dunia ekonomi. Hal ini diakibatkan kompleksitas dunia ekonomi dalam kehidupan

sehari-hari yang berhubungan dengan semua aspek-aspek kehidupan masyarakat. Variabel-variabel ekonomi di atas dapat gambarkan dalam sebuah bagan alur seperti dibawah ini. Adapun empat variabel yang akan diteliti dalam penelitian ini ditandai dengan kotak berwarna hijau, dimana arah panahnya menunjukkan arah hubungan diantara variabel-variabel yang terlibat.

I. Hipotesis Penelitian

Dengan mengacu pada rumusan masalah, tinjauan pustaka, beberapa penelitian terdahulu dan kerangka berfikir yang telah diuraikan sebelumnya di atas, maka hipotesis yang diajukan dalam penelitian ini adalah:

1. Diduga terdapat hubungan kausalitas dua arah antara inflasi dan jumlah uang beredar (M1) (*two-ways causality*),
2. Diduga terdapat hubungan kausalitas dua arah antara inflasi dan nilai tukar kurs dollar US terhadap kurs rupiah (*two-ways causality*),
3. Diduga terdapat hubungan kausalitas dua arah antara inflasi dan BI rate (*two-ways causality*),
4. Diduga terdapat hubungan kausalitas dua arah antara jumlah uang beredar (M1) dan nilai tukar kurs dollar US terhadap kurs rupiah (*two-ways causality*),
5. Diduga terdapat hubungan kausalitas dua arah antara jumlah uang beredar (M1) dan BI rate (*two-ways causality*),
6. Diduga terdapat hubungan kausalitas dua arah antara nilai tukar kurs dollar US terhadap kurs rupiah dan BI rate (*two-ways causality*).

BAB III METODE PENELITIAN

A. Jenis penelitian

Penelitian ini ditinjau dari penggunaan hasilnya yang merupakan penelitian terapan dimana dimaksudkan untuk memperbaiki praktek-praktek yang ada, meningkatkan efisiensi dan efektifitas. Ditinjau dari tujuannya, penelitian ini adalah penelitian verifikatif, dimana penulis melakukan serangkaian pengujian dengan studi perbandingan. Sedangkan ditinjau dari taraf penelitian, maka penelitian ini bersifat inferensial, dimana penulis menarik kesimpulan melalui serangkaian pengujian hipotesis.

B. Lokasi Penelitian

Penelitian ini dilaksanakan di Bank Indonesia (BI) provinsi Sulawesi Selatan.

C. Objek Penelitian

Penelitian ini menggunakan data sekunder, yaitu data yang diperoleh secara tidak langsung, berupa data dokumentasi dari lembaga terkait. Objek dalam penelitian ini adalah tingkat inflasi di provinsi Sulawesi Selatan dalam hubungannya dengan jumlah uang yang beredar (M1), nilai tukar kurs US dollar terhadap kurs rupiah dan BI rate tahun 2005-2010.

D. Instrumen Penelitian

Berdasarkan penelitian peneliti kali ini, maka jenis instrumen yang digunakan adalah dokumentasi, dari asal kata dokumen, yang berarti barang-barang tertulis. Dalam penelitian ini, peneliti melaksanakan metode dokumentasi

dengan menyelidiki benda-benda tertulis berupa dokumen yang didapat dari *website* resmi instansi terkait.

E. Teknik Pengumpulan Data

Pengumpulan data adalah prosedur statistik dan standar untuk memperoleh data yang diperoleh. Teknik pengumpulan data yang digunakan dalam penelitian ini adalah teknik pengumpulan data dengan dokumen, dimana dokumen bisa berupa tulisan, gambar, atau karya-karya monumental lainnya. Dokumen yang dipilih harus memiliki kredibilitas tinggi.¹⁷

Dokumen atau data yang digunakan dalam penelitian ini berupa data sekunder time series yang diperoleh dari website resmi instansi terkait, yaitu situs Bank Indonesia, www.bi.go.id. Adapun data yang digunakan dalam penelitian ini adalah:

1. Data inflasi provinsi Sulawesi Selatan tahun 2005-2010.
2. Data jumlah uang yang beredar (M1) provinsi Sulawesi Selatan tahun 2005-2010.
3. Data nilai tukar kurs US dollar terhadap kurs rupiah tahun 2005-2010.
4. Data BI rate tahun 2005-2010.

¹⁷ Suzanti, Lizza. 2009. *Menyusun Karya Tulis Ilmiah*. Jakarta. Pelatihan Karya Tulis Ilmiah.

F. Definisi Operational Variabel

Adapun variabel-variabel yang terlibat dalam penelitian ini adalah:

1. Laju Inflasi

Data inflasi yang digunakan adalah data tingkat inflasi yang dirilis oleh Bank Indonesia (BI) yang diolah berdasarkan data yang diperoleh dari Badan Pusat Statistik (BPS) dalam satuan persen.

2. Jumlah Uang Yang Beredar (M1)

Data Jumlah Uang Yang Beredar (M1) yang digunakan adalah data yang dirilis oleh Bank Indonesia (BI) dalam satuan jutaan rupiah.

3. Nilai tukar kurs US dollar terhadap kurs rupiah

Data nilai tukar kurs US dollar terhadap kurs rupiah yang digunakan diperoleh dari data yang dirilis oleh Bank Indonesia (BI) dalam satuan ribuan rupiah.

4. BI rate

Data BI rate yang digunakan diperoleh dari data yang dirilis oleh Bank Indonesia (BI) dalam satuan persen.

G. Prosedur Penelitian

Untuk mencapai tujuan penelitian yang tertera pada pendahuluan, maka langkah-langkah yang ditempuh adalah sebagai berikut :

1. Mengumpulkan data-data yang berkaitan terhadap variabel-variabel yang akan diteliti
2. Melakukan analisis dengan menggunakan analisis *multivariate time series Vector Auto Regression (VAR)* dikombinasikan dengan model *Vector Error*

Correction (VEC) dengan menggunakan software statistika, EViews 7.0 sebagai berikut:

a. Uji Akar Unit (*Unit Root Test*)

Langkah pertama di dalam analisis VAR di EViews setelah penginputan data adalah menguji kestasioneran data dengan menggunakan uji akar unit (*Unit Root Test*). Metode pengujian yang digunakan untuk melakukan uji stasioneritas adalah uji ADF dengan panjang lag maksimum 5. Jika nilai t -ADF lebih kecil daripada nilai kritis MacKinnon (1996) maka dapat disimpulkan data yang kita gunakan tidak mengandung akar unit (stasioner).

b. Penentuan ordo model

Kriteria pemilihan ordo optimum dilakukan dengan menggunakan statistik FPE, AIC, SC, maupun HQ. Model yang baik adalah model yang mampu memberikan tingkat residual *error* yang paling kecil. Dalam hal ini diwakilkan dengan nilai-nilai statistik tersebut yang paling kecil.

c. Pengujian Kointegrasi

Dengan menggunakan ordo optimum yang telah diperoleh maka selanjutnya dilakukan uji kointegrasi dengan menggunakan *Johansen's Cointegration Test*. Sebelum dilakukan pengujian kointegrasi, maka terlebih dahulu dilakukan uji kecenderungan deterministik, untuk melihat kecenderungan data.

d. Estimasi VEC

Setelah penentuan ordo maksimum dan adanya hubungan kointegrasi dari data *series* nonstasioner, maka selanjutnya dilakukan estimasi VEC terhadap data *series* empat variabel yang diteliti. Signifikan atau tidaknya *lag* dari suatu variabel terhadap variabel endogen lainnya dapat dievaluasi menggunakan nilai mutlak dari statistik-*t* (nilai yang berada dalam tanda kurung [...]). Sebagai perbandingan dapat digunakan kriteria nilai kritis $t_0 = 2$ atau 1.96.

Penilaian mengenai kebaikan model yang diperoleh disajikan dalam suatu penggalan output. Karena ada beberapa persamaan dalam model VEC seperti halnya pada VAR, yaitu sebanyak variabel/ *series* yang terlibat, maka dihasilkan ringkasan *goodness of fit* dari setiap variabel. Besaran yang ada antara lain adalah nilai R^2 yang identik dengan R^2 pada model regresi biasa. Semakin besar nilainya, tentu saja semakin baik model yang didapatkan. Terdapat juga besaran yang menilai *goodness of fit* secara keseluruhan. Nilai ini berguna, jika nantinya akan dibandingkan dengan model VAR yang lain. Besaran yang digunakan adalah AIC dan SC dimana model yang lebih bagus adalah model dengan nilai AIC dan SC yang lebih kecil.

e. Pengujian Kausalitas *Granger* (*Granger Causality Test*)

Uji kausalitas *Granger* digunakan untuk melihat arah hubungan antara variabel-variabel yang diamati. Untuk menguji hipotesis, digunakan uji F dengan rumus sebagai berikut:

$$F = \frac{(RSS_R - RSS_{UR})/m}{RSS_{UR}/(n - k)}$$

m adalah jumlah lag dan k jumlah parameter yang diestimasi dalam *unrestricted regression*. Jika nilai absolute F lebih besar daripada nilai kritis F tabel, maka hipotesis nol ditolak yang berarti terdapat hubungan kausalitas.

f. Pengujian Stabilitas VAR

Sebelum dilakukan analisis lebih jauh, maka stabilitas VAR perlu diuji karena jika hasil estimasi VAR tidak stabil akan menyebabkan analisis IRF dan DFEV menjadi tidak valid. Untuk menguji stabil atau tidaknya estimasi VAR yang telah dibentuk maka dilakukan VAR *Stability Condition Check* berupa *Roots of Characteristic Polynomial*. Suatu sistem VAR dikatakan stabil jika seluruh *roots*-nya memiliki modulus lebih kecil dari satu. Dalam analisis VAR, akan ada sebanyak kp akar, dimana k adalah jumlah variabel endogen dan p adalah lag terpanjangnya.

g. Analisis *Impulse Response Function*

Shock yang terjadi pada variabel ke- i tidak hanya secara langsung berdampak pada nilai variabel ke- i tersebut, namun juga “ditularkan” kepada semua variabel endogen yang ada dalam struktur dinamis VAR. *Impulse Response Function* melacak pengaruh/ efek dari *shock* pada waktu tertentu dari nilai e_t (inovasi) terhadap nilai variabel endogen saat ini dan masa akan datang.

h. *Analisis Variance Decomposition*

Jika *Impulse Response Function* melacak pengaruh dari adanya *shock* pada salah satu variabel endogen terhadap variabel lain yang ada dalam VAR, *Variance Decomposition* (penguraian variansi) memisahkan keragaman pada variabel endogen menjadi komponen-komponen *shock* yang ada dalam sistem VAR. Jadi, penguraian variansi ini dapat menghasilkan informasi mengenai tingkat kepentingan/ kontribusi setiap inovasi acak (e_t) dalam mempengaruhi besarnya nilai-nilai variabel dalam VAR.

i. *Granger Causality tests*

Granger Causality digunakan untuk memeriksa apakah nilai *lag* dari suatu variabel dapat dipakai untuk memprediksi variabel lain. Dengan kata lain uji kausalitas ini dilakukan untuk melihat bagaimana hubungan kausalitas antar variabel.

3. Menyimpulkan hasil analisis yang diperoleh, berdasarkan hasil analisis data yang telah dilakukan sebelumnya.

BAB IV HASIL DAN PEMBAHASAN

A. Uji Akar Unit (*Unit Root Test*)

Uji akar unit ini digunakan untuk melihat apakah data yang diamati stasioner atau tidak. Metode pengujian yang digunakan untuk melakukan uji stasioneritas adalah uji ADF (*Augmented Dickey-Fuller*) dengan panjang *lag* maksimum 5. Jika nilai *t*-ADF lebih kecil daripada nilai kritis MacKinnon (1996) maka dapat disimpulkan data yang digunakan tidak mengandung akar unit (stasioner). Berikut adalah output hasil uji akar unit pada keempat variabel.

1. Uji Akar Unit (*Unit Root Test*) untuk Variabel BI rate

Tabel 4.1. Augmented Dickey-Fuller Unit Root Test on BI rate

Null Hypothesis: BI rate has a unit root
Exogenous: Constant
Lag Length: 1 (Automatic based on SIC, MAXLAG=5)

	t-Statistic	Prob.*
Augmented Dickey-Fuller test statistic	-2.048454	0.2659
Test critical values: 5% level	-2.926622	

*MacKinnon (1996) one-sided p-values.

Dari tabel hasil uji akar unit untuk variabel BI rate di atas dapat dilihat bahwa variabel BI rate tidak stasioner pada tingkat level. Hal ini ditunjukkan pada nilai ADF *test statistic* yang hanya sebesar -2.048454 yang tidak lebih kecil dari semua nilai kritis Mackinnon pada semua tingkat kesalahan α 5 persen, yaitu yang nilainya hanya sebesar -2,926622.

2. Uji Akar Unit (*Unit Root Test*) untuk Variabel KURS

Tabel 4.2. Augmented Dickey-Fuller Unit Root Test on KURS

Null Hypothesis: KURS has a unit root

Exogenous: Constant

Lag Length: 0 (Automatic based on SIC, MAXLAG=5)

	t-Statistic	Prob.*
Augmented Dickey-Fuller test statistic	-1.868496	0.3439
Test critical values: 5% level	-2.925169	

*MacKinnon (1996) one-sided p-values.

Dari tabel hasil uji akar unit untuk variabel KURS di atas dapat dilihat bahwa variabel KURS tidak stasioner pada tingkat level. Hal ini ditunjukkan pada nilai ADF *test statistic* yang hanya sebesar -1.868496 yang tidak lebih kecil dari semua nilai kritis Mackinnon pada semua tingkat kesalahan α 5 persen, yaitu yang nilainya hanya sebesar -2,925169.

3. Uji Akar Unit (*Unit Root Test*) untuk Variabel M1

Tabel 4.3. Augmented Dickey-Fuller Unit Root Test on M1

Null Hypothesis: M1 has a unit root

Exogenous: Constant

Lag Length: 0 (Automatic based on SIC, MAXLAG=5)

	t-Statistic	Prob.*
Augmented Dickey-Fuller test statistic	-0.824557	0.8027
Test critical values: 5% level	-2.925169	

*MacKinnon (1996) one-sided p-values.

Dari tabel hasil uji akar unit untuk variabel M1 di atas dapat dilihat bahwa variabel M1 tidak stasioner pada tingkat level. Hal ini ditunjukkan pada nilai ADF *test statistic* yang hanya sebesar -0.824557 yang tidak lebih kecil dari semua nilai

kritis Mackinnon pada semua tingkat kesalahan α 5 persen, yaitu yang nilainya hanya sebesar -2,925169.

4. Uji Akar Unit (*Unit Root Test*) untuk Variabel INFLASI

Tabel 4.4. Augmented Dickey-Fuller Unit Root Test on INFLASI

Null Hypothesis: INFLASI has a unit root
 Exogenous: Constant
 Lag Length: 0 (Automatic based on SIC, MAXLAG=5)

	t-Statistic	Prob.*
Augmented Dickey-Fuller test statistic	-6.515404	0.0000
Test critical values: 5% level	-2.925169	

*MacKinnon (1996) one-sided p-values.

Dari tabel hasil uji akar unit untuk variabel INFLASI di atas dapat dilihat bahwa variabel INFLASI stasioner pada tingkat level. Hal ini ditunjukkan pada nilai *ADF test statistic* sebesar -6.515404 yang lebih kecil dari semua nilai kritis Mackinnon pada semua tingkat kesalahan α 5 persen, yaitu yang nilainya hanya sebesar -2,925169. Hal ini juga menunjukkan bahwa variabel INFLASI stasioner pada tingkat kesalahan α 5 persen.

Dari hasil uji akar unit untuk keempat variabel di atas dapat dilihat bahwa tidak semua variabel stasioner pada tingkat level, hanya inflasi yang stasioner pada tingkat level, sedangkan tiga variabel lainnya yaitu BI RATE, KURS dan M1 tidak stasioner pada tingkat level. Pertanyaan yang muncul adalah apakah variabel-variabel yang tidak stasioner tersebut harus distasionerkan? Jawaban dari pertanyaan tersebut adalah antara hilangnya efisiensi atau hilangnya informasi. Model VAR yang ditetapkan pada tingkat level ketika *time series* tidak stasioner akan menghasilkan estimasi yang lancung (*spurious*). Namun di lain

pihak, model VAR yang ditetapkan dengan *differencing* ketika *series* tidak stasioner akan menghasilkan estimasi yang efisien, namun akan mengabaikan kemungkinan adanya hubungan jangka panjang, sehingga beresiko akan hilangnya informasi.

B. Penentuan Ordo Model

Pengujian panjang *lag* optimal ini sangat berguna untuk menghilangkan masalah autokorelasi dalam sistem VAR. Sehingga dengan digunakannya *lag* optimal diharapkan tidak lagi muncul masalah autokorelasi. Adapun kriteria penentuan *lag* optimal ditentukan berdasarkan *lag* terpendek dan standar Akaike Information Criterion (AIC) terkecil. Hasil pengujian penentuan *lag* optimal terlampir pada Tabel 5 di bawah ini:

Tabel 4.5. VAR Lag Order Selection Criteria

Lag	LogL	LR	FPE	AIC	SC	HQ
0	-1002.740	NA	2.55e+15	46.82511	46.98894	46.88552
1	-845.9268	277.1579	3.66e+12	40.27567	41.09483	40.57775
2	-810.4248	56.14273*	1.51e+12*	39.36859*	40.84309*	39.91234*
3	-804.0094	8.951698	2.48e+12	39.81439	41.94421	40.59980
4	-789.1212	18.00431	2.90e+12	39.86610	42.65126	40.89318
5	-773.7691	15.70913	3.59e+12	39.89624	43.33672	41.16498

Pada *output* EViews untuk penentuan panjang *lag* optimum di atas dapat dilihat bahwa menurut kriteria panjang *lag* optimum (LR, FPE, AIC, SC, dan HQ) maka panjang *lag* optimum yang dipilih adalah *lag* 2, hal ini dilihat dari nilai minimum pada tiap kriteria, yang ditandai oleh *.

C. Pengujian Kointegrasi

Berdasarkan panjang *lag* diatas, dilakukan uji kointegrasi untuk mengetahui apakah akan terjadi keseimbangan dalam jangka panjang, yaitu terdapat kesamaan pergerakan dan stabilitas hubungan diantara variabel-variabel di dalam penelitian ini atau tidak. Dalam penelitian ini dilakukan uji kointegrasi karena adanya data yang tidak stasioner pada tingkat level, dengan adanya hubungan kointegrasi maka analisis akan menggunakan model *Vector Correction Model* (VEC).

Tabel 4.6. Johansen Cointegration Test

Unrestricted Cointegration Rank Test (Trace)

Hypothesized No. of CE(s)	Eigenvalue	Trace Statistic	0.05 Critical Value	Prob.**
None *	0.545747	69.10771	54.07904	0.0013
At most 1	0.279450	33.59819	35.19275	0.0736
At most 2	0.220772	18.84988	20.26184	0.0773
At most 3	0.155858	7.624552	9.164546	0.0972

Trace test indicates 1 cointegrating eqn(s) at the 0.05 level

* denotes rejection of the hypothesis at the 0.05 level

**Mackinnon-Haug-Michelis (1999) p-values

Unrestricted Cointegration Rank Test (Maximum Eigenvalue)

Hypothesized No. of CE(s)	Eigenvalue	Max-Eigen Statistic	0.05 Critical Value	Prob.**
None *	0.545747	35.50952	28.58808	0.0055
At most 1	0.279450	14.74831	22.29962	0.3960
At most 2	0.220772	11.22533	15.89210	0.2356
At most 3	0.155858	7.624552	9.164546	0.0972

Max-eigenvalue test indicates 1 cointegrating eqn(s) at the 0.05 level

* denotes rejection of the hypothesis at the 0.05 level

**Mackinnon-Haug-Michelis (1999) p-values

Dalam penelitian ini, uji kointegrasi dilakukan dengan menggunakan metode *Johansen's Cointegration Test*. Sebelum dilakukan pengujian kointegrasi, maka terlebih dahulu dilakukan uji kecenderungan deterministik, seperti yang ditampilkan dalam lampiran. Dengan menggunakan *Akaike Information Criteria* (AIC), diperoleh bahwa *series y* memiliki kecenderungan linear tapi persamaan kointegrasi hanya memiliki intersep (kemungkinan ketiga). Selanjutnya dengan informasi ini, dilakukan uji kointegrasi. Output dari pengujian kointegrasi tersebut dapat dilihat dalam Tabel 6 di atas.

Berdasarkan Tabel 6 di atas dapat dilihat bahwa nilai *trace statistic* dan *maximum eigenvalue* pada 'None' lebih besar dari *critical value* dengan tingkat signifikansi 5%. Hal ini berarti hipotesis nol yang menyatakan bahwa tidak ada kointegrasi ditolak dan hipotesis alternatif yang menyatakan bahwa ada kointegrasi tidak dapat ditolak.

Dengan demikian, dari hasil uji kointegrasi mengindikasikan bahwa diantara pergerakan BI rate, Kurs, M1 dan Inflasi memiliki hubungan stabilitas/keseimbangan dan kesamaan pergerakan dalam jangka panjang. Dalam kalimat lain, dalam setiap periode jangka pendek, seluruh variabel cenderung saling menyesuaikan untuk mencapai equilibrium jangka panjang. Adanya hubungan kointegrasi pada data *time series* yang tidak stasioner, mengarahkan kita untuk menganalisis data *time series* dengan menggunakan model *Vector Error Correction* (VEC).

D. Estimasi VEC

Setelah penentuan ordo maksimum dan adanya hubungan kointegrasi dari data *series* nonstasioner, maka selanjutnya dilakukan estimasi VEC terhadap data *series* empat variabel yang diteliti. Hasil analisisnya sebagaimana ditunjukkan dalam Tabel 7 di bawah ini.

Tabel 4.7. Vector Error Correction Estimates

Cointegrating Eq:	CointEq1	CointEq2		
BI RATE(-1)	1.000000	0.000000		
KURS(-1)	0.000000	1.000000		
M1(-1)	-7.46E-06 (1.1E-05) [-0.66591]	-0.023777 (0.00722) [-3.29194]		
INFLASI(-1)	-8.115780 (1.39290) [-5.82655]	-3611.735 (898.234) [-4.02093]		
C	-0.508086	2259.368		
Error Correction:	D(BI RATE)	D(KURS)	D(M1)	D(INFLASI)
CointEq1	-0.007759 (0.01233) [-0.62942]	131.1577 (36.7361) [3.57027]	-439.6200 (1199.54) [-0.36649]	0.228202 (0.09492) [2.40410]
CointEq2	-2.93E-06 (2.4E-05) [-0.12454]	-0.244449 (0.07009) [-3.48788]	1.081854 (2.28849) [0.47274]	-3.68E-05 (0.00018) [-0.20314]
D(BI RATE(-1))	0.832101 (0.11005) [7.56109]	260.5295 (327.939) [0.79444]	12910.00 (10708.2) [1.20562]	5.467011 (0.84736) [6.45182]
D(BI RATE(-2))	-0.173751 (0.11519) [-1.50835]	94.36907 (343.265) [0.27492]	-15189.42 (11208.6) [-1.35516]	-3.282412 (0.88696) [-3.70075]

D(KURS(-1))	-4.71E-05 (4.9E-05) [-0.97135]	-0.036544 (0.14463) [-0.25267]	-8.967506 (4.72268) [-1.89882]	0.000228 (0.00037) [0.60918]
D(KURS(-2))	-1.68E-05 (5.3E-05) [-0.31754]	0.022651 (0.15775) [0.14358]	-7.179429 (5.15105) [-1.39378]	0.000457 (0.00041) [1.12113]
D(M1(-1))	2.66E-06 (1.7E-06) [1.54988]	-0.005420 (0.00512) [-1.05882]	-0.223403 (0.16716) [-1.33644]	6.94E-06 (1.3E-05) [0.52490]
D(M1(-2))	5.76E-07 (1.7E-06) [0.33753]	-0.010820 (0.00509) [-2.12705]	-0.017967 (0.16610) [-0.10817]	-5.26E-06 (1.3E-05) [-0.40004]
D(INFLASI(-1))	-0.002286 (0.03038) [-0.07526]	122.1594 (90.5157) [1.34959]	-1410.274 (2955.60) [-0.47715]	0.538262 (0.23388) [2.30142]
D(INFLASI(-2))	-0.015096 (0.02032) [-0.74283]	83.57131 (60.5598) [1.37998]	-1964.756 (1977.46) [-0.99358]	-0.049541 (0.15648) [-0.31660]
C	-0.054789 (0.02581) [-2.12286]	77.44787 (76.9089) [1.00701]	6098.017 (2511.30) [2.42823]	0.065464 (0.19872) [0.32942]
R-squared	0.864992	0.310701	0.299070	0.798375
Adj. R-squared	0.825284	0.107965	0.092914	0.739074
Sum sq. Resids	0.783046	6953300.	7.41E+09	46.42371
S.E. equation	0.151759	452.2265	14766.52	1.168505
F-statistic	21.78372	1.532545	1.450698	13.46300
Log likelihood	27.30037	-332.6837	-489.5507	-64.55306
Akaike AIC	-0.724461	15.27483	22.24670	3.357914
Schwarz SC	-0.282832	15.71646	22.68833	3.799542
Mean dependent	-0.066667	-4.133333	4637.044	-0.022889
S.D. dependent	0.363068	478.8122	15504.36	2.287555
Determinant resid covariance (dof adj.)		1.27E+12		
Determinant resid covariance		4.12E+11		
Log likelihood		-857.1778		
Akaike information criterion		40.40790		
Schwarz criterion		42.49560		

Signifikan tidaknya lag dari suatu variabel terhadap variabel endogen lainnya dapat dievaluasi menggunakan nilai mutlak dari statistik- t (nilai yang berada dalam [...]). Sebagai perbandingan dapat digunakan kriteria nilai kritis $t_0 = 2$ atau 1.96. Sebagai contoh jika $|t_0| > 2$ atau 1.96 maka dapat disimpulkan bahwa variabel bebas yang bersesuaian memiliki pengaruh parsial yang signifikan.

Dua persamaan kointegrasi ditunjukkan sebagaimana pada tabel di atas. Estimasi ini dapat ditunjukkan dalam beberapa cara. Vektor kointegrasinya adalah

$$\hat{\beta} = \begin{pmatrix} 1 & 0 \\ 0 & 1 \\ -7,46E-06 & -0,024 \\ -8,116 & -3611735 \end{pmatrix}$$

Estimasi ini sering dituliskan sebagai persamaan kointegrasi, dengan sekarang nilai konstan dimasukkan:

$$BI\ RATE_t = 7,46E-06M1_t + 8,116INFLASI_t + 0,508 + \hat{z}_{1,t}$$

$$KURS_t = 0,024M1_t + 3611,735INFLASI_t - 2259,368 + \hat{z}_{2,t}$$

Jika model dispesifikasikan dengan benar, maka seharusnya $\hat{z}_{1,t}$ dan $\hat{z}_{2,t}$ stasioner.

Koefisien penyesuaian (elemen dari $\hat{\alpha}$) didapat dari tabel di atas adalah

$$\hat{\alpha} = \begin{pmatrix} -0,08 & -2,93E-06 \\ 131,1577 & -0,245 \\ -439,620 & 1,082 \\ 0,228 & 3,68E-05 \end{pmatrix}$$

Persamaan VECM untuk keempat variabel dapat dituliskan sebagai berikut

$$\begin{aligned} D(BI\ RATE) = & -0,008(BI\ RATE(-1) - 0,001KURS(-1) - 6,983INFLASI(-1) - 1,27) \\ & + 1,257 \times 10^{-7}(M1(-1) - 42,058KURS(-1) + 151901,32INFLASI(-1) \\ & - 95023,847) + 0,832D(BI\ RATE(-1)) - 0,714D(BI\ RATE(-2)) + \\ & 2,663 \times 10^{-6}D(M1(-1)) + 5,762 \times 10^{-7}D(M1(-2)) - 4,715 \times 10^{-5}D(KURS(-1)) \end{aligned}$$

$$\begin{aligned}
& 1)) - 1,681 \times 10^{-5} D(\text{KURS}(-2)) - 0,002 D(\text{INFLASI}(-1)) - \\
& 0,015 D(\text{INFLASI}(-2)) - 0,055 \\
D(\text{M1}) &= -439,620(\text{BI RATE}(-1) - 0,001 \text{KURS}(-1) - 6,983 \text{INFLASI}(-1) - 1,27) \\
& + 0,023(\text{M1}(-1) - 42,058 \text{KURS}(-1) + 151901,32 \text{INFLASI}(-1) - \\
& 95023,847) + 12910,002 D(\text{BI RATE}(-1)) - 15189,423 D(\text{BI RATE}(- \\
& 2)) - 0,223 D(\text{M1}(-1)) - 0,018 D(\text{M1}(-2)) - 8,968 D(\text{KURS}(-1)) - \\
& 7,179 D(\text{KURS}(-2)) - 1410,274 D(\text{INFLASI}(-1)) - 1964,756 \\
& D(\text{INFLASI}(-2)) - 6098,017 \\
D(\text{KURS}) &= 131,158(\text{BI RATE}(-1) - 0,001 \text{KURS}(-1) - 6,983 \text{INFLASI}(-1) - 1,27) + \\
& 0,005(\text{M1}(-1) - 42,058 \text{KURS}(-1) + 151901,32 \text{INFLASI}(-1) - \\
& 95023,847) + 260,530 D(\text{BI RATE}(-1)) + 94,370 D(\text{BI RATE}(-2)) - \\
& 0,005 D(\text{M1}(-1)) - 0,011 D(\text{M1}(-2)) - 0,037 D(\text{KURS}(-1)) + 0,023 \\
& D(\text{KURS}(-2)) + 122,159 D(\text{INFLASI}(-1)) + 83,571 D(\text{INFLASI}(-2)) \\
& + 77,448 \\
D(\text{INFLASI}) &= 0,228(\text{BI RATE}(-1) - 0,001 \text{KURS}(-1) - 6,983 \text{INFLASI}(-1) - 1,27) - \\
& 8,273 \times 10^{-7} (\text{M1}(-1) - 42,058 \text{KURS}(-1) + 151901,32 \text{INFLASI}(-1) - \\
& 95023,847) + 5,467 D(\text{BI RATE}(-1)) - 3,282 D(\text{BI RATE}(-2)) + 6,943 \\
& \times 10^{-6} D(\text{M1}(-1)) - 5,258 \times 10^{-6} D(\text{M1}(-2)) + 0,001 D(\text{KURS}(-1)) + \\
& 0,001 D(\text{KURS}(-2)) + 0,538 D(\text{INFLASI}(-1)) - 0,050 D(\text{INFLASI}(-2)) \\
& + 0,066
\end{aligned}$$

Penilaian mengenai kebaikan model yang diperoleh disajikan pada penggalan *output* tabel 7 di atas. Karena ada beberapa persamaan dalam model VAR, yaitu sebanyak variabel/ *series* yang terlibat, yang dalam hal ini terdapat empat persamaan seperti yang ditunjukkan dalam model-model di atas, maka

dihasilkan ringkasan *goodness of fit* dari setiap variabel. Besaran yang ada antara lain adalah nilai dari *R-squared* yang identik dengan *R-squared* pada regresi biasa. Semakin besar nilainya, maka semakin baik model yang diperoleh. Pada output di atas, nilai *R-squared* untuk model persamaan BI rate, Kurs, M1 dan Inflasi berturut-turut adalah 0.864992, 0.310701, 0.299070 dan 0.798375, artinya bahwa *lag-lag* variabel yang dipilih dalam penelitian ini berturut-turut dapat menjelaskan variabel BI rate, Kurs, M1 dan Inflasi berturut-turut sebesar 86.5%, 31.07%, 29.91% dan 79.84%, selebihnya dijelaskan oleh variabel-variabel lainnya diluar model. Dari nilai *R-squared* tersebut dapat dilihat bahwa model persamaan BI rate, dan inflasi cukup baik dengan melihat nilai *R-squared*nya yang cukup tinggi, yang berarti variabel-variabel independen yang dipilih dapat menjelaskan sebagian besar dari variabel dependennya, atau variasi total pada variabel terikat yang dapat dijelaskan oleh variabel bebasnya cukup besar, berbeda dengan model persamaan untuk kurs dan M1 (jumlah uang beredar) yang nilai *R-squared* agak rendah, yang berarti sebagian besar variabel-variabel yang mempengaruhi kedua variabel ini berada di luar model.

E. Pengujian Kausalitas Granger

Output dari pengujian kausalitas granger pada EViews disajikan dalam Tabel 8 di bawah ini

Tabel 4.8. Granger Causality Test

Null Hypothesis:	Obs	F-Statistic	Probability
INFLASI does not Granger Cause M1	46	2.36185	0.10695
M1 does not Granger Cause INFLASI		0.95955	0.39150

INFLASI does not Granger Cause KURS	46	0.26938	0.76520
KURS does not Granger Cause INFLASI		0.59845	0.55439
INFLASI does not Granger Cause BI rate	46	4.13434	0.02314*
BI rate does not Granger Cause INFLASI		15.1379	1.2E-05*
M1 does not Granger Cause KURS	46	0.88876	0.41894
KURS does not Granger Cause M1		1.37724	0.26370
M1 does not Granger Cause BI rate	46	7.65523	0.00150*
BI rate does not Granger Cause M1		1.06159	0.35522
KURS does not Granger Cause BI rate	46	0.49752	0.61166
BI rate does not Granger Cause KURS		0.24613	0.78297

Dari hasil analisis kausalitas Granger di atas dapat dilihat bahwa terdapat satu hubungan *one-way causality* dari M1 (jumlah uang beredar) terhadap BI rate dan satu hubungan *two-ways causality* antara INFLASI dan BI rate. Hal ini menunjukkan adanya pengaruh yang signifikan oleh M1 (jumlah uang beredar) terhadap tingkat suku bunga BI rate. Adanya hubungan kausalitas dua arah antara inflasi dan tingkat suku bunga BI rate menunjukkan bahwa kedua variabel saling berpengaruh signifikan satu sama lain.

F. Pengujian Stabilitas VEC

Sebelum dilakukan analisis lebih jauh, maka stabilitas VAR perlu diuji karena jika hasil estimasi VAR tidak stabil akan menyebabkan analisis IRF dan DFEV menjadi tidak valid. Untuk menguji stabil atau tidaknya estimasi VAR yang telah dibentuk maka dilakukan VAR *Stability Condition Check* berupa *Roots of Characteristic Polynomial*.

Suatu sistem VAR dikatakan stabil jika seluruh *roots*-nya memiliki modulus lebih kecil dari satu. Dalam analisis VAR, akan ada sebanyak kp akar, dimana k

adalah jumlah variabel endogen dan p adalah *lag* terpanjangnya. Hasil pengujian stabilitas VEC disajikan dalam Tabel 9 di bawah ini

Tabel 4.9. VEC Stability Condition Check

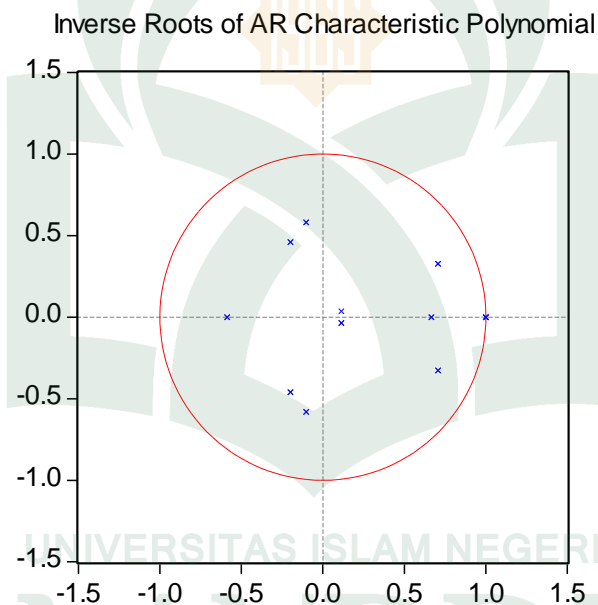
Roots of Characteristic Polynomial
 Endogenous variables: BI rate KURS M1 INFLASI
 Exogenous variables:
 Lag specification: 1 2
 Date: 03/14/11 Time: 21:24

Root	Modulus
1.000000	1.000000
1.000000	1.000000
0.706327 - 0.326564i	0.778165
0.706327 + 0.326564i	0.778165
0.665969	0.665969
-0.102652 - 0.581315i	0.590309
-0.102652 + 0.581315i	0.590309
-0.586768	0.586768
-0.198410 - 0.460144i	0.501098
-0.198410 + 0.460144i	0.501098
0.113430 - 0.036273i	0.119089
0.113430 + 0.036273i	0.119089

VEC specification imposes 2 unit root(s).

Pada Tabel 9 di atas menampilkan delapan akar kompleks $0.706327 - 0.326564i$ dan $0.706327 + 0.326564i$ dengan modulus 0.778165 , $-0.102652 - 0.581315i$ dan $-0.102652 + 0.581315i$ dengan modulus 0.590309 , $-0.198410 - 0.460144i$ dan $-0.198410 + 0.460144i$ dengan modulus 0.501098 , $0.113430 - 0.036273i$ dan $0.113430 + 0.036273i$ serta empat akar-akar riil lainnya yaitu 0.665969 , -0.586768 , 1.000000 dan 1.000000 dengan modulus berturut-turut yaitu 0.665969 , -0.586768 , 1.000000 dan 1.000000 , dimana syarat kestabilan adalah bahwa semua nilai modulusnya berada dalam lingkaran unit (nilai modulus akar-akarnya semuanya < 1), sehingga dari uji stabilitas ini ada dua akar yang

nilai modulusnya tidak berada dalam lingkaran unit, yaitu masing-masing bernilai 1.000000. Namun tidak memungkinkannya data untuk ditransformasi dan mempertimbangkan bahwa kedua akar tersebut memiliki nilai modulus sama dengan satu atau tidak berada di luar lingkaran unit, maka dianggap bahwa VECM mencapai syarat kestabilan untuk dilanjutkan pada analisis *Impulse Respon Function* (IRF) dan dekomposisi variansi, seperti yang ditunjukkan dalam Gambar 2 di bawah ini.



Gambar 4.1. AR Roots Graph

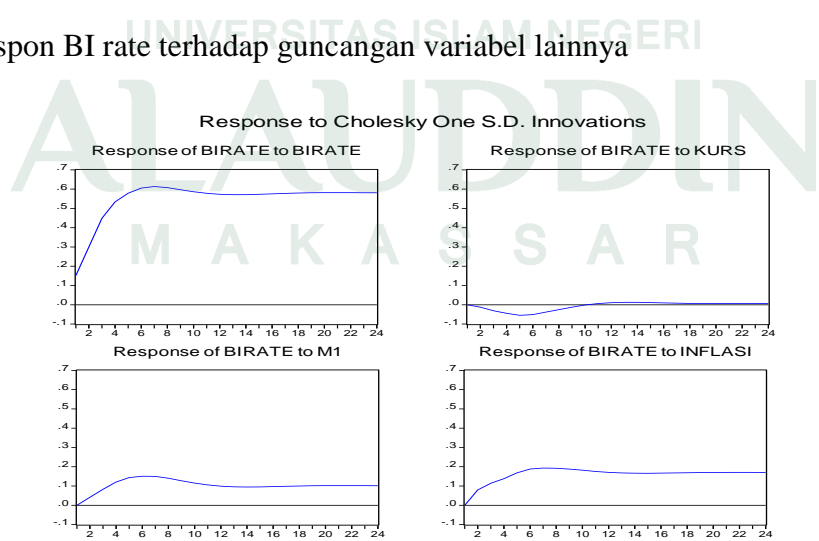
G. Analisis *Impulse Response Function*

Impulse Respon Function (IRF) digunakan untuk menggambarkan pergerakan variabel endogen akibat pengaruh perubahan (*shock*) variabel endogen lainnya. Dari analisis *Impulse Respon Function* (IRF) ini dapat dilihat lamanya

pengaruh dari perubahan (*shock*) suatu variabel terhadap variabel lainnya hingga pengaruhnya hilang atau kembali pada titik keseimbangan. Fungsi ini akan melacak respon dari variabel apabila variabel lainnya mengalami guncangan (*shock*). Berikut ini akan dijelaskan pengaruh dari guncangan tiap variabel terhadap pengaruhnya pada variabel itu sendiri dan variabel-variabel lainnya.

Sumbu horizontal merupakan waktu dalam periode hari ke depan setelah terjadinya *shock*, sedangkan sumber vertikal adalah nilai respon. Secara mendasar dalam analisis ini akan diketahui respon positif atau negatif dari suatu variabel terhadap variabel lainnya. Respon tersebut dalam jangka pendek biasanya cukup signifikan dan cenderung berubah. Dalam jangka panjang respon cenderung konsisten dan terus mengecil. *Impulse Response Function* memberikan gambaran bagaimana respon dari suatu variabel di masa mendatang jika terjadi *shock* pada satu variabel lainnya. Untuk memudahkan interpretasi, hasil analisis disajikan dalam bentuk grafik pada Gambar 3 sampai 6 di bawah dalam 24 periode kedepan.

1. Respon BI rate terhadap guncangan variabel lainnya



Gambar 4.2. *Impulse Response Function of BI rate*

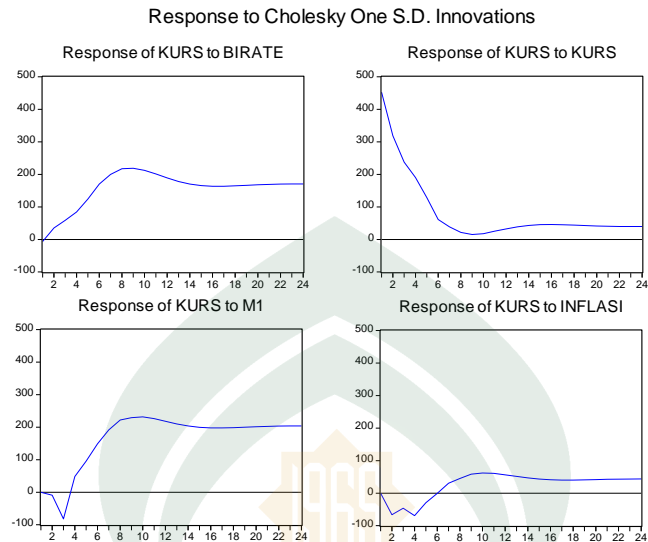
Gambar pertama menunjukkan respon variabel BI rate akibat adanya perubahan (*shock*) pada variabel BI rate itu sendiri. Pada gambar di atas dapat dilihat bahwa diawal-awal periode hingga periode ketujuh BI rate merespon positif adanya perubahan (*shock*) yang terjadi pada BI rate itu sendiri yang dalam jangka panjang bergerak konstan positif dalam kisaran tersebut yang akan sulit untuk menyesuaikan terhadap titik keseimbangan.

Gambar kedua menunjukkan respon BI rate terhadap adanya *shock* pada kurs rupiah. Dari gambar dapat dilihat bahwa diawal periode BI rate merespon negatif terhadap *shock* pada kurs, yang menunjukkan bahwa terjadinya depresiasi kurs akan menyebabkan menurunnya tingkat suku bunga BI rate. Namun dapat dilihat bahwa dalam jangka panjang BI rate menyesuaikan terhadap titik keseimbangan dengan kecenderungan respon positif.

Pada gambar ketiga dapat dilihat bahwa BI rate merespon positif baik dalam jangka pendek maupun panjang terhadap adanya *shock* pada M1 (jumlah uang beredar), atau dengan kata lain adanya peningkatan jumlah uang beredar di masyarakat cenderung akan meningkatkan tingkat suku bunga BI rate dan berlaku sebaliknya namun dapat dilihat bahwa variabel BI rate akan sulit disesuaikan oleh variabel M1.

Begitupun pada gambar terakhir, dimana BI rate merespon positif terhadap adanya *shock* pada inflasi baik dalam jangka pendek maupun dalam jangka panjang. Hal ini mengindikasikan meningkatnya laju inflasi akan diikuti oleh meningkatnya tingkat suku bunga BI rate dan begitupun sebaliknya, namun akan sulit untuk menyesuaikan tingkat suku bunga BI rate terhadap titik keseimbangan.

2. Respon Kurs terhadap guncangan variabel lainnya



Gambar 4.3. Impulse Response Function of KURS

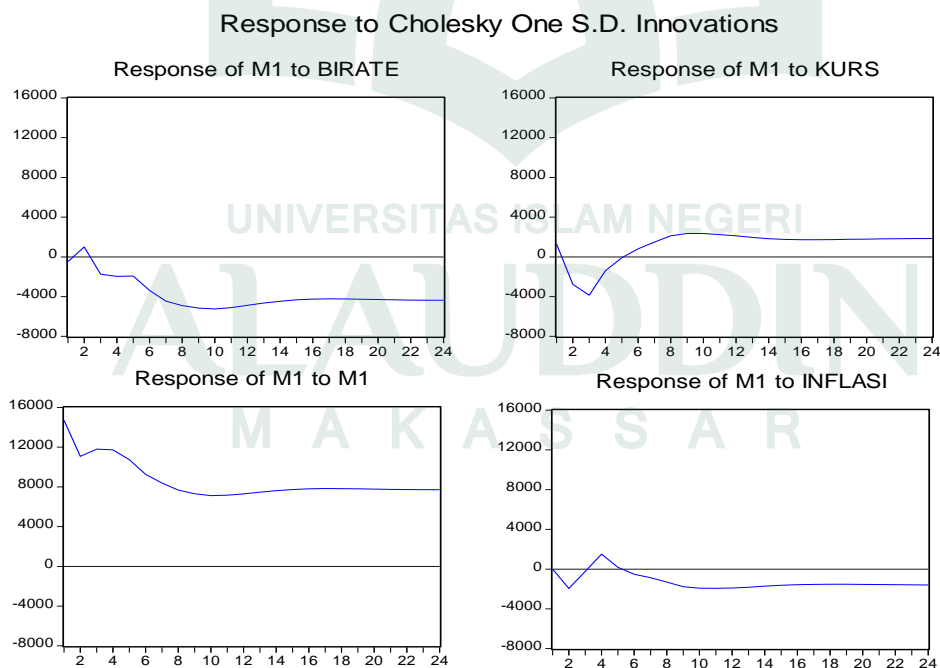
Gambar pertama di atas menunjukkan bagaimana respon variabel kurs akibat adanya *shock* yang terjadi pada variabel BI rate. Pada gambar dapat dilihat bahwa dalam jangka pendek maupun jangka panjang kurs akan merespon positif terhadap adanya *shock* pada BI rate, dengan kecenderungan dalam jangka panjang bergerak konstan jauh dari titik keseimbangan yang mengindikasikan bahwa adanya *shock* pada BI rate akan sulit disesuaikan oleh kurs dan membutuhkan waktu lama untuk pulih kembali ke titik keseimbangan.

Gambar kedua menunjukkan bagaimana respon kurs terhadap adanya *shock* dalam variabel itu sendiri. Dari gambar dapat dilihat bahwa dalam jangka pendek maupun jangka panjang akan merespon positif, namun semakin lama responnya semakin turun yang dalam jangka panjang cenderung bergerak di sekitar titik keseimbangan.

Gambar ketiga menunjukkan bagaimana respon kurs terhadap adanya *shock* pada M1 (jumlah uang beredar). Dapat dilihat bahwa dalam jangka pendek kurs akan merespon negatif, namun dalam jangka panjang akan merespon positif dengan bergerak konstan jauh dari titik keseimbangan. Hal ini menunjukkan bahwa variabel kurs akan sulit untuk menyesuaikan terhadap adanya *shock* pada M1 (jumlah uang beredar).

Hal yang sama terlihat pada gambar terakhir, dimana di awal periode adanya *shock* pada inflasi akan direspon negatif oleh kurs, namun dalam jangka panjang akan direspon positif dengan kecenderungan bergerak agak sedikit jauh di atas titik keseimbangan yang mengindikasikan bahwa kurs juga akan sulit untuk menyesuaikan terhadap adanya *shock* pada inflasi.

3. Respon M1 terhadap guncangan variabel lainnya



Gambar 4.4. Impulse Response Function of M1

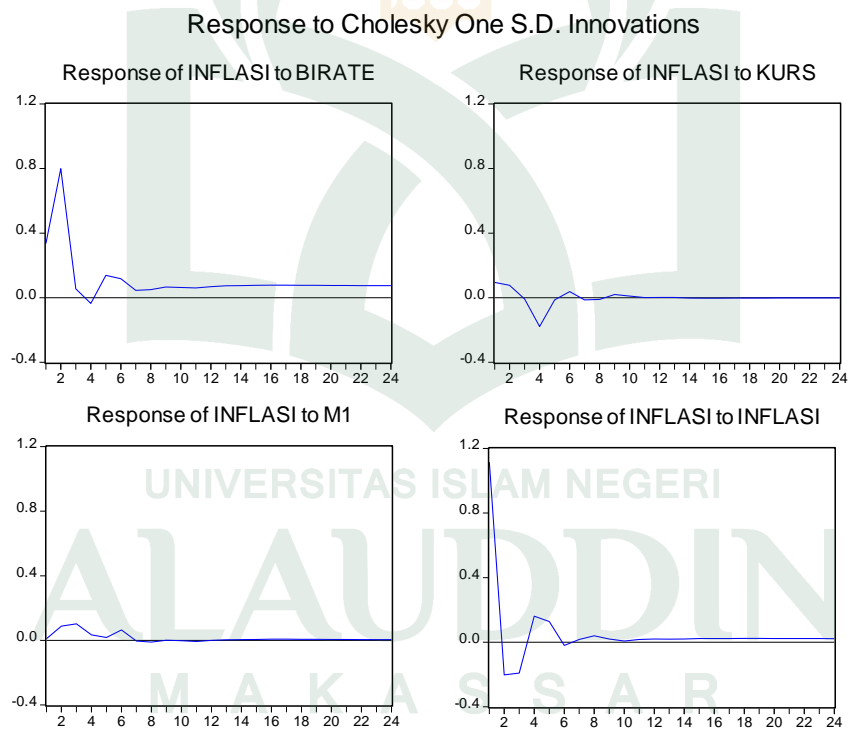
Gambar pertama di atas menunjukkan bagaimana respon variabel M1 akibat adanya perubahan (*shock*) yang terjadi pada variabel BI rate. Dari gambar di atas dapat dilihat bahwa pada periode pertama M1 (jumlah uang beredar) merespon positif adanya *shock* pada BI rate, namun dalam jangka panjang akan merespon negatif, dengan bergerak jauh di bawah titik keseimbangan. Hal ini mengindikasikan bahwa M1 (jumlah uang beredar) akan sulit dan membutuhkan waktu yang lama untuk menyesuaikan terhadap *shock* pada BI rate.

Gambar kedua menunjukkan bagaimana respon M1 (jumlah uang beredar) terhadap adanya *shock* pada kurs. Dapat dilihat bahwa pada periode pertama direspon positif, namun setelah itu langsung direspon negatif untuk beberapa periode kedepan hingga dalam jangka panjang kembali merespon positif dengan kecenderungan bergerak konstan agak sedikit jauh di atas titik keseimbangan. Hal ini mengindikasikan bahwa M1 (jumlah uang beredar) akan sulit dan membutuhkan waktu yang lama untuk menyesuaikan terhadap *shock* pada kurs.

Gambar ketiga menampilkan bagaimana respon M1 (jumlah uang beredar) terhadap adanya *shock* dalam variabel itu sendiri. Dari gambar dapat dilihat bahwa dalam jangka pendek maupun jangka panjang akan direspon positif, dengan kecenderungan berkurangnya respon secara lambat dalam jangka pendek, namun dalam jangka panjang akan bergerak konstan agak jauh dari titik keseimbangan. Hal ini mengindikasikan bahwa M1 (jumlah uang beredar) akan sulit dan membutuhkan waktu yang lama untuk menyesuaikan terhadap *shock* pada variabel itu sendiri.

Gambar terakhir menunjukkan respon M1 (jumlah uang beredar) terhadap adanya *shock* pada inflasi. Gambar di atas menunjukkan bahwa diawal periode direspon negatif namun tidak lama setelahnya akan direspon positif, dengan kecenderungan akan merespon negatif dalam jangka panjang, dengan bergerak konstan di bawah titik keseimbangan. Hal ini mengindikasikan bahwa M1 (jumlah uang beredar) akan sulit dan membutuhkan waktu yang lama untuk menyesuaikan terhadap *shock* pada inflasi.

4. Respon inflasi terhadap guncangan variabel lainnya



Gambar 4.5. Impulse Response Function of INFLASI

Grafik pertama di atas menunjukkan bagaimana respon inflasi terhadap adanya *shock* pada BI rate. Dari gambar dilihat bahwa hanya pada awal periode keempat inflasi merespon negatif adanya *shock* pada BI rate, selain itu dalam

periode lainnya baik dalam jangka pendek maupun jangka panjang akan direspon positif, dengan kecenderungan jangka panjang bergerak konstan agak sedikit di atas titik keseimbangan. Hal ini mengindikasikan bahwa inflasi akan sulit dan membutuhkan waktu yang agak lama untuk menyesuaikan terhadap *shock* pada BI rate.

Gambar kedua menunjukkan bagaimana respon inflasi terhadap adanya *shock* pada kurs. Dari gambar di atas dapat dilihat bahwa diawal-awal periode inflasi merespon positif, namun tidak lama langsung direspon negatif, namun setelah itu dalam jangka panjang cenderung bergerak di sekitar titik keseimbangan. Hal ini mengindikasikan bahwa inflasi tidak akan sulit dan membutuhkan waktu yang lama untuk menyesuaikan terhadap *shock* pada BI rate.

Gambar ketiga menunjukkan respon inflasi terhadap adanya *shock* pada M1 (jumlah uang beredar), dimana dapat dilihat bahwa dalam jangka pendek akan merespon positif, yang dalam jangka panjang akan bergerak di sekitar titik keseimbangan, dengan kecenderungan merespon positif.

Gambar terakhir menunjukkan bagaimana respon inflasi terhadap adanya *shock* pada variabel inflasi itu sendiri. Dalam jangka pendek terlihat bahwa akan merespon secara fluktuatif dari respon positif lalu merespon negatif, hingga dalam jangka panjang akan bergerak konstan disekitar titik keseimbangan, dengan kecenderungan merespon positif.

H. Analisis Variance Decomposition

Fungsi *impulse response* yang bertujuan untuk menelusuri dampak respon suatu variabel karena guncangan variabel lainnya mengasumsikan bahwa

variabel-variabel inovasi tidak saling berkorelasi. Dalam kenyataannya variabel-variabel inovasi saling berkorelasi sehingga sebenarnya tidak bisa dilihat dampak guncangan secara individual terhadap suatu variabel. *Variance Decomposition* bertujuan untuk memisahkan keragaman pada variabel endogen menjadi komponen-komponen *shock* yang ada dalam sistem VAR. Penguraian variansi ini dapat menghasilkan informasi mengenai tingkat kontribusi setiap inovasi acak (e_t) dalam mempengaruhi besarnya nilai-nilai variabel dalam VAR.

Analisis *variance decomposition* di bawah ini akan dianalisis dengan menggunakan tabel yang menampilkan kontribusi perubahan (*shock*) setiap variabel terhadap tiap-tiap variabel yang diteliti. Hasil *output* tabel *variance decomposition* ditampilkan dalam tabel 4.6 sampai 4.9 di bawah dengan melihat hingga 24 periode kedepan.

1. Dekomposisi Variansi BI rate

Tabel 4.10. Variance Decomposition of BI rate

Period	S.E.	BI rate	KURS	M1	INFLASI
1	0.151759	100.0000	0.000000	0.000000	0.000000
2	0.348041	93.22214	0.124075	1.441236	5.212554
3	0.586029	91.53078	0.318775	2.515858	5.634589
4	0.814749	90.25313	0.459529	3.505632	5.781709
5	1.025034	88.90325	0.573361	4.175293	6.348091
6	1.215724	87.99151	0.583083	4.510820	6.914590
7	1.383994	87.53746	0.526396	4.654753	7.281390
8	1.530220	87.36733	0.457436	4.647241	7.527993
9	1.658157	87.36216	0.395379	4.546576	7.695881
10	1.771983	87.45665	0.346267	4.404907	7.792171
11	1.875210	87.60447	0.310457	4.251593	7.833483
12	1.970754	87.77075	0.284192	4.102258	7.842800
13	2.060905	87.93524	0.263687	3.966641	7.834433
14	2.147231	88.08756	0.246392	3.848782	7.817266
15	2.230696	88.22198	0.230933	3.749152	7.797937
16	2.311847	88.33622	0.216816	3.666386	7.780581

17	2.390947	88.43119	0.203928	3.598126	7.766754
18	2.468078	88.50962	0.192240	3.541496	7.756645
19	2.543249	88.57480	0.181708	3.493712	7.749778
20	2.616460	88.63000	0.172258	3.452425	7.745322
21	2.687735	88.67797	0.163795	3.415850	7.742389
22	2.757133	88.72078	0.156216	3.382745	7.740264
23	2.824747	88.75981	0.149410	3.352328	7.738456
24	2.890689	88.79590	0.143274	3.324146	7.736678

Dari tabel dekomposisi variabel BI rate di atas dapat dilihat bahwa diawal periode, BI rate ditentukan oleh *shock* pada variabel itu sendiri yaitu sebesar 100 persen pada periode pertama, yang berarti *shock* pada variabel lainnya tidak memiliki kontribusi sama sekali.

Pada periode-periode selanjutnya *shock* variabel lainnya mulai memberikan pengaruh pada variabel BI rate, meskipun pengaruh dari *shock* tersebut tidak terlalu besar. Dalam jangka panjang dapat dilihat bahwa selain *shock* pada BI rate itu sendiri, *shock* pada infalsi memberikan kontribusi hanya sekitar 7 persen, M1 sekitar 3 persen dan kurs hampir dapat dikatakan tidak memberikan kontribusi apapun terhadap variabel BI rate.

2. Dekomposisi Variansi Kurs

Tabel 4.11. Variance Decomposition of KURS

Period	S.E.	BI rate	KURS	M1	INFLASI
1	452.2265	0.018622	99.98138	0.000000	0.000000
2	558.3949	0.412058	98.15364	0.027479	1.406818
3	616.8625	1.244166	95.25611	1.781266	1.718461
4	656.4199	2.754438	92.50512	2.113100	2.627344
5	687.6447	5.767839	87.79801	3.855002	2.579145
6	726.4224	10.64736	79.38941	7.652016	2.311221
7	778.9647	15.85140	69.28918	12.69657	2.162849
8	840.0661	20.31571	59.64168	17.89225	2.150369
9	899.8585	23.62225	52.00722	22.07721	2.293318
10	955.3123	25.90125	46.17902	25.46349	2.456235
11	1004.310	27.45273	41.84745	28.10930	2.590512

12	1046.987	28.51867	38.60131	30.20715	2.672873
13	1084.472	29.27421	36.10682	31.90130	2.717670
14	1118.309	29.84334	34.10418	33.32104	2.731440
15	1149.685	30.30593	32.42500	34.54245	2.726628
16	1179.571	30.70829	30.95469	35.62490	2.712124
17	1208.634	31.07740	29.62442	36.60360	2.694590
18	1237.281	31.42635	28.39504	37.50109	2.677517
19	1265.688	31.75934	27.24799	38.32952	2.663155
20	1293.890	32.07598	26.17526	39.09649	2.652265
21	1321.830	32.37448	25.17410	39.80670	2.644715
22	1349.419	32.65312	24.24290	40.46418	2.639791
23	1376.569	32.91115	23.37948	41.07272	2.636659
24	1403.220	33.14891	22.58030	41.63627	2.634519

Dari tabel di atas dapat dilihat bahwa diawal periode, kurs ditentukan oleh sebagian besar *shock* pada variabel itu sendiri yaitu hampir 100 persen. Sementara *shock* pada dua variabel lainnya yaitu pada kurs dan M1 (jumlah uang beredar) mulai memberikan peningkatan ditiap periode kedepannya.

Dalam jangka panjang kontribusi *shock* pada variabel kurs dan M1 terus meningkat, dengan puncaknya pada periode kesebelas. Dalam jangka panjang kontribusi *shock* pada variabel BI rate itu sendiri, kurs dan inflasi memberikan kontribusi yang tidak berbeda jauh.

3. Dekomposisi Variansi M1

Tabel 4.12. Variance Decomposition of M1

Period	S.E.	BI rate	KURS	M1	INFLASI
1	14766.52	0.101252	0.762828	99.13592	0.000000
2	18788.28	0.344981	2.628734	95.94801	1.078278
3	22589.84	0.834464	4.740258	93.66960	0.755680
4	25608.14	1.237452	3.984742	93.84402	0.933784
5	27835.54	1.527487	3.373496	94.30419	0.794823
6	29545.76	2.657501	3.069856	93.53733	0.735312
7	31079.54	4.450368	3.006152	91.80143	0.742048
8	32481.57	6.355297	3.179038	89.62516	0.840504
9	33819.11	8.186389	3.416738	87.34843	1.048444
10	35087.74	9.837295	3.621281	85.26995	1.271470

11	36294.21	11.17015	3.765778	83.59151	1.472560
12	37447.90	12.18341	3.855923	82.32029	1.640377
13	38559.49	12.94236	3.895145	81.39190	1.770593
14	39635.74	13.51512	3.901041	80.72040	1.863442
15	40684.07	13.95709	3.889855	80.22375	1.929298
16	41707.51	14.31798	3.872647	79.83170	1.977668
17	42707.65	14.63358	3.855774	79.49506	2.015589
18	43685.57	14.92528	3.843256	79.18350	2.047971
19	44642.41	15.20395	3.836385	78.88145	2.078212
20	45579.12	15.47403	3.834678	78.58335	2.107941
21	46496.75	15.73548	3.836812	78.29008	2.137635
22	47396.35	15.98624	3.841306	78.00531	2.167141
23	48278.92	16.22405	3.846793	77.73313	2.196033
24	49145.40	16.44728	3.852268	77.47664	2.223811

Dari tabel dekomposisi variabel di atas dapat dilihat bahwa diawal periode, M1 ditentukan oleh sebagian besar *shock* pada variabel itu sendiri yaitu hampir 100 persen. Dimana pada jangka panjang kontribusi *shock* pada BI rate mulai menunjukkan peningkatan dari waktu ke waktu, sementara itu kontribusi dua *shock* lainnya tidak terlalu besar.

Dalam jangka panjang dapat dilihat bahwa selain kontribusi *shock* pada variabel M1 itu sendiri, hanya kontribusi *shock* pada BI rate yang memberikan kontribusi yang agak besar yaitu dikisaran 16 persen.

4. Dekomposisi Variansi Inflasi

Tabel 4.13. Variance Decomposition of INFLASI

Period	S.E.	BI rate	KURS	M1	INFLASI
1	1.168505	8.278803	0.663865	0.008336	91.04900
2	1.434864	36.53120	0.728054	0.381582	62.35916
3	1.452172	35.80720	0.713683	0.868934	62.61018
4	1.472814	34.86835	2.158741	0.898999	62.07391
5	1.485049	35.16506	2.131436	0.899132	61.80437
6	1.491761	35.47595	2.177404	1.078760	61.26789
7	1.492607	35.52835	2.182343	1.078195	61.21111
8	1.494065	35.57300	2.183160	1.081184	61.16265
9	1.495796	35.68659	2.196408	1.078734	61.03827

10	1.497183	35.79843	2.196909	1.076870	60.92779
11	1.498551	35.89966	2.192916	1.077026	60.83040
12	1.500251	36.02710	2.188148	1.074588	60.71016
13	1.502185	36.17544	2.182642	1.072434	60.56948
14	1.504214	36.32806	2.176953	1.070550	60.42444
15	1.506351	36.48354	2.171156	1.069151	60.27616
16	1.508560	36.64304	2.165066	1.068408	60.12349
17	1.510763	36.80140	2.158991	1.067616	59.97199
18	1.512930	36.95614	2.153003	1.066614	59.82424
19	1.515061	37.10783	2.147047	1.065411	59.67971
20	1.517155	37.25687	2.141169	1.064015	59.53795
21	1.519216	37.40338	2.135389	1.062444	59.39878
22	1.521254	37.54807	2.129683	1.060775	59.26147
23	1.523282	37.69163	2.124028	1.059064	59.12528
24	1.525305	37.83447	2.118408	1.057348	58.98978

Dari tabel dekomposisi variabel inflasi di atas dapat dilihat bahwa diawal periode, inflasi ditentukan oleh sebagian besar *shock* pada variabel itu sendiri yaitu sebesar 91 persen dan *shock* pada BI rate dengan kontribusi sekitar 8 persen. Sementara itu *shock* pada dua variabel lainnya juga memberikan kontribusi, meskipun masih cukup sedikit pengaruhnya terhadap laju inflasi.

Dalam jangka panjang kontribusi *shock* yang berpengaruh terhadap laju inflasi selain *shock* pada variabel itu sendiri adalah BI rate dengan kontribusi rata-rata dikisaran 37 persen dalam jangka panjang, sementara kontribusi *shock* pada variabel lainnya yaitu kurs dan M1 (jumlah uang beredar) hanya masing-masing sebesar 2 persen dan 1 persen.

BAB V KESIMPULAN DAN SARAN

A. *Kesimpulan*

Berdasarkan hasil analisis data yang telah dilakukan, maka ada beberapa hal yang dapat disimpulkan dari penelitian ini, yaitu:

1. Tidak terdapat hubungan kausalitas yang signifikan antara inflasi dan jumlah uang beredar (M1), dimana inflasi merespon positif dalam jangka pendek maupun jangka panjang terhadap adanya *shock* (perubahan yang tidak sistematis/ fluktuatif) pada jumlah uang beredar (M1), sedangkan jumlah uang beredar (M1) merespon fluktuatif dalam jangka pendek dan negatif dalam jangka panjang terhadap adanya *shock* (perubahan yang tidak sistematis/ fluktuatif) pada inflasi, dimana dalam jangka panjang *shock* keduanya tidak saling berkontribusi satu sama lain.
2. Tidak terdapat hubungan kausalitas yang signifikan antara inflasi dan kurs, dimana inflasi merespon fluktuatif dalam jangka pendek, dan dalam jangka panjang cenderung menyesuaikan terhadap adanya *shock* (perubahan yang tidak sistematis/ fluktuatif) pada kurs, sedangkan kurs merespon positif dalam jangka pendek maupun jangka panjang terhadap adanya *shock* (perubahan yang tidak sistematis/ fluktuatif) pada inflasi, dimana dalam jangka panjang *shock* keduanya tidak saling berkontribusi satu sama lain.
3. Terdapat hubungan kausalitas yang signifikan antara inflasi dan BI rate, dimana inflasi merespon positif dalam jangka pendek maupun jangka panjang terhadap adanya *shock* (perubahan yang tidak sistematis/ fluktuatif)

pada BI rate, begitupun BI rate merespon positif dalam jangka pendek maupun jangka panjang terhadap adanya *shock* (perubahan yang tidak sistematis/ fluktuatif) pada inflasi, dimana dalam jangka panjang *shock* keduanya saling berkontribusi satu sama lain.

4. Tidak terdapat hubungan kausalitas yang signifikan antara jumlah uang beredar (M1) dan kurs, dimana jumlah uang beredar (M1) merespon negatif dalam jangka pendek dan positif dalam jangka panjang terhadap adanya *shock* (perubahan yang tidak sistematis/ fluktuatif) pada kurs, sedangkan kurs merespon negatif dalam jangka pendek maupun jangka panjang terhadap adanya *shock* (perubahan yang tidak sistematis/ fluktuatif) pada jumlah uang beredar (M1), dimana dalam jangka panjang *shock* pada jumlah uang beredar (M1) berkontribusi terhadap kurs, namun *shock* pada kurs tidak berkontribusi terhadap *shock* pada jumlah uang beredar (M1).
5. Tidak terdapat hubungan kausalitas yang signifikan antara jumlah uang beredar (M1) dan BI rate, dimana jumlah uang beredar (M1) merespon positif dalam jangka pendek dan negatif dalam jangka panjang terhadap adanya *shock* (perubahan yang tidak sistematis/ fluktuatif) pada BI rate, sedangkan BI rate merespon positif dalam jangka pendek dan jangka panjang terhadap adanya *shock* (perubahan yang tidak sistematis/ fluktuatif) pada inflasi, dimana dalam jangka panjang *shock* pada BI rate berkontribusi terhadap jumlah uang beredar (M1), namun *shock* pada jumlah uang beredar (M1) tidak berkontribusi terhadap BI rate.

6. Tidak terdapat hubungan kausalitas yang signifikan antara kurs dan BI rate, dimana kurs merespon positif dalam jangka pendek maupun jangka panjang terhadap adanya *shock* (perubahan yang tidak sistematis/ fluktuatif) pada BI rate, sedangkan BI rate merespon negatif dalam jangka pendek dan positif dalam jangka panjang terhadap adanya *shock* (perubahan yang tidak sistematis/ fluktuatif) pada inflasi, dimana dalam jangka panjang *shock* pada BI rate berkontribusi terhadap kurs, namun *shock* pada kurs tidak berkontribusi terhadap BI rate.

B. Saran

Berdasarkan penelitian yang telah dilakukan, maka penulis menyarankan beberapa hal yaitu sebagai berikut:

1. Agar dalam penelitian-penelitian selanjutnya dapat menggunakan jumlah data *time series* yang lebih banyak untuk menunjang analisis data yang lebih baik dan sesuai kebutuhan.
2. Pada penelitian-penelitian sejenis agar lebih banyak variabel-variabel ekonomi yang dilibatkan dalam model sehingga hasilnya diharapkan akan lebih efisien.
3. Agar pada penelitian selanjutnya hasil analisis data dapat dikaji secara lebih mendalam agar dapat dibuat rekomendasi kebijakan yang dapat bermanfaat bagi pihak-pihak terkait.
4. Agar pada penelitian lainnya dapat digunakan metode analisis yang berbeda sebagai pembandingan dari alat analisis yang telah digunakan peneliti dalam penelitian ini.

DAFTAR PUSTAKA

- Abustan, Mahyuddin. 2009. *Analisis Vector Auto Regressive (VAR) Terhadap Korelasi antara Belanja Publik dan Pertumbuhan Ekonomi di Sulawesi Selatan Tahun 1985-2005*. Bogor. Jurnal Ekonomi Pembangunan
- Departemen Agama Republik Indonesia. 2002. *Al-Quran dan terjemahnya*. Jakarta. Magfirah Pustaka.
- Enders, Walter. 2003. *Applied Econometric Time Series*. United States of America. Wiley.
- Indonesia, Bank. 2008. *Definisi Inflasi*. <http://www.bi.go.id/web/id/Moneter/Inflasi/Pengenalan+Inflasi/>. Diakses: 27/10/2012.
- Indonesia, Bank. 2008. *Disagregasi Inflasi*. <http://www.bi.go.id/web/id/Moneter/Inflasi/Pengenalan+Inflasi/disagregasi.htm>. Diakses: 27/10/2012.
- Indonesia, Bank. 2008. *Penjelasan BI Rate sebagai Suku Bunga Acuan*. <http://www.bi.go.id/web/id/Moneter/BI+Rate/Penjelasan+BI+Rate/>. Diakses: 27/10/2012.
- Indonesia, Bank. 2008. *Pentingnya kestabilan Harga*. <http://www.bi.go.id/web/id/Moneter/Inflasi/Pengenalan+Inflasi/pentingnya.htm>. Diakses: 27/10/2012.
- Indonesia, Wikipedia. 2010. *Inflasi*. Indonesia. Wikipedia.
- Julailah, Umi dan Insukindro. 2004. *Analisis Dampak Kebijakan Moneter terhadap Variabel Makroekonomi di Indonesia Tahun 1983.1 - 2003.2*. Yogyakarta. Buletin Ekonomi Moneter dan Perbankan, September 2004
- Kozhan, Roman. 2010. *Financial Econometrics with EViews*. Jakarta. Ventus Publishing ApS.
- Makassar, Kota. 2010. *Pertumbuhan Ekonomi Sulsel Triwulan II 8,02 Persen*. <http://www.bahasa.makassarkota.go.id/index.php/makassar-hari-ini/53-ekonomi-dan-bisnis/264-pertumbuhan-ekonomi-sulsel-triwulan-ii-802-persen>. Diakses: 15/12/2012.
- Mukaffi, Zaim. 2010. *A. Kebijakan Moneter*. <http://www.zaimmukaffi.com/materi-perkuliahan/bahan-perkuliahan-mahasiswa/ekonomi-makro/115-bab-vi-kebijakan-moneter-.html>. Diakses: 15/12/2012.

- Putri, Khairani. 2009. *Interest Rate Pass-Through terhadap Suku Bunga Perbankan dan Perekonomian : Studi Komparatif di Asean+3*. Bogor. Skripsi. Departemen Ilmu Ekonomi Fakultas Ekonomi dan Manajemen Institut Pertanian Bogor.
- Ricardo, Rico. 2007. *Analisis Keterkaitan Besaran Moneter Bebas Bunga dan Mengandung Bunga dengan Business Cycle dan Inflasi Indonesia*. Bogor. Skripsi. Departemen Ilmu Ekonomi Fakultas Ekonomi dan Manajemen Institut Pertanian Bogor.
- Saham. 2008. *BI Rate VS Prediksi Analisis Investasi INA*. <http://www.sahaminvestasi.com/2008/06/akhirnya-bi-rate-naik-juga.html>. Diakses: 13/12/2010
- Setyawati, Yunita. 2006. *Analisis Kausalitas Inflasi dan Pertumbuhan Ekonomi (Kasus Perekonomian Indonesia Tahun 1994.1 – 2003.4) dengan Metode Error Corection Model*. Yogyakarta. Skripsi. Jurusan Ekonomi Pembangunan Fakultas Ekonomi Universitas Islam Indonesia Yogyakarta.
- Software, Quantitative Micro. *EViews 5.1 User's Guide*. United States of America. Quantitative Micro Software, LLC.
- Studi, Tim. 2008. *Analisis Hubungan Kointegrasi dan Kausalitas serta Hubungan Dinamis antara Aliran Modal Asing, Perubahan Nilai Tukar dan Pergerakan IHSG di Pasar Modal Indonesia*. Jakarta. Badan Pengawas Pasar Modal dan Lembaga Keuangan Departemen Keuangan republik Indonesia.
- Suyanto. 2004. *Pasar Modal dan Pertumbuhan Ekonomi di Indonesia*. Surabaya. Fakultas Ekonomi Universitas Surabaya.
- Suzanti, Lizza. 2009. *Menyusun Karya Tulis Ilmiah*. Jakarta. Pelatihan Karya Tulis Ilmiah.
- Vivanews. 2010. *BI Rate tidak Efektif Turunkan Bunga Kredit*. http://www.wap.vivanews.com/news/read/39662-bi_rate_tak_efektif_turunkan_bunga_kredit. Diakses: 13/12/2012
- Wahana-statistika. *Olah Data Analisis Multivariate Time Series*. <http://wahana-statistika.com/olah-data/eviews/118-olah-data-analisis-multivariate-time-series-.html>. Diakses: 05/01/2013

Widya Nugraha, Fickry. 2006. *Efek Perubahan (Pass Through Effect) Kurs terhadap Indeks Harga Konsumen di ASEAN-5, Jepang dan Korea Selatan*. Bogor. Skripsi. Departemen Ilmu Ekonomi Fakultas Ekonomi dan Manajemen Institut Pertanian Bogor.

Yusrizal. 2010. *Konsep Dasar Instrumen Penelitian*. [http://www. Yuzrisal firzal.wordpress.com/2010/11/15/konsep-dasar-instrumen-penelitian/](http://www.Yuzrisalfirzal.wordpress.com/2010/11/15/konsep-dasar-instrumen-penelitian/). Diakses: 12/12/2012.



Lampiran 1

BIRATE	KURS	M1	INFLASI
8.5	9711	266870	0.71
8.75	9747	274841	0.46
10	10398	273954	0.69
11	10248	286715	9.44
12.25	10099	276729	0.68
12.75	9980	281905	-0.72
12.75	9746	281412	1.09
12.75	9273	277265	1.74
12.75	9124	277293	-0.06
12.75	9000	282400	0.39
12.5	8741	304663	0.46
12.5	9214	313153	1.15
12.25	9119	311822	1.82
11.75	9040	329372	-0.23
11.25	9045	333905	-0.01
10.75	9182	346414	1.82
10.25	9059	342645	-0.88
9.75	9094	361073	-0.26
9.5	8905	344840	2.13
9.25	9035	346573	-0.05
9	9084	341833	0.2
9	9064	351259	-0.74
8.75	9038	352629	0.74
8.5	8735	381376	0.51
8.25	9874	397823	0.91
8.25	9193	402035	0.73
8.25	9341	411281	1.72
8.25	9055	414996	-0.27
8.25	9033	424435	-1.74
8	9312	460842	1.5
8	9323	420298	2.29
8	9177	411327	1.07
8	9061	419746	1.03
8	9153	427028	0.05
8.25	9186	438544	0.79
8.5	9263	466708	3.39
8.75	9169	458379	1.27
9	9036	452445	0.69
9.25	9117	491729	1.5
9.5	9507	459116	-0.18

Lampiran 1

9.5	10746	463590	-0.13
9.25	12163	456787	0.46
8.75	10895	437845	0.06
8.25	11641	434761	0.68
7.75	11963	448034	0.1
7.5	11562	452937	-0.44
7.25	10602	456955	-0.36
7	10212	482621	-0.34



UNIVERSITAS ISLAM NEGERI
ALAUDDIN
M A K A S S A R

Lampiran 2

Output Hasil Analisis VEC dengan EViews 5.0

Null Hypothesis: BIRATE has a unit root

Exogenous: Constant

Lag Length: 1 (Automatic based on SIC, MAXLAG=5)

	t-Statistic	Prob.*
Augmented Dickey-Fuller test statistic	-2.048454	0.2659
Test critical values: 1% level	-3.581152	
5% level	-2.926622	
10% level	-2.601424	

*MacKinnon (1996) one-sided p-values.

Null Hypothesis: KURS has a unit root

Exogenous: Constant

Lag Length: 0 (Automatic based on SIC, MAXLAG=5)

	t-Statistic	Prob.*
Augmented Dickey-Fuller test statistic	-1.868496	0.3439
Test critical values: 1% level	-3.577723	
5% level	-2.925169	
10% level	-2.600658	

*MacKinnon (1996) one-sided p-values.

Null Hypothesis: M1 has a unit root

Exogenous: Constant

Lag Length: 0 (Automatic based on SIC, MAXLAG=5)

	t-Statistic	Prob.*
Augmented Dickey-Fuller test statistic	-0.824557	0.8027
Test critical values: 1% level	-3.577723	
5% level	-2.925169	
10% level	-2.600658	

*MacKinnon (1996) one-sided p-values.

Lampiran 2

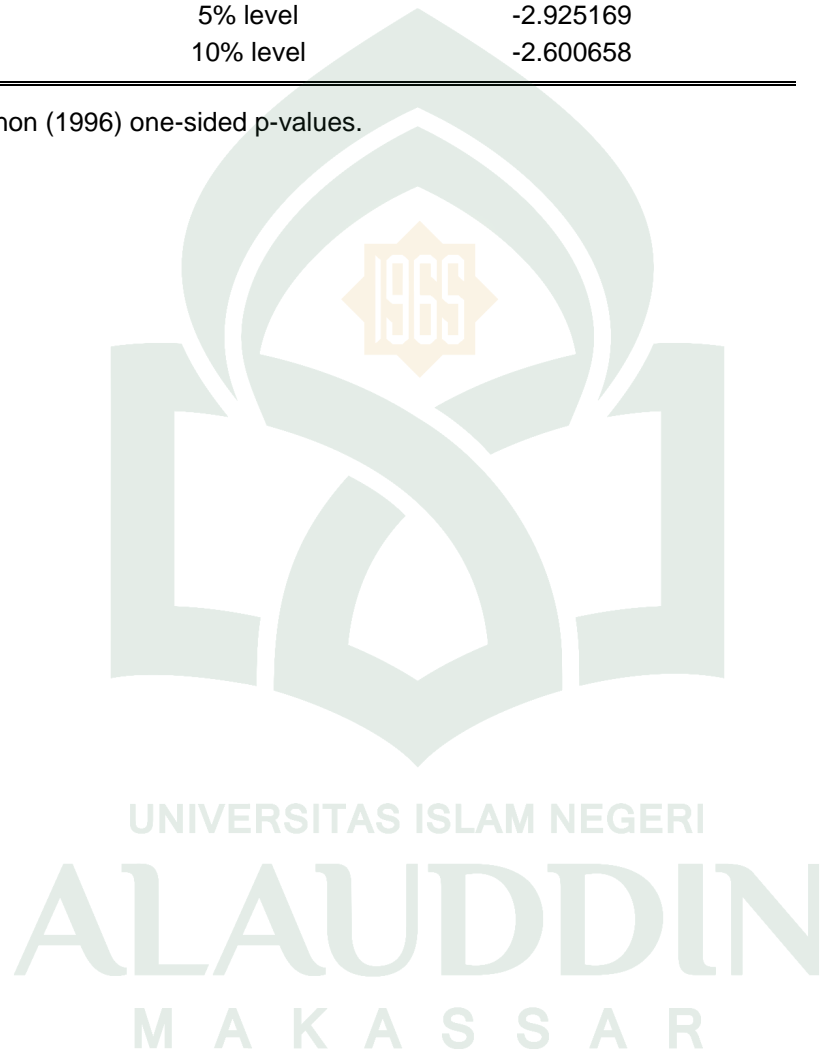
Null Hypothesis: INFLASI has a unit root

Exogenous: Constant

Lag Length: 0 (Automatic based on SIC, MAXLAG=5)

	t-Statistic	Prob.*
Augmented Dickey-Fuller test statistic	-6.515404	0.0000
Test critical values:		
1% level	-3.577723	
5% level	-2.925169	
10% level	-2.600658	

*MacKinnon (1996) one-sided p-values.



Lampiran 2

VAR Lag Order Selection Criteria
Endogenous variables: BIRATE KURS M1
INFLASI
Exogenous variables: C
Date: 01/29/11 Time: 16:28
Sample: 2005M07 2009M06
Included observations: 43

Lag	LogL	LR	FPE	AIC	SC	HQ
0	-1002.740	NA	2.55e+15	46.82511	46.98894	46.88552
1	-845.9268	277.1579	3.66e+12	40.27567	41.09483	40.57775
2	-810.4248	56.14273*	1.51e+12*	39.36859*	40.84309*	39.91234*
3	-804.0094	8.951698	2.48e+12	39.81439	41.94421	40.59980
4	-789.1212	18.00431	2.90e+12	39.86610	42.65126	40.89318
5	-773.7691	15.70913	3.59e+12	39.89624	43.33672	41.16498

* indicates lag order selected by the criterion

LR: sequential modified LR test statistic (each test at 5% level)

FPE: Final prediction error

AIC: Akaike information criterion

SC: Schwarz information criterion

HQ: Hannan-Quinn information criterion

Lampiran 2

Date: 03/13/11 Time: 20:34
 Sample: 1 48
 Included observations: 46
 Series: BIRATE KURS M1 INFLASI
 Lags interval: 1 to 1

Selected
 (0.05 level*)
 Number of
 Cointegrating
 Relations
 by Model

Data Trend:	None	None	Linear	Linear	Quadratic
Test Type	No Intercept No Trend	Intercept No Trend	Intercept No Trend	Intercept Trend	Intercept Trend
Trace	1	1	1	2	4
Max-Eig	1	1	2	1	1

*Critical values based on MacKinnon-Haug-Michelis (1999)

Information
 Criteria by
 Rank and
 Model

Data Trend:	None	None	Linear	Linear	Quadratic
Rank or No. of CEs	No Intercept No Trend	Intercept No Trend	Intercept No Trend	Intercept Trend	Intercept Trend

	Log Likelihood by Rank (rows) and Model (columns)				
0	-946.5841	-946.5841	-943.2214	-943.2214	-942.8839
1	-921.5393	-919.7963	-916.4337	-916.3602	-916.0782
2	-916.0760	-908.7114	-905.3551	-905.2651	-905.1389
3	-913.1918	-904.6103	-902.6835	-897.0589	-896.9669
4	-912.5825	-902.4903	-902.4903	-894.7278	-894.7278

	Akaike Information Criteria by Rank (rows) and Model (columns)				
0	41.85148	41.85148	41.87919	41.87919	42.03843
1	41.11041	41.07810	41.06234	41.10262	41.22079
2	41.22070	40.98745	40.92848*	41.01153	41.09300

Lampiran 2

3	41.44312	41.20045	41.16015	41.04604	41.08552
4	41.76445	41.49958	41.49958	41.33599	41.33599

	Schwarz Criteria by Rank (rows) and Model (columns)				
0	42.48753	42.48753	42.67425	42.67425	42.99250
1	42.06448*	42.07193	42.17542	42.25546	42.49289
2	42.49279	42.33906	42.35959	42.52214	42.68312
3	43.03324	42.90983	42.90929	42.91444	42.99367
4	43.67260	43.56674	43.56674	43.56217	43.56217

Date: 01/29/11 Time: 20:31

Sample (adjusted): 2005M10 2009M06

Included observations: 45 after adjustments

Trend assumption: No deterministic trend (restricted constant)

Series: BIRATE INFLASI KURS M1

Lags interval (in first differences): 1 to 2

Unrestricted Cointegration Rank Test (Trace)

Hypothesized No. of CE(s)	Eigenvalue	Trace Statistic	0.05 Critical Value	Prob.**
None *	0.545747	69.10771	54.07904	0.0013
At most 1	0.279450	33.59819	35.19275	0.0736
At most 2	0.220772	18.84988	20.26184	0.0773
At most 3	0.155858	7.624552	9.164546	0.0972

Trace test indicates 1 cointegrating eqn(s) at the 0.05 level

* denotes rejection of the hypothesis at the 0.05 level

**MacKinnon-Haug-Michelis (1999) p-values

Unrestricted Cointegration Rank Test (Maximum Eigenvalue)

Hypothesized No. of CE(s)	Eigenvalue	Max-Eigen Statistic	0.05 Critical Value	Prob.**
None *	0.545747	35.50952	28.58808	0.0055
At most 1	0.279450	14.74831	22.29962	0.3960
At most 2	0.220772	11.22533	15.89210	0.2356
At most 3	0.155858	7.624552	9.164546	0.0972

Max-eigenvalue test indicates 1 cointegrating eqn(s) at the 0.05 level

* denotes rejection of the hypothesis at the 0.05 level

**MacKinnon-Haug-Michelis (1999) p-values

Lampiran 2

Vector Error Correction Estimates

Date: 03/14/11 Time: 21:22

Sample (adjusted): 4 48

Included observations: 45 after adjustments

Standard errors in () & t-statistics in []

Cointegrating Eq:	CointEq1	CointEq2		
BIRATE(-1)	1.000000	0.000000		
KURS(-1)	0.000000	1.000000		
M1(-1)	-7.46E-06 (1.1E-05) [-0.66591]	-0.023777 (0.00722) [-3.29194]		
INFLASI(-1)	-8.115780 (1.39290) [-5.82655]	-3611.735 (898.234) [-4.02093]		
C	-0.508086	2259.368		
Error Correction:	D(BIRATE)	D(KURS)	D(M1)	D(INFLASI)
CointEq1	-0.007759 (0.01233) [-0.62942]	131.1577 (36.7361) [3.57027]	-439.6200 (1199.54) [-0.36649]	0.228202 (0.09492) [2.40410]
CointEq2	-2.93E-06 (2.4E-05) [-0.12454]	-0.244449 (0.07009) [-3.48788]	1.081854 (2.28849) [0.47274]	-3.68E-05 (0.00018) [-0.20314]
D(BIRATE(-1))	0.832101 (0.11005) [7.56109]	260.5295 (327.939) [0.79444]	12910.00 (10708.2) [1.20562]	5.467011 (0.84736) [6.45182]
D(BIRATE(-2))	-0.173751 (0.11519) [-1.50835]	94.36907 (343.265) [0.27492]	-15189.42 (11208.6) [-1.35516]	-3.282412 (0.88696) [-3.70075]
D(KURS(-1))	-4.71E-05 (4.9E-05) [-0.97135]	-0.036544 (0.14463) [-0.25267]	-8.967506 (4.72268) [-1.89882]	0.000228 (0.00037) [0.60918]
D(KURS(-2))	-1.68E-05 (5.3E-05) [-0.31754]	0.022651 (0.15775) [0.14358]	-7.179429 (5.15105) [-1.39378]	0.000457 (0.00041) [1.12113]

Lampiran 2

D(M1(-1))	2.66E-06 (1.7E-06) [1.54988]	-0.005420 (0.00512) [-1.05882]	-0.223403 (0.16716) [-1.33644]	6.94E-06 (1.3E-05) [0.52490]
D(M1(-2))	5.76E-07 (1.7E-06) [0.33753]	-0.010820 (0.00509) [-2.12705]	-0.017967 (0.16610) [-0.10817]	-5.26E-06 (1.3E-05) [-0.40004]
D(INFLASI(-1))	-0.002286 (0.03038) [-0.07526]	122.1594 (90.5157) [1.34959]	-1410.274 (2955.60) [-0.47715]	0.538262 (0.23388) [2.30142]
D(INFLASI(-2))	-0.015096 (0.02032) [-0.74283]	83.57131 (60.5598) [1.37998]	-1964.756 (1977.46) [-0.99358]	-0.049541 (0.15648) [-0.31660]
C	-0.054789 (0.02581) [-2.12286]	77.44787 (76.9089) [1.00701]	6098.017 (2511.30) [2.42823]	0.065464 (0.19872) [0.32942]
R-squared	0.864992	0.310701	0.299070	0.798375
Adj. R-squared	0.825284	0.107965	0.092914	0.739074
Sum sq. resid	0.783046	6953300.	7.41E+09	46.42371
S.E. equation	0.151759	452.2265	14766.52	1.168505
F-statistic	21.78372	1.532545	1.450698	13.46300
Log likelihood	27.30037	-332.6837	-489.5507	-64.55306
Akaike AIC	-0.724461	15.27483	22.24670	3.357914
Schwarz SC	-0.282832	15.71646	22.68833	3.799542
Mean dependent	-0.066667	-4.133333	4637.044	-0.022889
S.D. dependent	0.363068	478.8122	15504.36	2.287555
Determinant resid covariance (dof adj.)		1.27E+12		
Determinant resid covariance		4.12E+11		
Log likelihood		-857.1778		
Akaike information criterion		40.40790		
Schwarz criterion		42.49560		

Lampiran 2

Estimation Proc:

=====

EC(C,2) 1 2 BIRATE M1 KURS INFLASI

VAR Model:

=====

$$\begin{aligned} D(\text{BIRATE}) = & A(1,1) \cdot (B(1,1) \cdot \text{BIRATE}(-1) + B(1,2) \cdot \text{M1}(-1) + B(1,3) \cdot \text{KURS}(-1) + \\ & B(1,4) \cdot \text{INFLASI}(-1) + B(1,5)) + A(1,2) \cdot (B(2,1) \cdot \text{BIRATE}(-1) + B(2,2) \cdot \text{M1}(-1) + \\ & B(2,3) \cdot \text{KURS}(-1) + B(2,4) \cdot \text{INFLASI}(-1) + B(2,5)) + C(1,1) \cdot D(\text{BIRATE}(-1)) + \\ & C(1,2) \cdot D(\text{BIRATE}(-2)) + C(1,3) \cdot D(\text{M1}(-1)) + C(1,4) \cdot D(\text{M1}(-2)) + C(1,5) \cdot D(\text{KURS}(-1)) + \\ & C(1,6) \cdot D(\text{KURS}(-2)) + C(1,7) \cdot D(\text{INFLASI}(-1)) + C(1,8) \cdot D(\text{INFLASI}(-2)) + C(1,9) \end{aligned}$$
$$\begin{aligned} D(\text{M1}) = & A(2,1) \cdot (B(1,1) \cdot \text{BIRATE}(-1) + B(1,2) \cdot \text{M1}(-1) + B(1,3) \cdot \text{KURS}(-1) + \\ & B(1,4) \cdot \text{INFLASI}(-1) + B(1,5)) + A(2,2) \cdot (B(2,1) \cdot \text{BIRATE}(-1) + B(2,2) \cdot \text{M1}(-1) + \\ & B(2,3) \cdot \text{KURS}(-1) + B(2,4) \cdot \text{INFLASI}(-1) + B(2,5)) + C(2,1) \cdot D(\text{BIRATE}(-1)) + \\ & C(2,2) \cdot D(\text{BIRATE}(-2)) + C(2,3) \cdot D(\text{M1}(-1)) + C(2,4) \cdot D(\text{M1}(-2)) + C(2,5) \cdot D(\text{KURS}(-1)) + \\ & C(2,6) \cdot D(\text{KURS}(-2)) + C(2,7) \cdot D(\text{INFLASI}(-1)) + C(2,8) \cdot D(\text{INFLASI}(-2)) + C(2,9) \end{aligned}$$
$$\begin{aligned} D(\text{KURS}) = & A(3,1) \cdot (B(1,1) \cdot \text{BIRATE}(-1) + B(1,2) \cdot \text{M1}(-1) + B(1,3) \cdot \text{KURS}(-1) + \\ & B(1,4) \cdot \text{INFLASI}(-1) + B(1,5)) + A(3,2) \cdot (B(2,1) \cdot \text{BIRATE}(-1) + B(2,2) \cdot \text{M1}(-1) + \\ & B(2,3) \cdot \text{KURS}(-1) + B(2,4) \cdot \text{INFLASI}(-1) + B(2,5)) + C(3,1) \cdot D(\text{BIRATE}(-1)) + \\ & C(3,2) \cdot D(\text{BIRATE}(-2)) + C(3,3) \cdot D(\text{M1}(-1)) + C(3,4) \cdot D(\text{M1}(-2)) + C(3,5) \cdot D(\text{KURS}(-1)) + \\ & C(3,6) \cdot D(\text{KURS}(-2)) + C(3,7) \cdot D(\text{INFLASI}(-1)) + C(3,8) \cdot D(\text{INFLASI}(-2)) + C(3,9) \end{aligned}$$
$$\begin{aligned} D(\text{INFLASI}) = & A(4,1) \cdot (B(1,1) \cdot \text{BIRATE}(-1) + B(1,2) \cdot \text{M1}(-1) + B(1,3) \cdot \text{KURS}(-1) + \\ & B(1,4) \cdot \text{INFLASI}(-1) + B(1,5)) + A(4,2) \cdot (B(2,1) \cdot \text{BIRATE}(-1) + B(2,2) \cdot \text{M1}(-1) + \\ & B(2,3) \cdot \text{KURS}(-1) + B(2,4) \cdot \text{INFLASI}(-1) + B(2,5)) + C(4,1) \cdot D(\text{BIRATE}(-1)) + \\ & C(4,2) \cdot D(\text{BIRATE}(-2)) + C(4,3) \cdot D(\text{M1}(-1)) + C(4,4) \cdot D(\text{M1}(-2)) + C(4,5) \cdot D(\text{KURS}(-1)) + \\ & C(4,6) \cdot D(\text{KURS}(-2)) + C(4,7) \cdot D(\text{INFLASI}(-1)) + C(4,8) \cdot D(\text{INFLASI}(-2)) + C(4,9) \end{aligned}$$

Lampiran 2

VAR Model - Substituted Coefficients:

$$\begin{aligned} D(\text{BIRATE}) = & -0.007759413361*(\text{BIRATE}(-1) - 0.0003136844584*\text{KURS}(-1) - \\ & 6.982834575*\text{INFLASI}(-1) - 1.216814689) + 1.275181415e-007*(\text{M1}(-1) - \\ & 42.05771838*\text{KURS}(-1) + 151901.3156*\text{INFLASI}(-1) - 95023.84708) + \\ & 0.8321005997*D(\text{BIRATE}(-1)) - 0.1737513131*D(\text{BIRATE}(-2)) + 2.662635517e- \\ & 006*D(\text{M1}(-1)) + 5.761870404e-007*D(\text{M1}(-2)) - 4.714571059e-005*D(\text{KURS}(-1)) - \\ & 1.680982494e-005*D(\text{KURS}(-2)) - 0.002286103193*D(\text{INFLASI}(-1)) - \\ & 0.01509640027*D(\text{INFLASI}(-2)) - 0.05478942019 \end{aligned}$$

$$\begin{aligned} D(\text{M1}) = & -439.6200192*(\text{BIRATE}(-1) - 0.0003136844584*\text{KURS}(-1) - \\ & 6.982834575*\text{INFLASI}(-1) - 1.216814689) - 0.02244420696*(\text{M1}(-1) - \\ & 42.05771838*\text{KURS}(-1) + 151901.3156*\text{INFLASI}(-1) - 95023.84708) + \\ & 12910.00163*D(\text{BIRATE}(-1)) - 15189.42258*D(\text{BIRATE}(-2)) - 0.223402746*D(\text{M1}(-1)) - \\ & 0.01796650014*D(\text{M1}(-2)) - 8.967506068*D(\text{KURS}(-1)) - 7.179429096*D(\text{KURS}(-2)) - \\ & 1410.273774*D(\text{INFLASI}(-1)) - 1964.755589*D(\text{INFLASI}(-2)) + 6098.017064 \end{aligned}$$

$$\begin{aligned} D(\text{KURS}) = & 131.1576802*(\text{BIRATE}(-1) - 0.0003136844584*\text{KURS}(-1) - \\ & 6.982834575*\text{INFLASI}(-1) - 1.216814689) + 0.004834007776*(\text{M1}(-1) - \\ & 42.05771838*\text{KURS}(-1) + 151901.3156*\text{INFLASI}(-1) - 95023.84708) + \\ & 260.5295334*D(\text{BIRATE}(-1)) + 94.36907399*D(\text{BIRATE}(-2)) - 0.005420486493*D(\text{M1}(- \\ & 1)) - 0.01082001147*D(\text{M1}(-2)) - 0.03654448846*D(\text{KURS}(-1)) + \\ & 0.02265061289*D(\text{KURS}(-2)) + 122.1594407*D(\text{INFLASI}(-1)) + \\ & 83.57130994*D(\text{INFLASI}(-2)) + 77.44786502 \end{aligned}$$

$$\begin{aligned} D(\text{INFLASI}) = & 0.2282020818*(\text{BIRATE}(-1) - 0.0003136844584*\text{KURS}(-1) - \\ & 6.982834575*\text{INFLASI}(-1) - 1.216814689) - 8.27336316e-007*(\text{M1}(-1) - \\ & 42.05771838*\text{KURS}(-1) + 151901.3156*\text{INFLASI}(-1) - 95023.84708) + \\ & 5.467011475*D(\text{BIRATE}(-1)) - 3.282411867*D(\text{BIRATE}(-2)) + 6.943307439e-006*D(\text{M1}(- \\ & 1)) - 5.258124204e-006*D(\text{M1}(-2)) + 0.0002276610416*D(\text{KURS}(-1)) + \\ & 0.0004569853452*D(\text{KURS}(-2)) + 0.5382624378*D(\text{INFLASI}(-1)) - \\ & 0.04954129924*D(\text{INFLASI}(-2)) + 0.06546373093 \end{aligned}$$

Lampiran 2

Pairwise Granger Causality Tests

Date: 03/14/11 Time: 21:26

Sample: 1 48

Lags: 2

Null Hypothesis:	Obs	F-Statistic	Probability
KURS does not Granger Cause BIRATE	46	0.49752	0.61166
BIRATE does not Granger Cause KURS		0.24613	0.78297
M1 does not Granger Cause BIRATE	46	7.65523	0.00150
BIRATE does not Granger Cause M1		1.06159	0.35522
INFLASI does not Granger Cause BIRATE	46	4.13434	0.02314
BIRATE does not Granger Cause INFLASI		15.1379	1.2E-05
M1 does not Granger Cause KURS	46	0.88876	0.41894
KURS does not Granger Cause M1		1.37724	0.26370
INFLASI does not Granger Cause KURS	46	0.26938	0.76520
KURS does not Granger Cause INFLASI		0.59845	0.55439
INFLASI does not Granger Cause M1	46	2.36185	0.10695
M1 does not Granger Cause INFLASI		0.95955	0.39150

Lampiran 2

Roots of Characteristic Polynomial

Endogenous variables: BIRATE KURS M1 INFLASI

Exogenous variables:

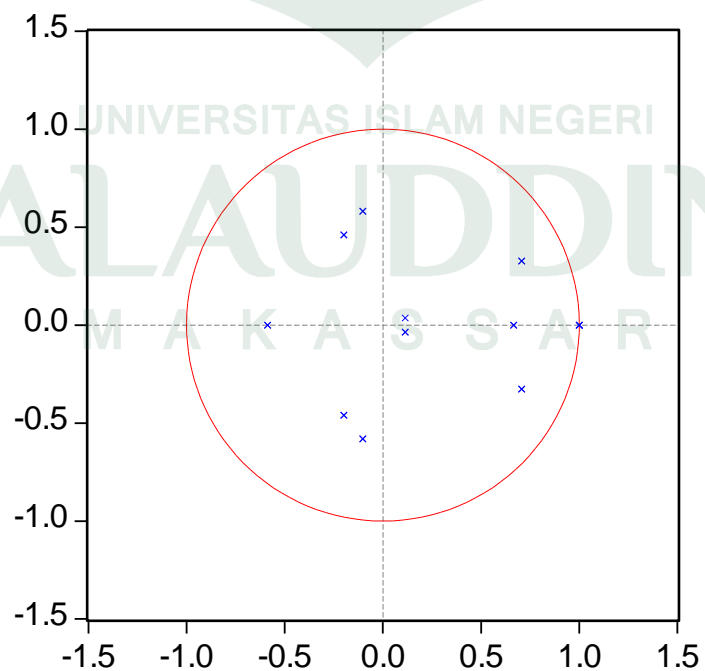
Lag specification: 1 2

Date: 03/14/11 Time: 21:24

Root	Modulus
1.000000	1.000000
1.000000	1.000000
0.706327 - 0.326564i	0.778165
0.706327 + 0.326564i	0.778165
0.665969	0.665969
-0.102652 - 0.581315i	0.590309
-0.102652 + 0.581315i	0.590309
-0.586768	0.586768
-0.198410 - 0.460144i	0.501098
-0.198410 + 0.460144i	0.501098
0.113430 - 0.036273i	0.119089
0.113430 + 0.036273i	0.119089

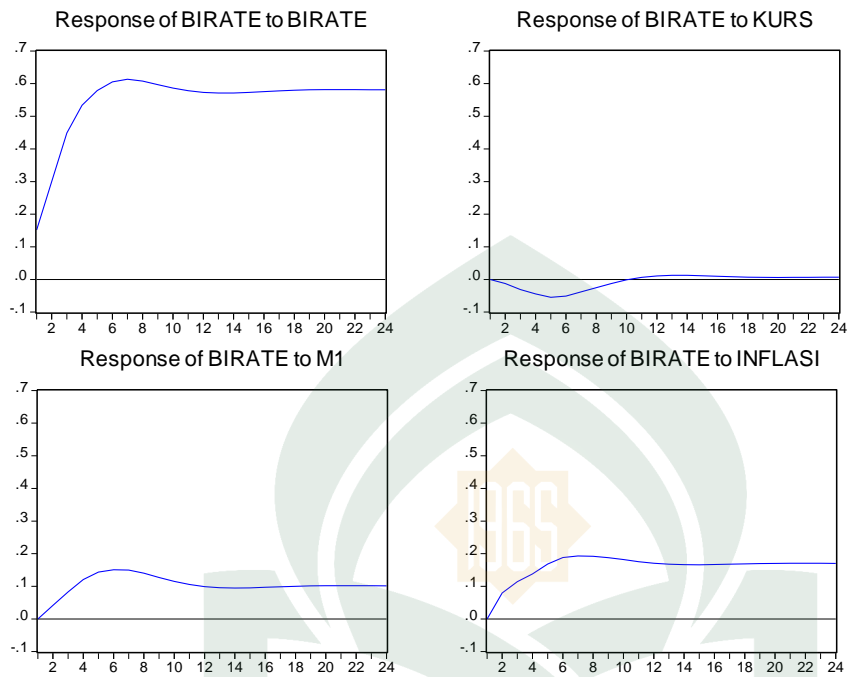
VEC specification imposes 2 unit root(s).

Inverse Roots of AR Characteristic Polynomial

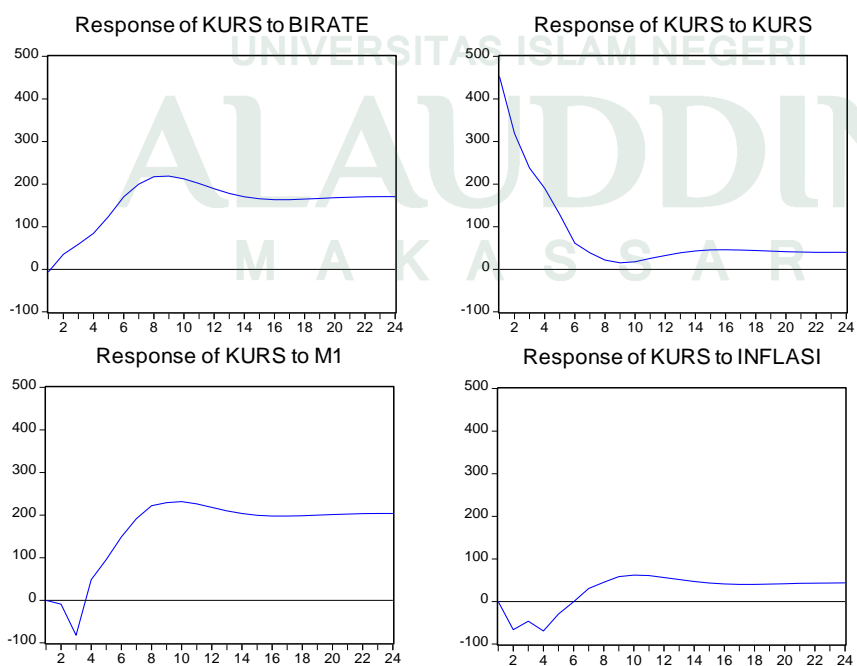


Lampiran 2

Response to Cholesky One S.D. Innovations

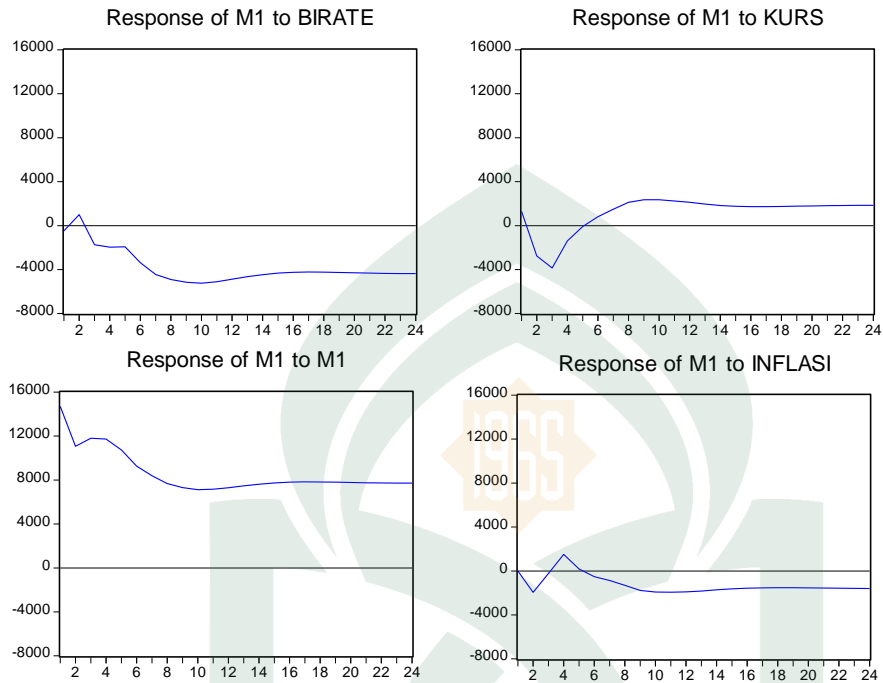


Response to Cholesky One S.D. Innovations

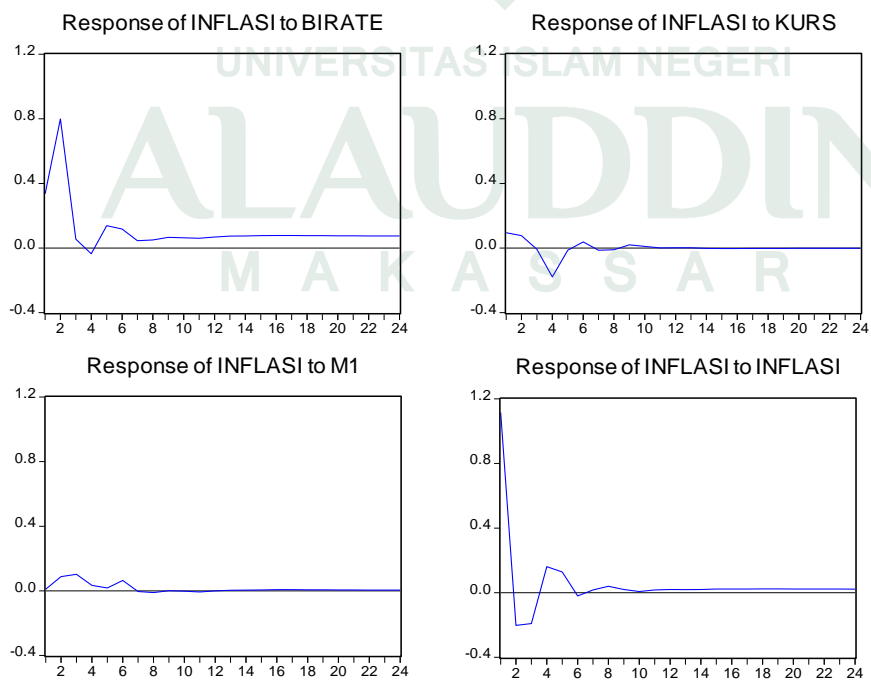


Lampiran 2

Response to Cholesky One S.D. Innovations



Response to Cholesky One S.D. Innovations



Lampiran 2

Variance Decomposition of BIRATE

Period	S.E.	BIRATE	KURS	M1	INFLASI
1	0.151759	100.0000	0.000000	0.000000	0.000000
2	0.348041	93.22214	0.124075	1.441236	5.212554
3	0.586029	91.53078	0.318775	2.515858	5.634589
4	0.814749	90.25313	0.459529	3.505632	5.781709
5	1.025034	88.90325	0.573361	4.175293	6.348091
6	1.215724	87.99151	0.583083	4.510820	6.914590
7	1.383994	87.53746	0.526396	4.654753	7.281390
8	1.530220	87.36733	0.457436	4.647241	7.527993
9	1.658157	87.36216	0.395379	4.546576	7.695881
10	1.771983	87.45665	0.346267	4.404907	7.792171
11	1.875210	87.60447	0.310457	4.251593	7.833483
12	1.970754	87.77075	0.284192	4.102258	7.842800
13	2.060905	87.93524	0.263687	3.966641	7.834433
14	2.147231	88.08756	0.246392	3.848782	7.817266
15	2.230696	88.22198	0.230933	3.749152	7.797937
16	2.311847	88.33622	0.216816	3.666386	7.780581
17	2.390947	88.43119	0.203928	3.598126	7.766754
18	2.468078	88.50962	0.192240	3.541496	7.756645
19	2.543249	88.57480	0.181708	3.493712	7.749778
20	2.616460	88.63000	0.172258	3.452425	7.745322
21	2.687735	88.67797	0.163795	3.415850	7.742389
22	2.757133	88.72078	0.156216	3.382745	7.740264
23	2.824747	88.75981	0.149410	3.352328	7.738456
24	2.890689	88.79590	0.143274	3.324146	7.736678

Lampiran 2

Variance Decomposition of KURS

Period	S.E.	BIRATE	KURS	M1	INFLASI
1	452.2265	0.018622	99.98138	0.000000	0.000000
2	558.3949	0.412058	98.15364	0.027479	1.406818
3	616.8625	1.244166	95.25611	1.781266	1.718461
4	656.4199	2.754438	92.50512	2.113100	2.627344
5	687.6447	5.767839	87.79801	3.855002	2.579145
6	726.4224	10.64736	79.38941	7.652016	2.311221
7	778.9647	15.85140	69.28918	12.69657	2.162849
8	840.0661	20.31571	59.64168	17.89225	2.150369
9	899.8585	23.62225	52.00722	22.07721	2.293318
10	955.3123	25.90125	46.17902	25.46349	2.456235
11	1004.310	27.45273	41.84745	28.10930	2.590512
12	1046.987	28.51867	38.60131	30.20715	2.672873
13	1084.472	29.27421	36.10682	31.90130	2.717670
14	1118.309	29.84334	34.10418	33.32104	2.731440
15	1149.685	30.30593	32.42500	34.54245	2.726628
16	1179.571	30.70829	30.95469	35.62490	2.712124
17	1208.634	31.07740	29.62442	36.60360	2.694590
18	1237.281	31.42635	28.39504	37.50109	2.677517
19	1265.688	31.75934	27.24799	38.32952	2.663155
20	1293.890	32.07598	26.17526	39.09649	2.652265
21	1321.830	32.37448	25.17410	39.80670	2.644715
22	1349.419	32.65312	24.24290	40.46418	2.639791
23	1376.569	32.91115	23.37948	41.07272	2.636659
24	1403.220	33.14891	22.58030	41.63627	2.634519

Lampiran 2

Variance Decomposition of M1

Period	S.E.	BIRATE	KURS	M1	INFLASI
1	14766.52	0.101252	0.762828	99.13592	0.000000
2	18788.28	0.344981	2.628734	95.94801	1.078278
3	22589.84	0.834464	4.740258	93.66960	0.755680
4	25608.14	1.237452	3.984742	93.84402	0.933784
5	27835.54	1.527487	3.373496	94.30419	0.794823
6	29545.76	2.657501	3.069856	93.53733	0.735312
7	31079.54	4.450368	3.006152	91.80143	0.742048
8	32481.57	6.355297	3.179038	89.62516	0.840504
9	33819.11	8.186389	3.416738	87.34843	1.048444
10	35087.74	9.837295	3.621281	85.26995	1.271470
11	36294.21	11.17015	3.765778	83.59151	1.472560
12	37447.90	12.18341	3.855923	82.32029	1.640377
13	38559.49	12.94236	3.895145	81.39190	1.770593
14	39635.74	13.51512	3.901041	80.72040	1.863442
15	40684.07	13.95709	3.889855	80.22375	1.929298
16	41707.51	14.31798	3.872647	79.83170	1.977668
17	42707.65	14.63358	3.855774	79.49506	2.015589
18	43685.57	14.92528	3.843256	79.18350	2.047971
19	44642.41	15.20395	3.836385	78.88145	2.078212
20	45579.12	15.47403	3.834678	78.58335	2.107941
21	46496.75	15.73548	3.836812	78.29008	2.137635
22	47396.35	15.98624	3.841306	78.00531	2.167141
23	48278.92	16.22405	3.846793	77.73313	2.196033
24	49145.40	16.44728	3.852268	77.47664	2.223811

Lampiran 2

Variance Decomposition of Inflasi

Period	S.E.	BIRATE	KURS	M1	INFLASI
1	1.168505	8.278803	0.663865	0.008336	91.04900
2	1.434864	36.53120	0.728054	0.381582	62.35916
3	1.452172	35.80720	0.713683	0.868934	62.61018
4	1.472814	34.86835	2.158741	0.898999	62.07391
5	1.485049	35.16506	2.131436	0.899132	61.80437
6	1.491761	35.47595	2.177404	1.078760	61.26789
7	1.492607	35.52835	2.182343	1.078195	61.21111
8	1.494065	35.57300	2.183160	1.081184	61.16265
9	1.495796	35.68659	2.196408	1.078734	61.03827
10	1.497183	35.79843	2.196909	1.076870	60.92779
11	1.498551	35.89966	2.192916	1.077026	60.83040
12	1.500251	36.02710	2.188148	1.074588	60.71016
13	1.502185	36.17544	2.182642	1.072434	60.56948
14	1.504214	36.32806	2.176953	1.070550	60.42444
15	1.506351	36.48354	2.171156	1.069151	60.27616
16	1.508560	36.64304	2.165066	1.068408	60.12349
17	1.510763	36.80140	2.158991	1.067616	59.97199
18	1.512930	36.95614	2.153003	1.066614	59.82424
19	1.515061	37.10783	2.147047	1.065411	59.67971
20	1.517155	37.25687	2.141169	1.064015	59.53795
21	1.519216	37.40338	2.135389	1.062444	59.39878
22	1.521254	37.54807	2.129683	1.060775	59.26147
23	1.523282	37.69163	2.124028	1.059064	59.12528
24	1.525305	37.83447	2.118408	1.057348	58.98978